

APPENDIKS A TIL BILAG 4 RESULTATER FRA OLIESPILDSMODELBEREGNINGER – NUVÆRENDE PLACERING AF DRIKKEVANDSINDTAGET

I dette bilag vises resultaterne for scenarierne med den nuværende placering af drikkevandsindtaget i form af arealplots af:

- J Maksimal udbredelse af olien i perioden 0-24 timer efter udslip
- J Transporttid for suspenderet olie (olie i vandsøjlen)
- J Sedimenteret olie
- J Transport for sedimenteret olie (olie aflejret på bunden)

Det skal pointeres, at de opnåede resultater skal betragtes som værende kvalitative fremfor kvantitative – forstået på den måde, at de overordnede tendenser vurderes at være repræsentative for hvad der vil ske, som følge af et udslip af olie. De faktiske koncentrationer og tidsangivelser kan afvige fra det modellerede, dels fordi modelberegningerne er kørt for stationære hydrodynamiske scenarier, der vurderes at være konservativ-realistiske og de faktiske vejrforhold vil have en afgørende betydning for oliens transport og spredning og dels fordi den anvendte model ikke er kalibreret og valideret ift. strømforholdene og det spildte olies faktiske sammensætning og egenskaber. Resultaterne kan således anvendes til at vurdere om der er risiko for at et oliespild vil nå området omkring drikkevandsindtaget og give en indikation af om det tager kort eller længere tid før drikkevandsindtaget evt. nås.

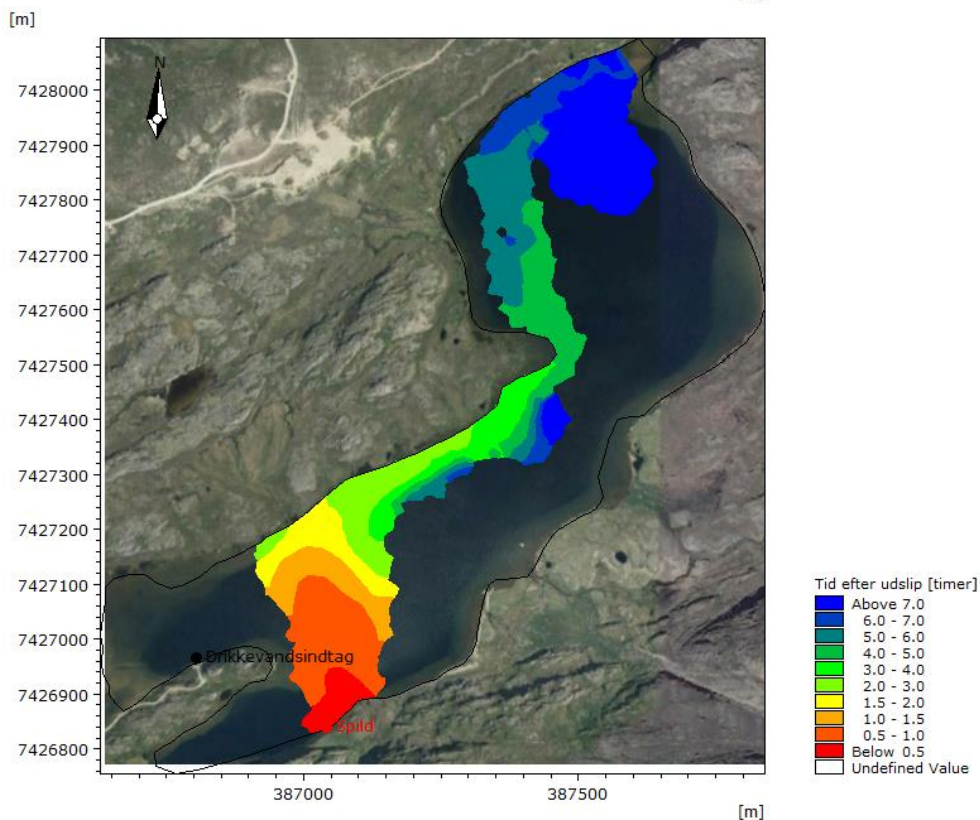
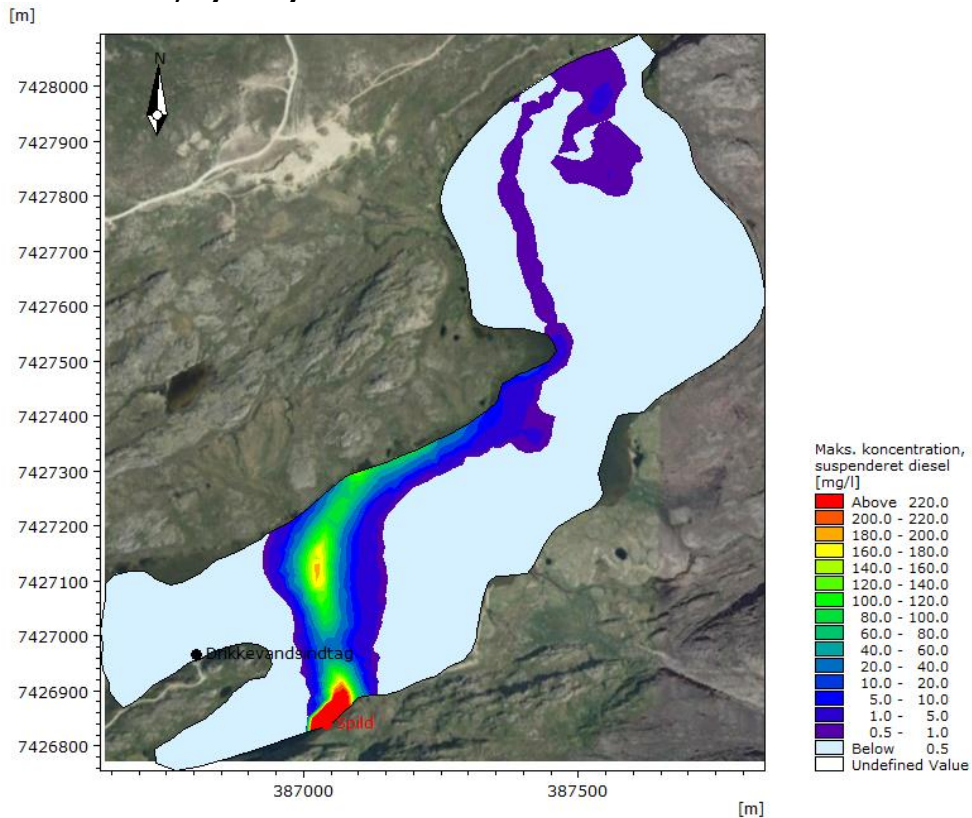
For nogle scenarier vil den dybdemidlede koncentration af olien være så lav, at figurerne med maksimale koncentrationer og udbredelse viser, at der ikke vil forekomme olie i området omkring drikkevandsindtaget, mens figurerne der viser transporttid og aflejningsområder vil vise en påvirkning i området. Dette skyldes den anvendte skala.

Baseret på dels indledende simuleringer kørt med en marginal mere udsat position for udslippet og dels løbende resultatbehandling er der kombinationer af spild- og hydrodynamiske scenarier, hvor der ikke er gennemført modellering for. Det vurderes, at modelberegningerne er gennemført for som minimum de kombinationer, der giver anledning til den korteste tid før området omkring drikkevandsindtaget nås.

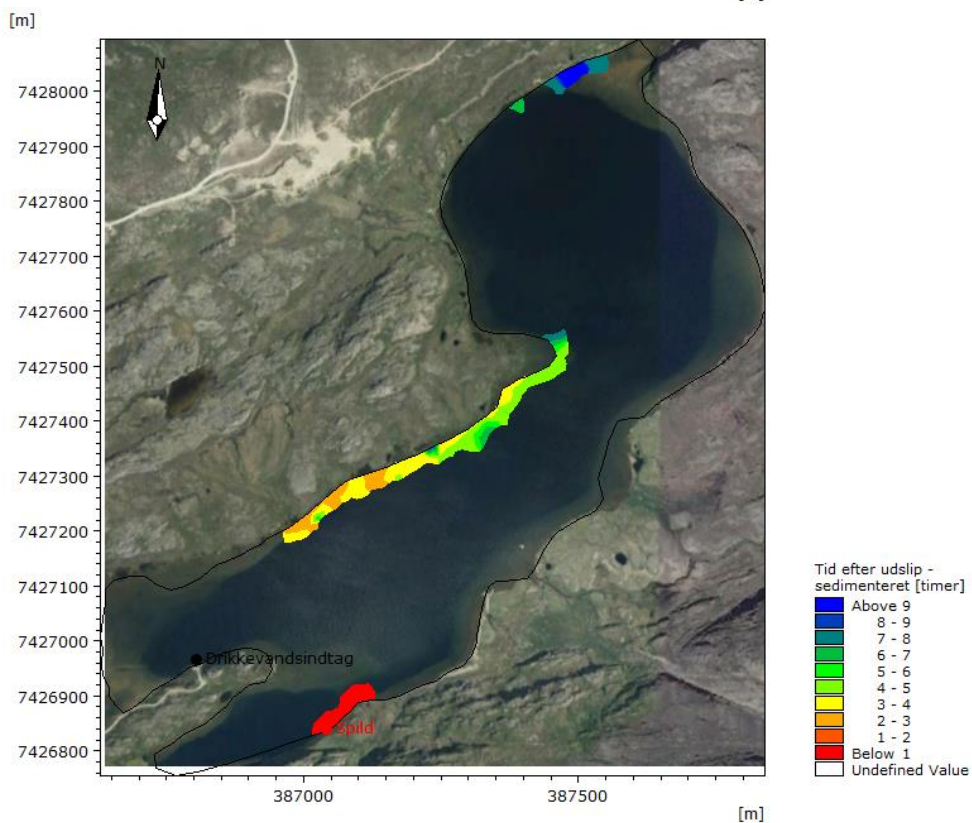
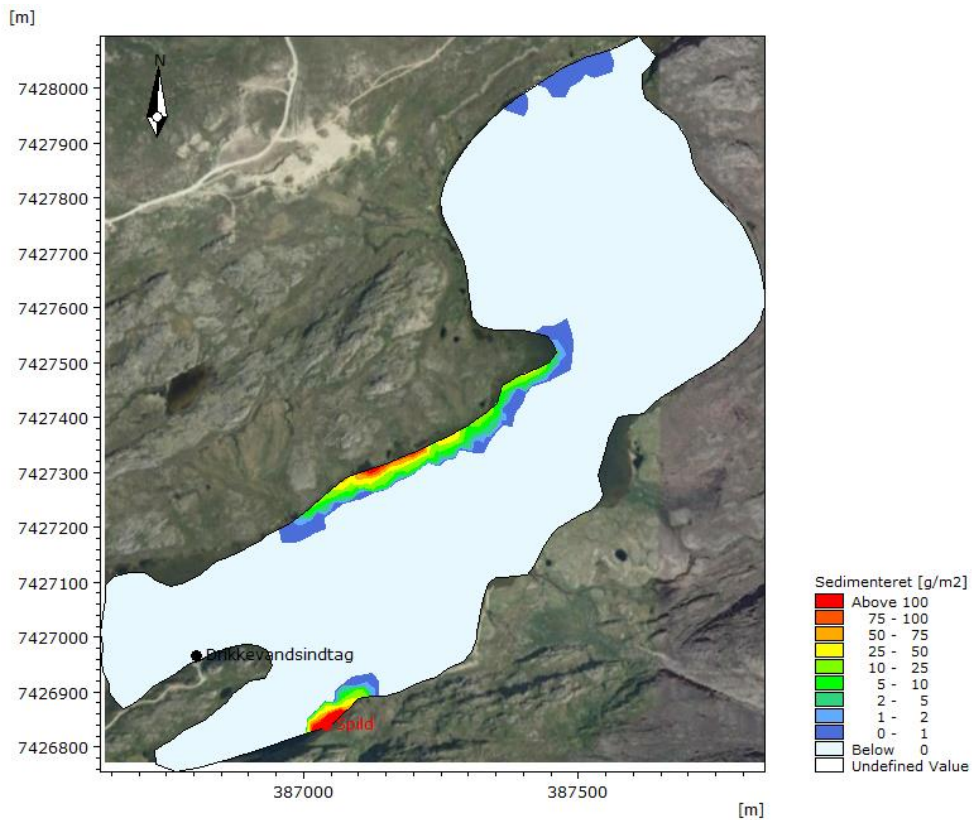
Appendikset indeholder resultater for følgende:

- J Spild af 750 l dieselolie, scenarie 2 og 3 vind fra OSO – S, s. 2 - 15
- J Spild af 200 l benzin, scenarie 2 og 3 vind fra SO - S, s. 16 - 27
- J Spild af 20 l hydraulikolie, scenarie 2 og 3 vind fra SO - S, s. 28 - 39
- J Spild af 3000 l dieselolie, scenarie 2 og 3 vind fra SSV, s. 40- 49
- J Spild af 12400 l dieselolie, scenarie 2 og 3, vind fra SO – S, s. 50- 59

Spild af 750 l diesel, hydrodynamisk scenarie 2 vind fra S

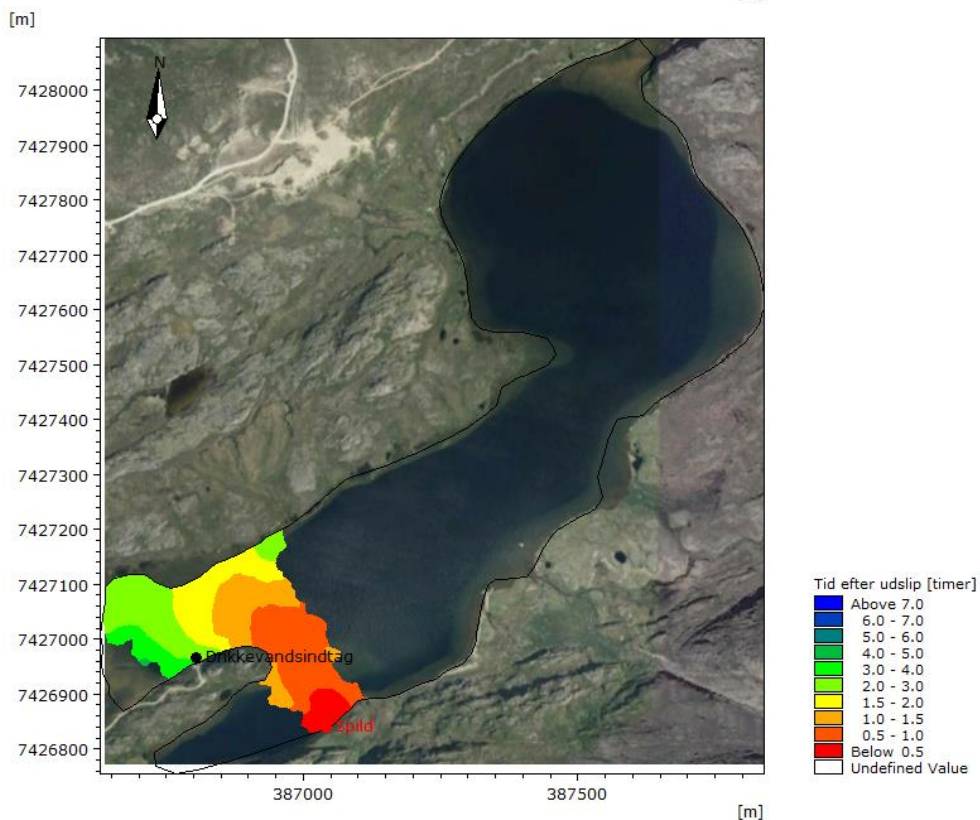
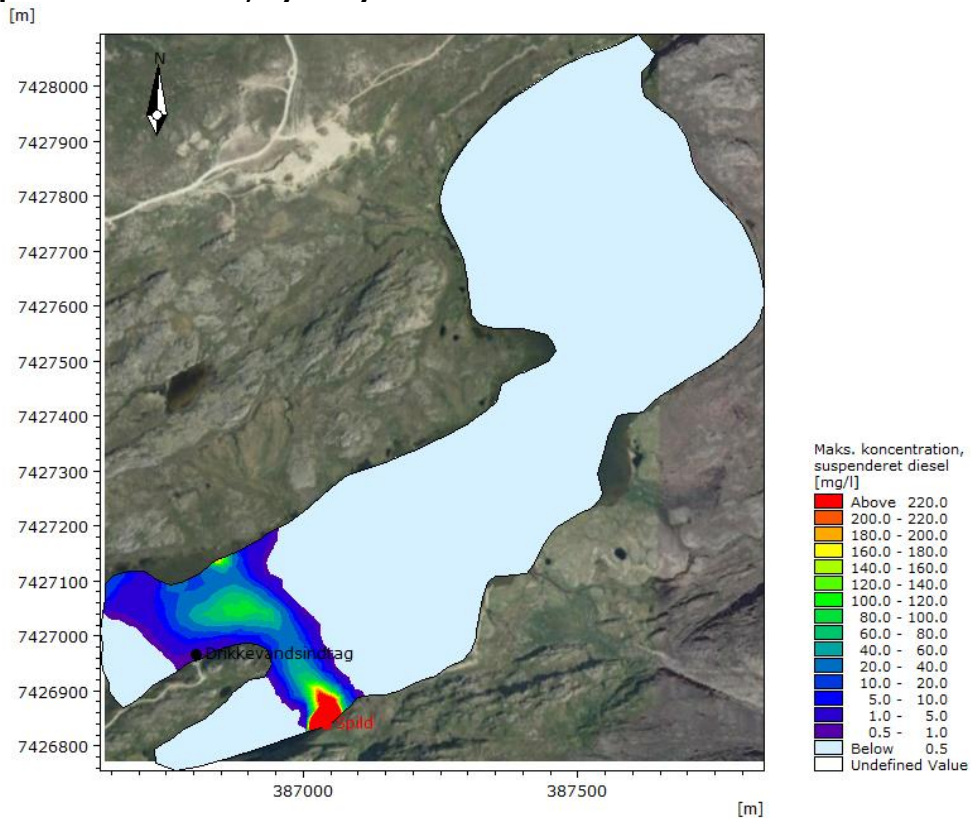


Figur 1: Spild af 750 l diesel, hydrodynamisk scenarie 2 vind fra S. Maksimale koncentrationer og udbredelse (øverst) og transporttid for dieselolie i suspension (nederst). Baggrund fra Google Earth Image © 2020 Maxar Technologies, Asiaq, Terra Metrics

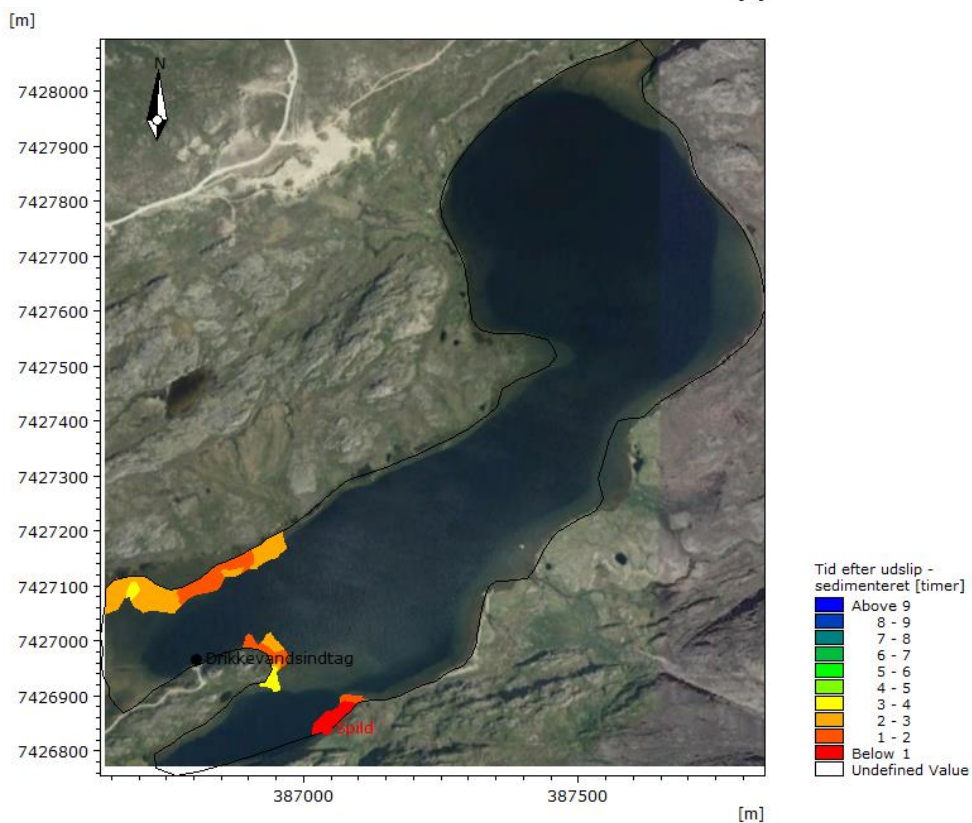
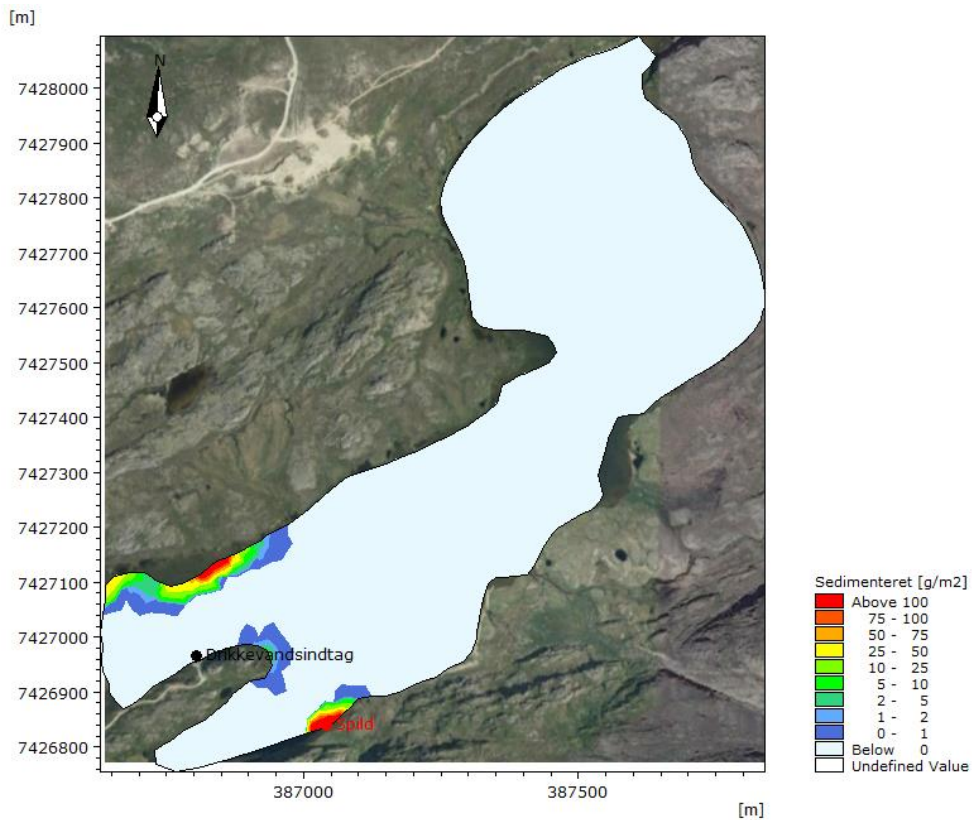


Figur 2: Spild af 750 l diesel, hydrodynamisk scenarie 2 vind fra S. Aflejret dieselolie (øverst) samt transporttid for dieselolie aflejres (nederst). Baggrund fra Google Earth Image © 2020 Maxar Technologies, Asiaq, Terra Metrics

Spild af 750 l diesel, hydrodynamisk scenarie 2 vind fra SSO

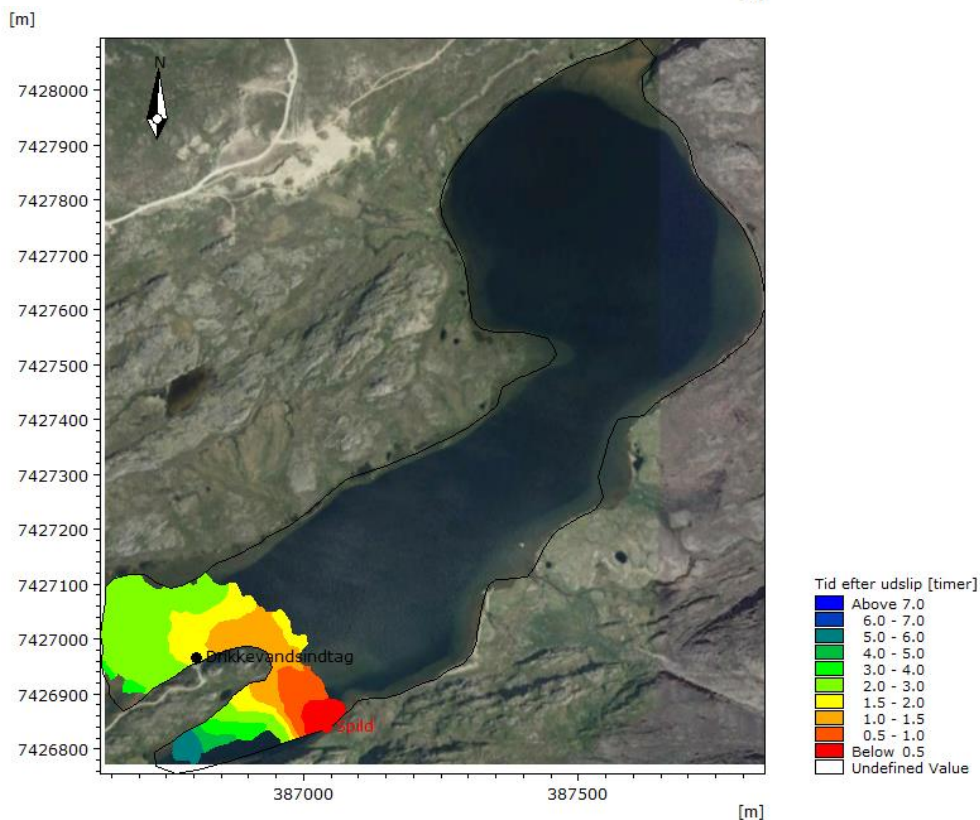
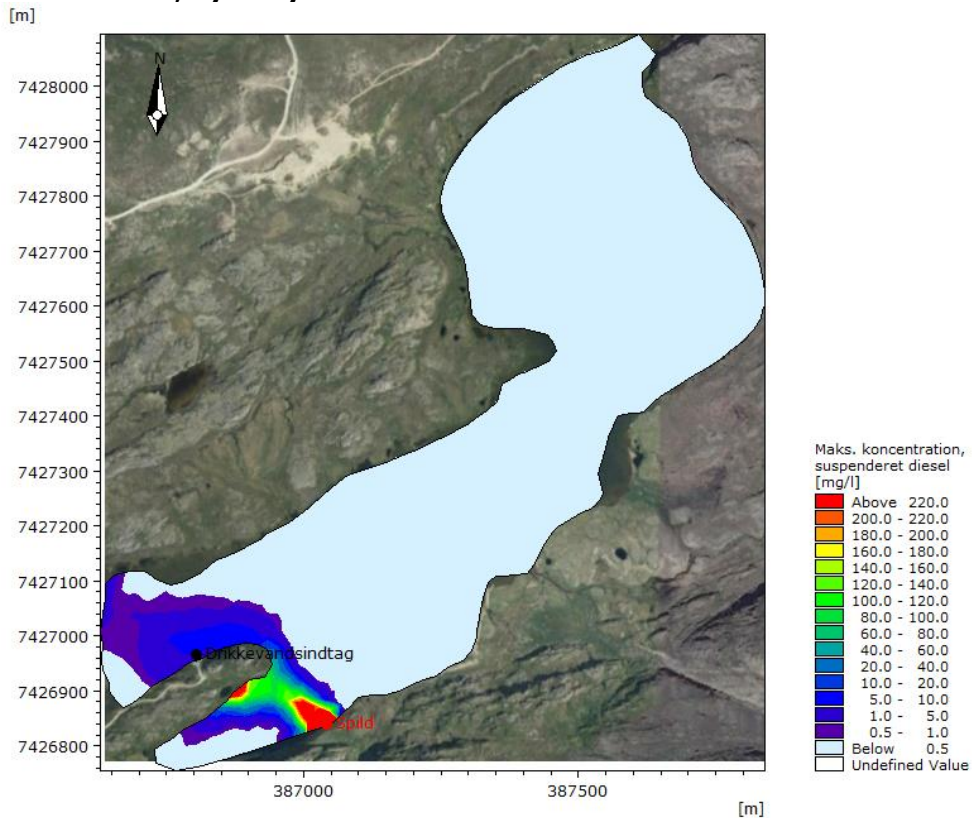


Figur 3: Spild af 750 l diesel, hydrodynamisk scenarie 2 vind fra SSO. Maksimale koncentrationer og udbredelse (øverst) og transporttid for dieselolie i suspension (nederst). Baggrund fra Google Earth Image © 2020 Maxar Technologies, Asiaq, Terra Metrics

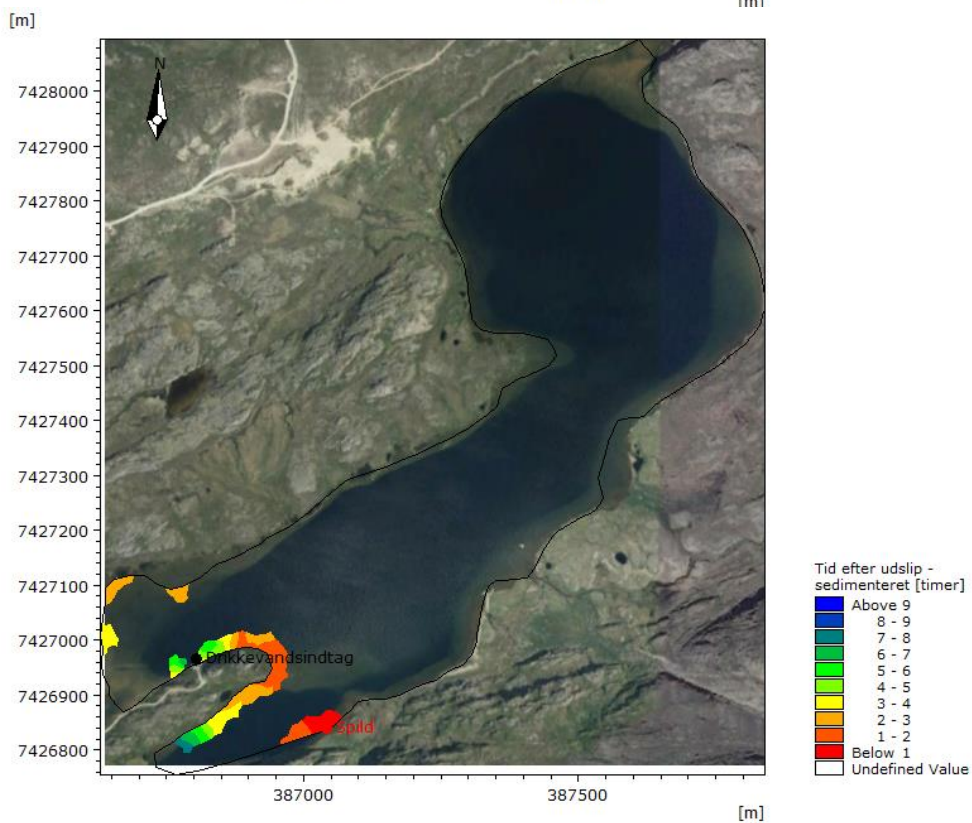
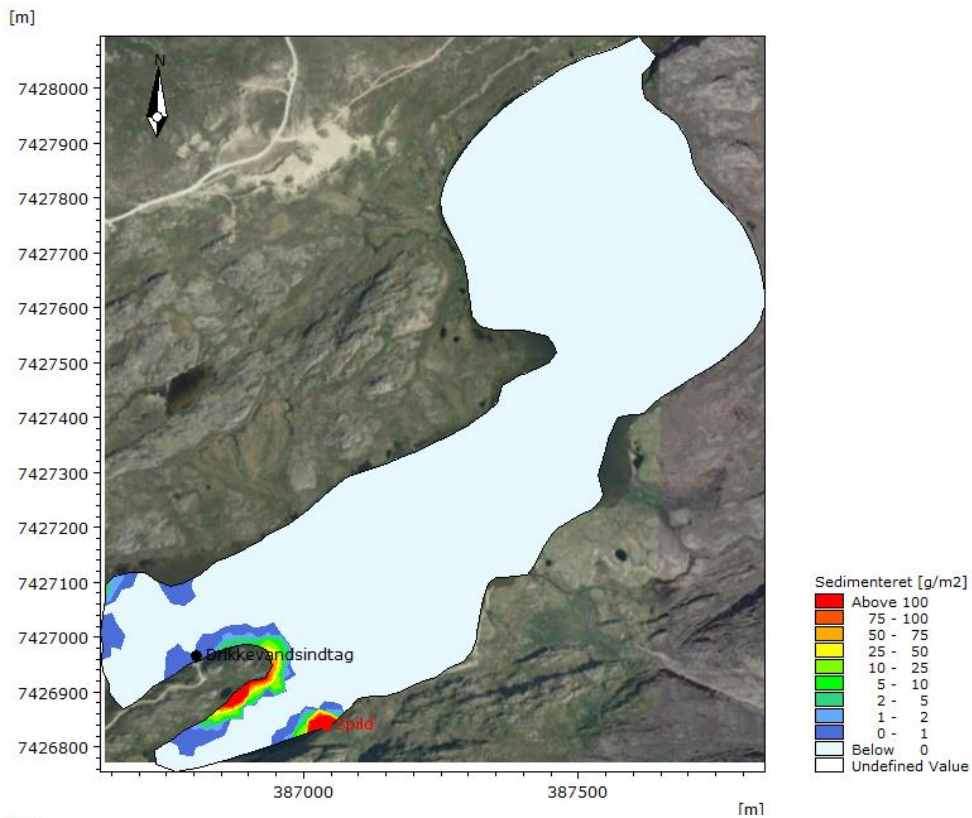


Figur 4: Spild af 750 l diesel, hydrodynamisk scenarie 2 vind fra SSO. Aflejret dieselolie (øverst) samt transporttid før dieselolie aflejres (nederst). Baggrund fra Google Earth Image © 2020 Maxar Technologies, Asiaq, Terra Metrics

Spild af 750 l diesel, hydrodynamisk scenarie 2 vind fra SO

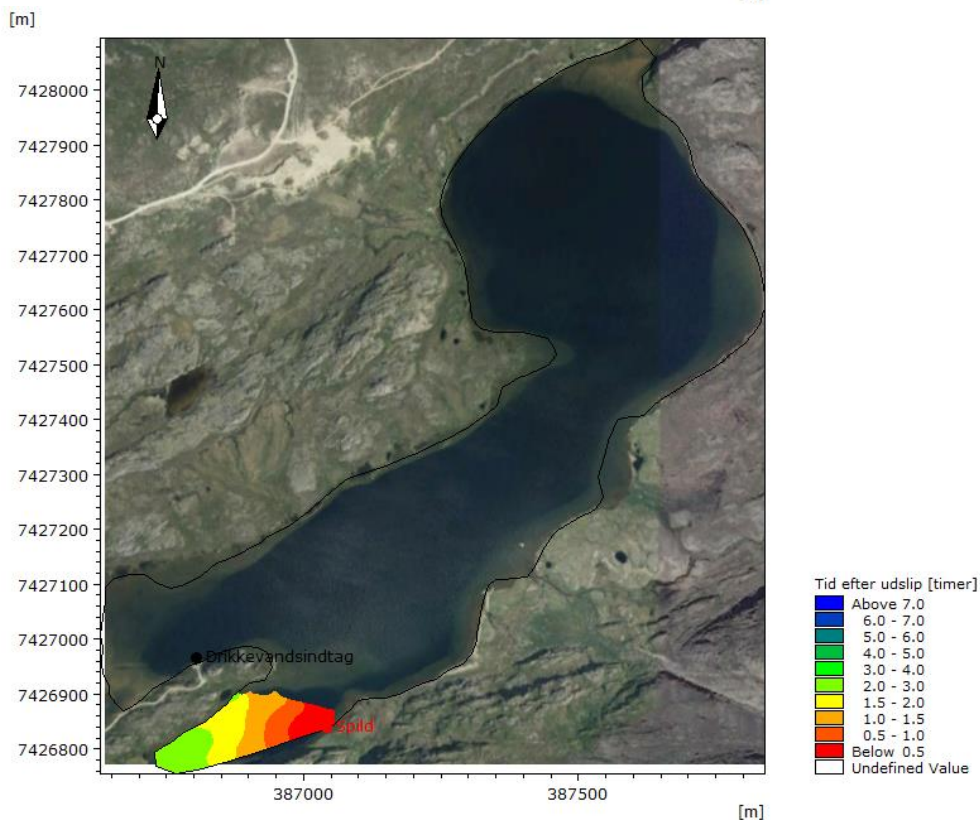
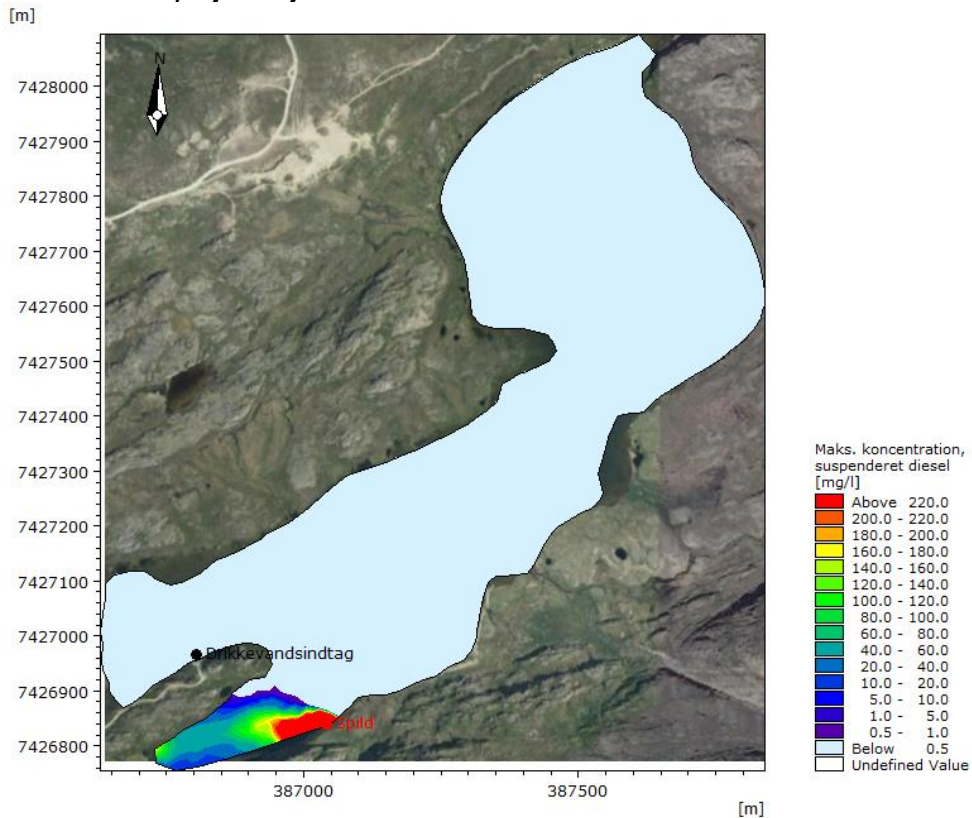


Figur 5: Spild af 750 l diesel, hydrodynamisk scenarie 2 vind fra SO. Maksimale koncentrationer og udbredelse (øverst) og transporttid for dieselolie i suspension (nederst). Baggrund fra Google Earth Image © 2020 Maxar Technologies, Asiaq, Terra Metrics

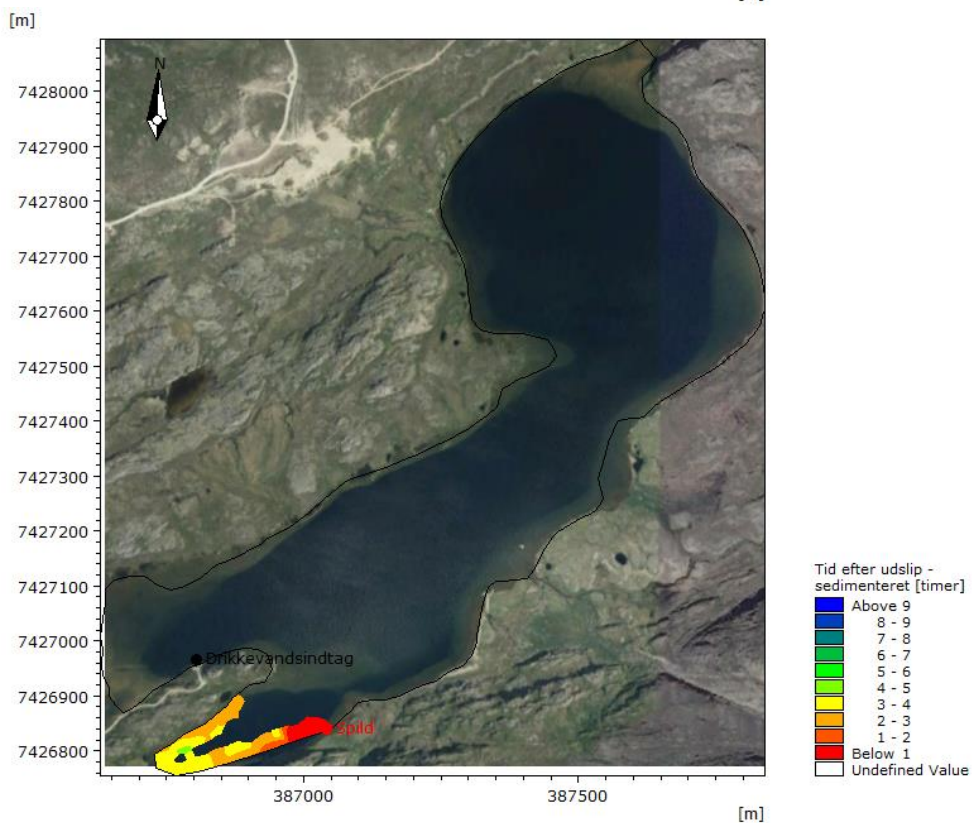
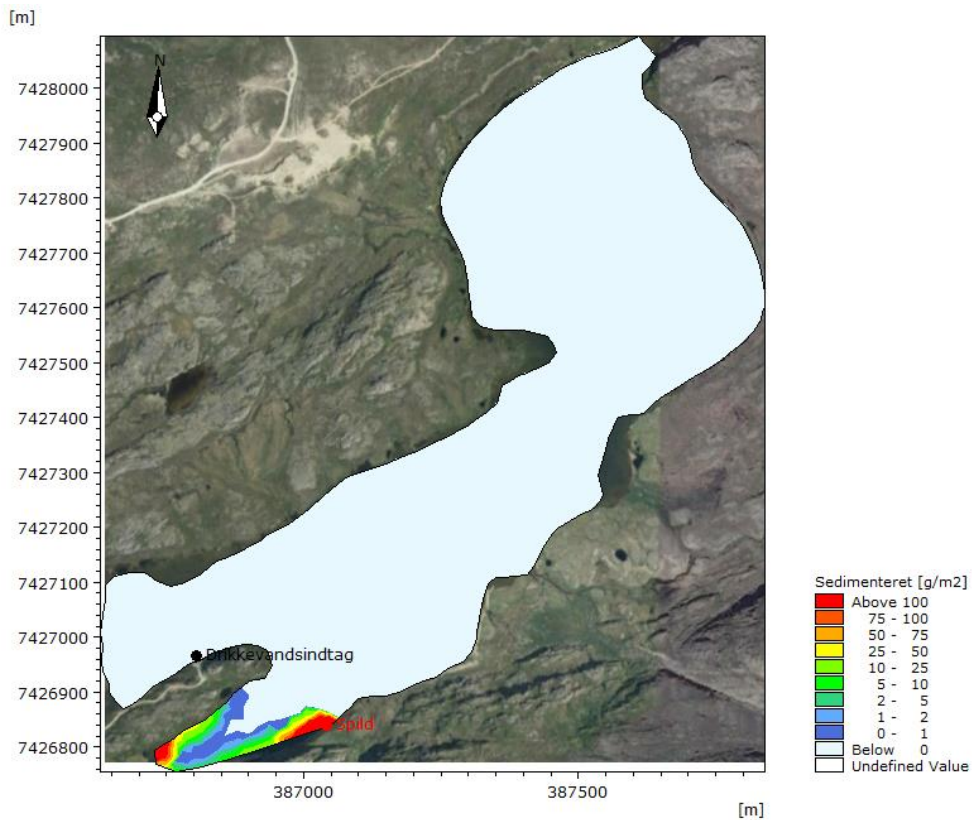


Figur 6: Spild af 750 l diesel, hydrodynamisk scenarie 2 vind fra SO. Aflejret dieselolie (øverst) samt transporttid for dieselolie aflejres (nederst). Baggrund fra Google Earth Image © 2020 Maxar Technologies, Asiaq, Terra Metrics

Spild af 750 l diesel, hydrodynamisk scenarie 2 vind fra OSO

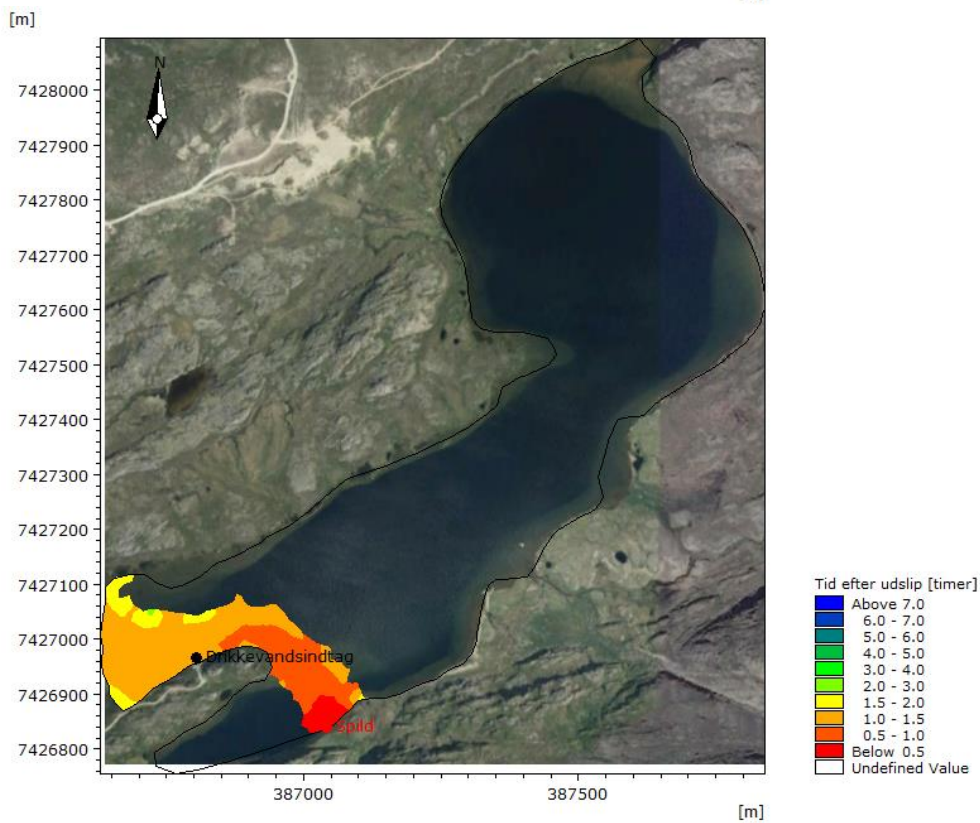
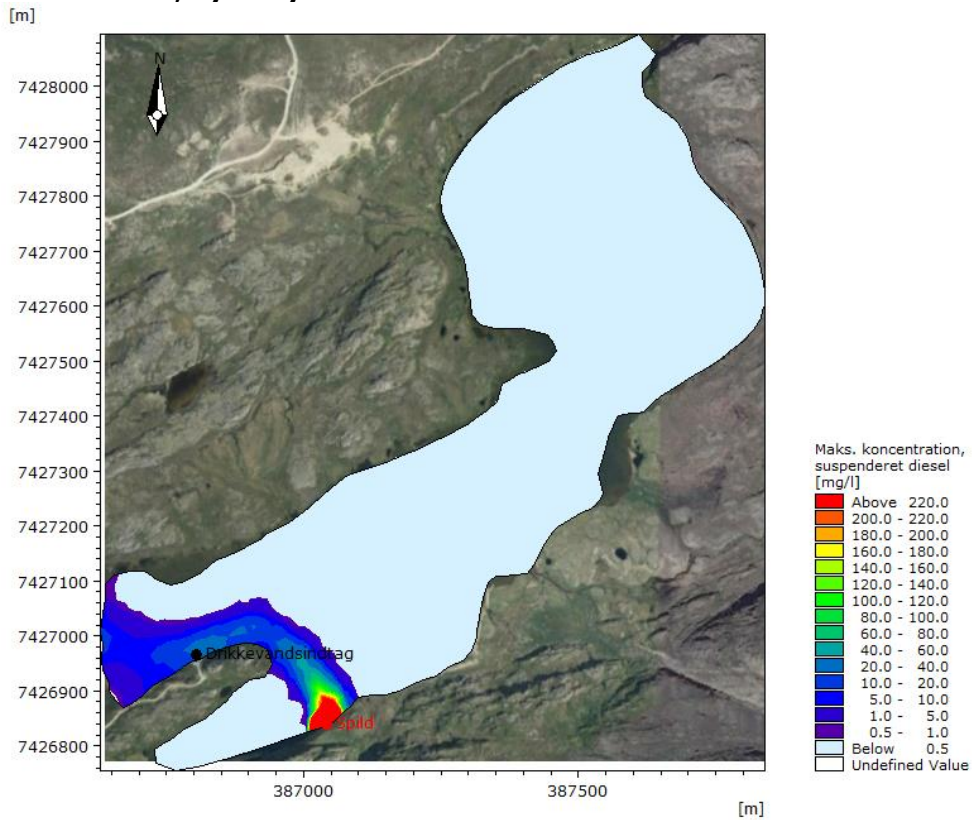


Figur 7: Spild af 750 l diesel, hydrodynamisk scenarie 2 vind fra OSO. Maksimale koncentrationer og udbredelse (øverst) og transporttid for dieselolie i suspension (nederst). Baggrund fra Google Earth Image © 2020 Maxar Technologies, Asiaq, Terra Metrics

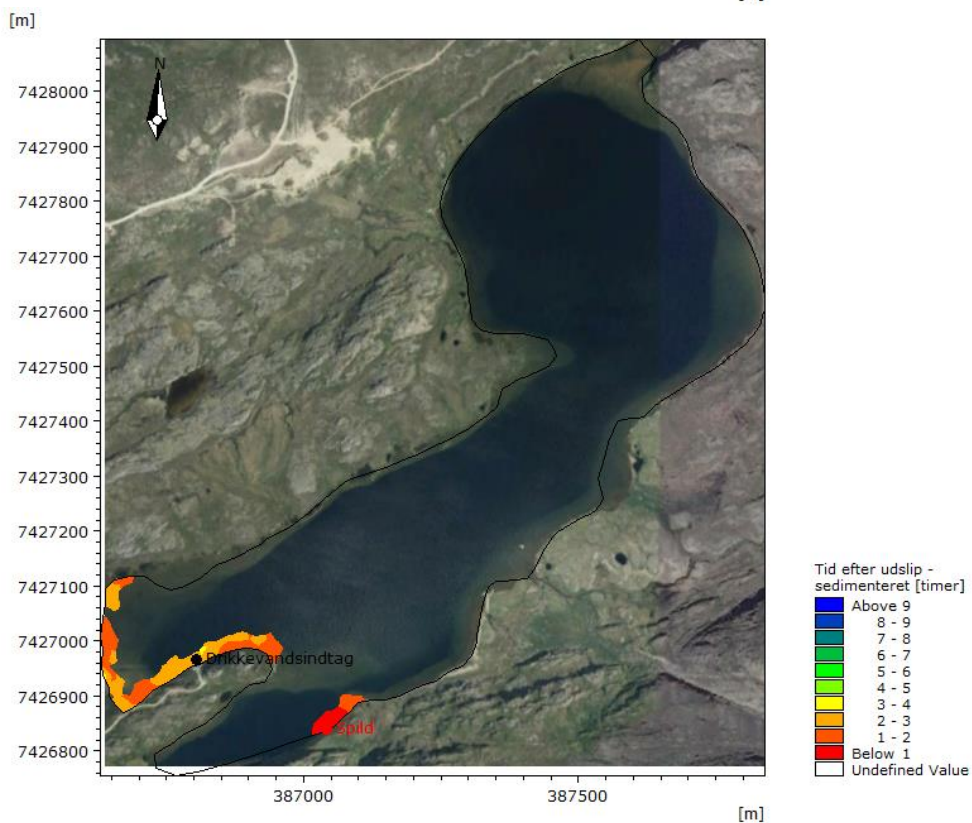
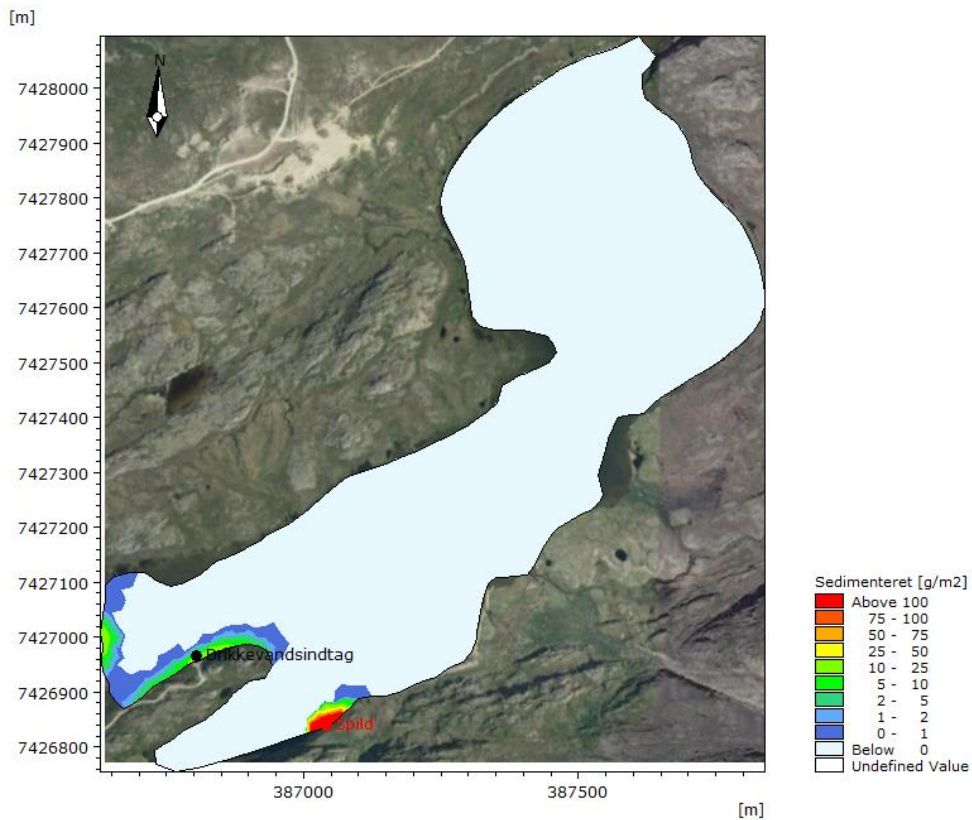


Figur -8: Spild af 750 l diesel, hydrodynamisk scenarie 2 vind fra OSO. Aflejret dieselolie (øverst) samt transporttid før dieselolie aflejres (nederst). Baggrund fra Google Earth Image © 2020 Maxar Technologies, Asiaq, Terra Metrics

Spild af 750 l diesel, hydrodynamisk scenarie 3 vind fra S

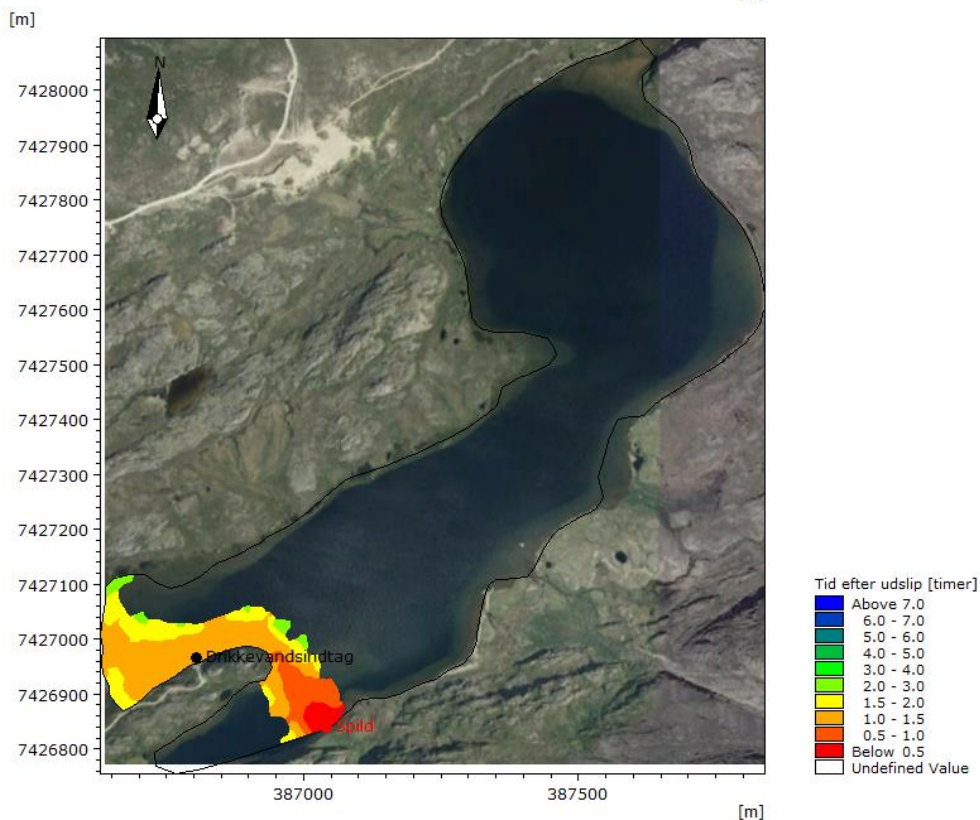
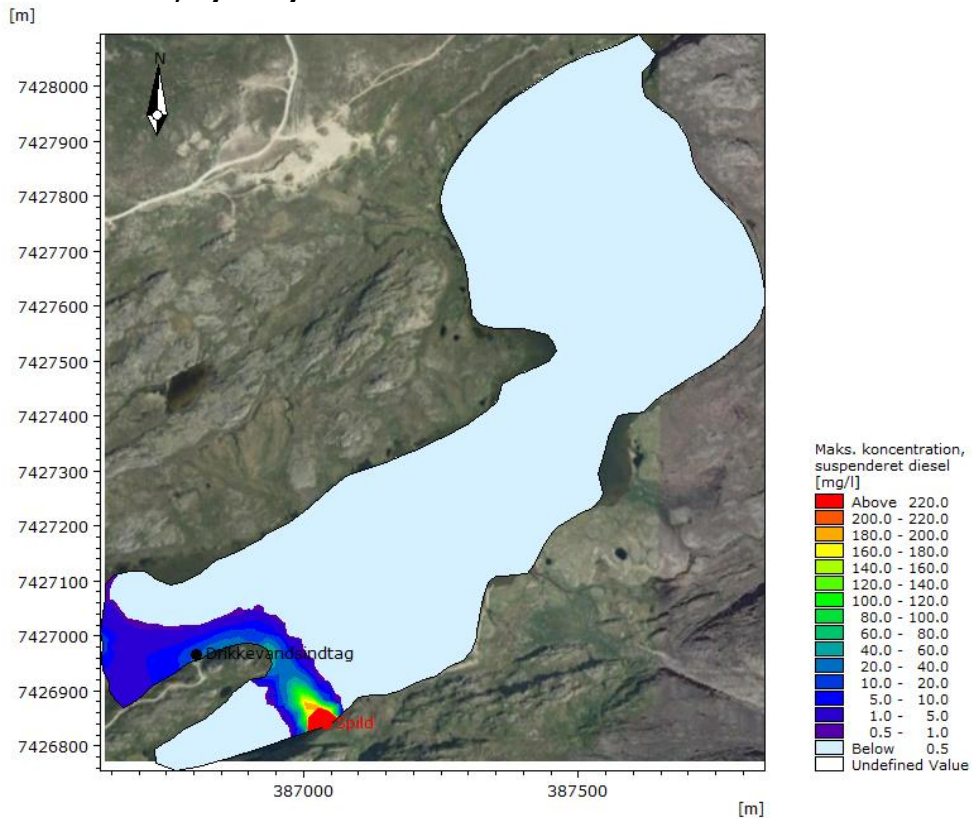


Figur 9: Spild af 750 l diesel, hydrodynamisk scenarie 3 vind fra S. Maksimale koncentrationer og udbredelse (øverst) og transporttid for dieselolie i suspension (nederst). Baggrund fra Google Earth Image © 2020 Maxar Technologies, Asiaq, Terra Metrics

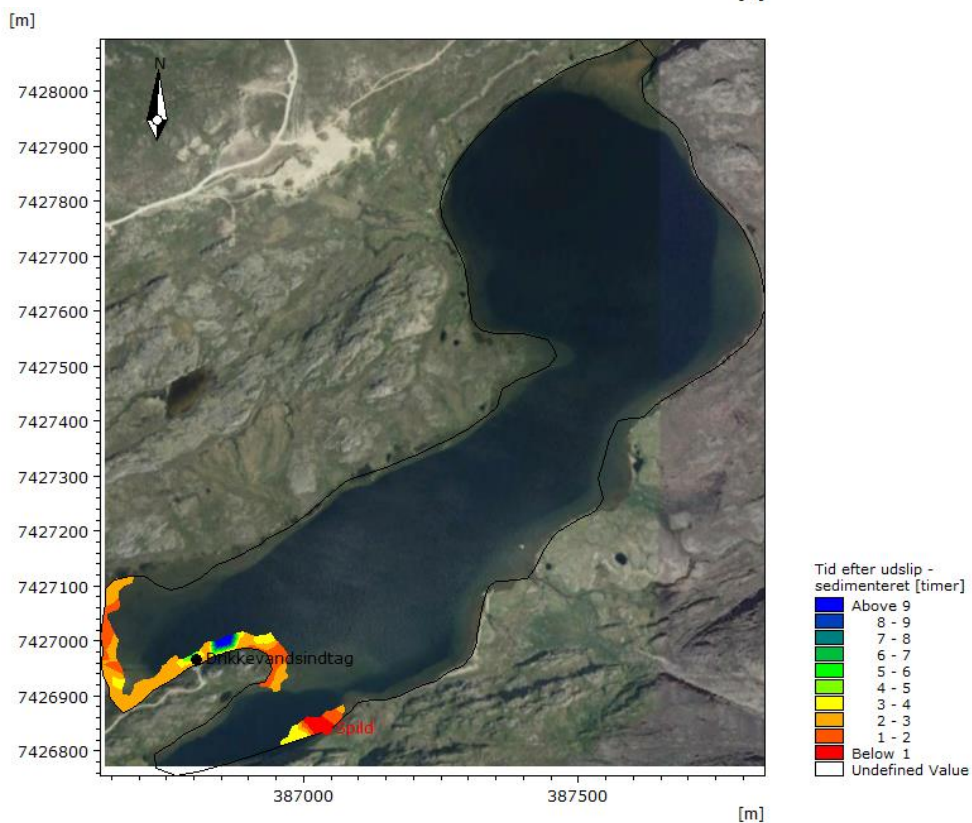
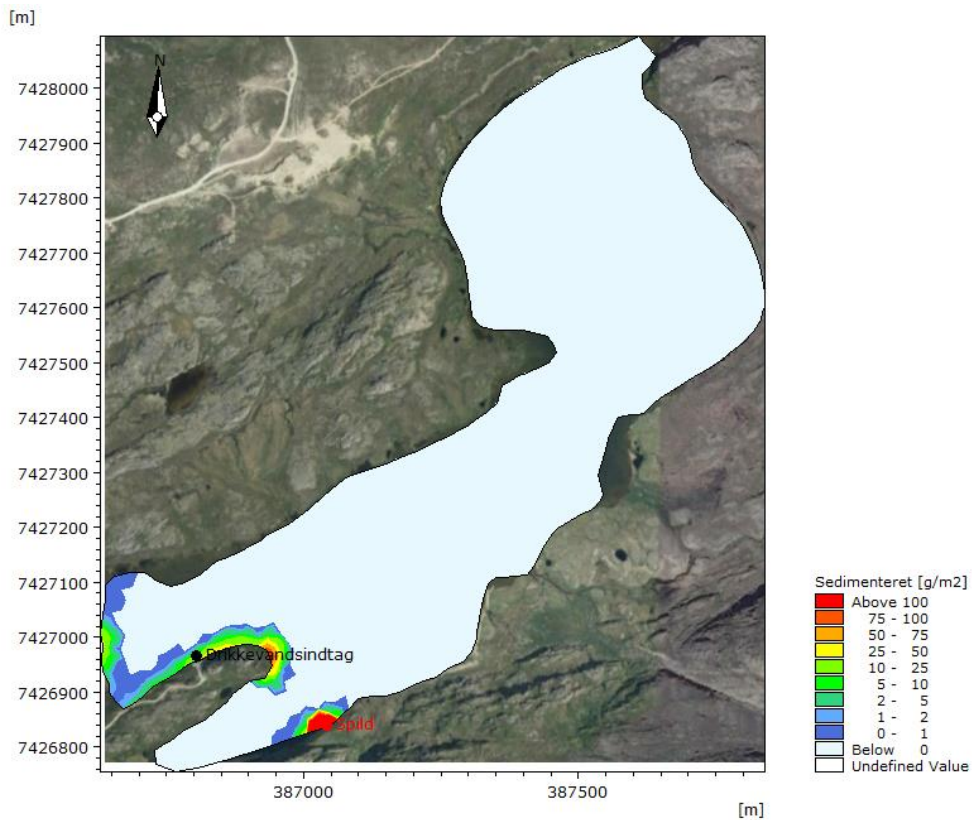


Figur 10: Spild af 750 l diesel, hydrodynamisk scenarie 3 vind fra S. Aflejret dieselolie (øverst) samt transporttid for dieselolie aflejres (nederst). Baggrund fra Google Earth Image © 2020 Maxar Technologies, Asiaq, Terra Metrics

Spild af 750 l diesel, hydrodynamisk scenarie 3 vind fra SSO

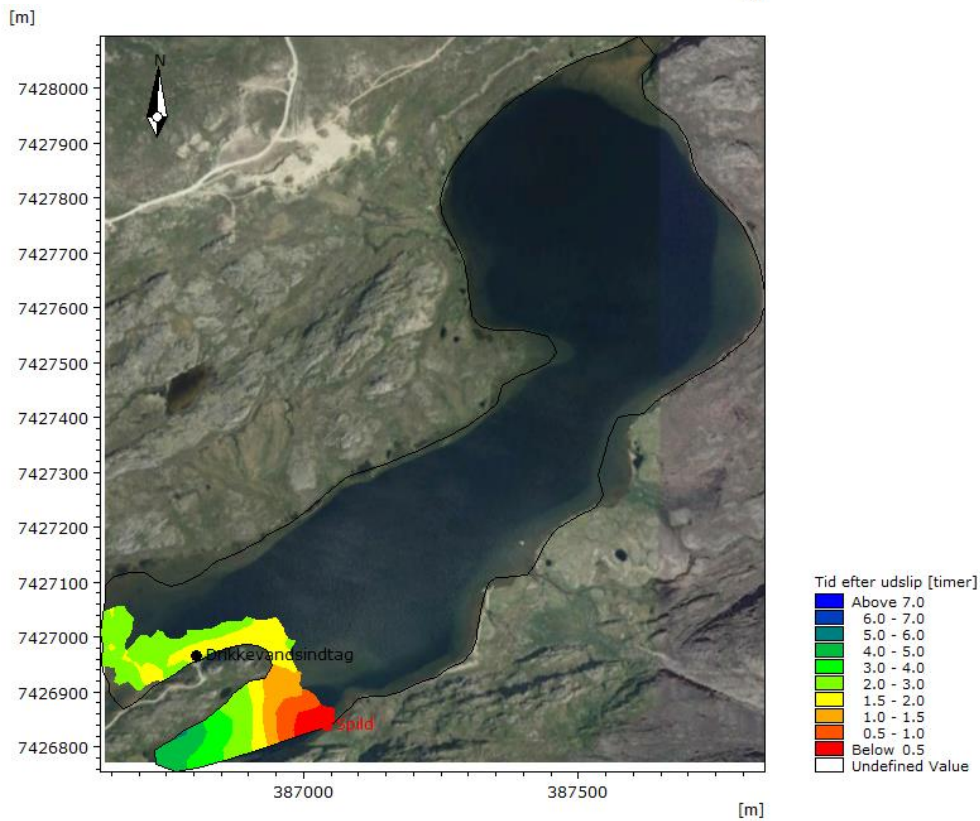
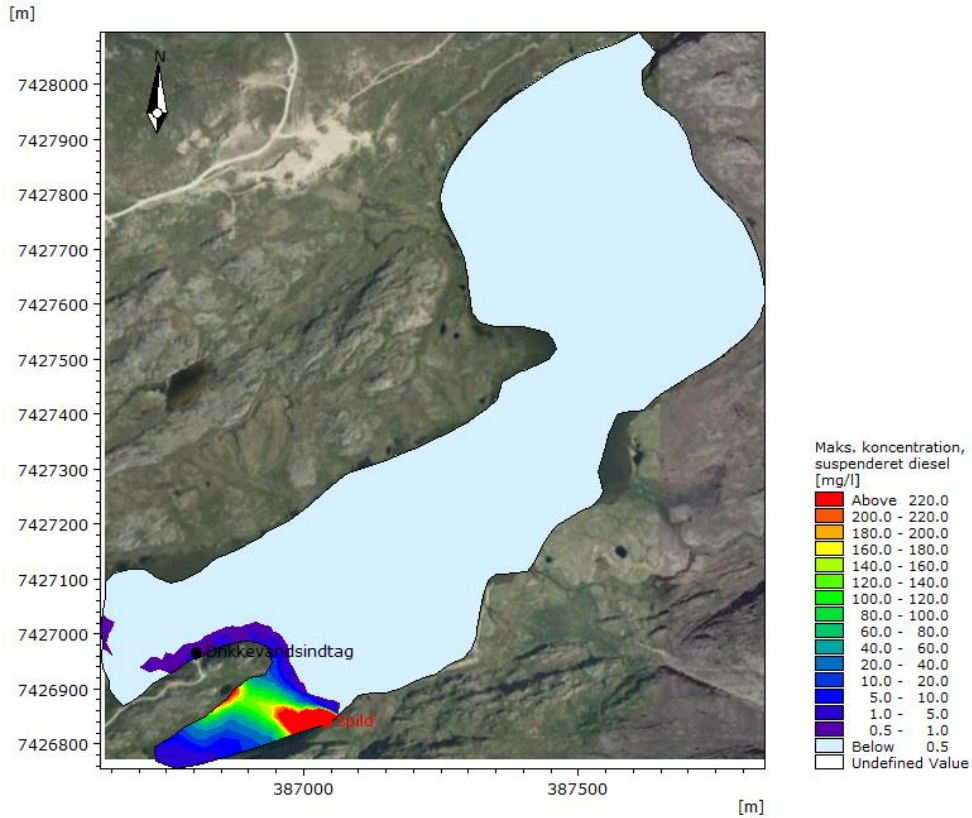


Figur 11: Spild af 750 l diesel, hydrodynamisk scenarie 3 vind fra SSO. Maksimale koncentrationer og udbredelse (øverst) og transporttid for dieselolie i suspension (nederst). Baggrund fra Google Earth Image © 2020 Maxar Technologies, Asiaq, Terra Metrics

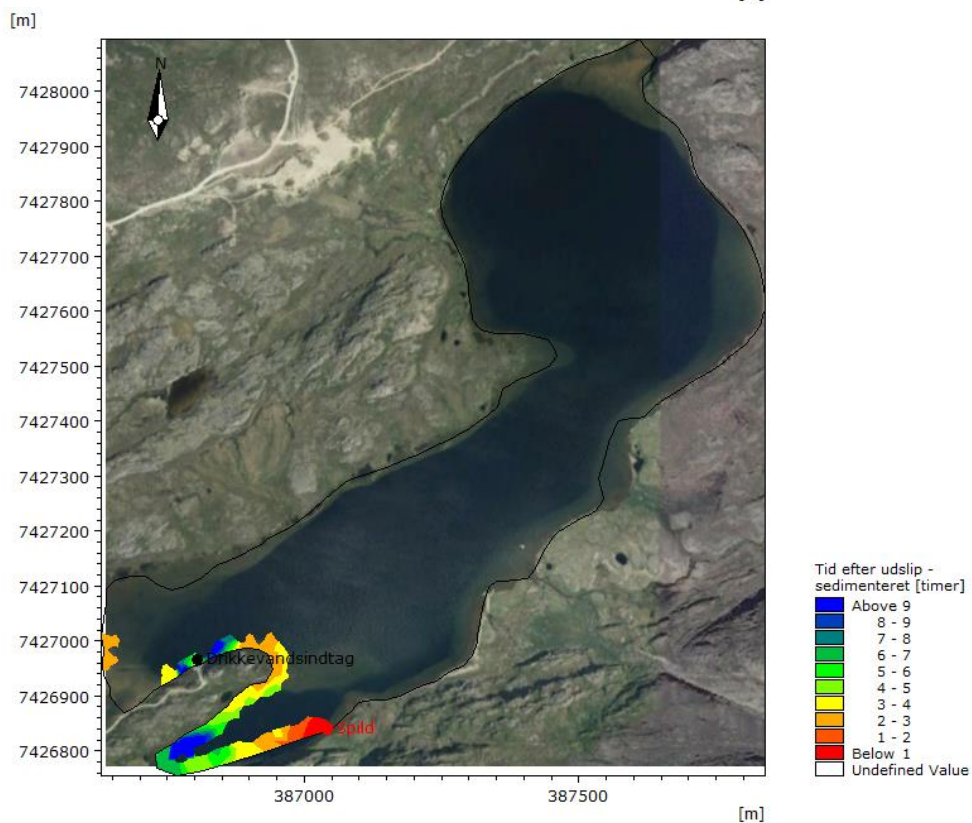
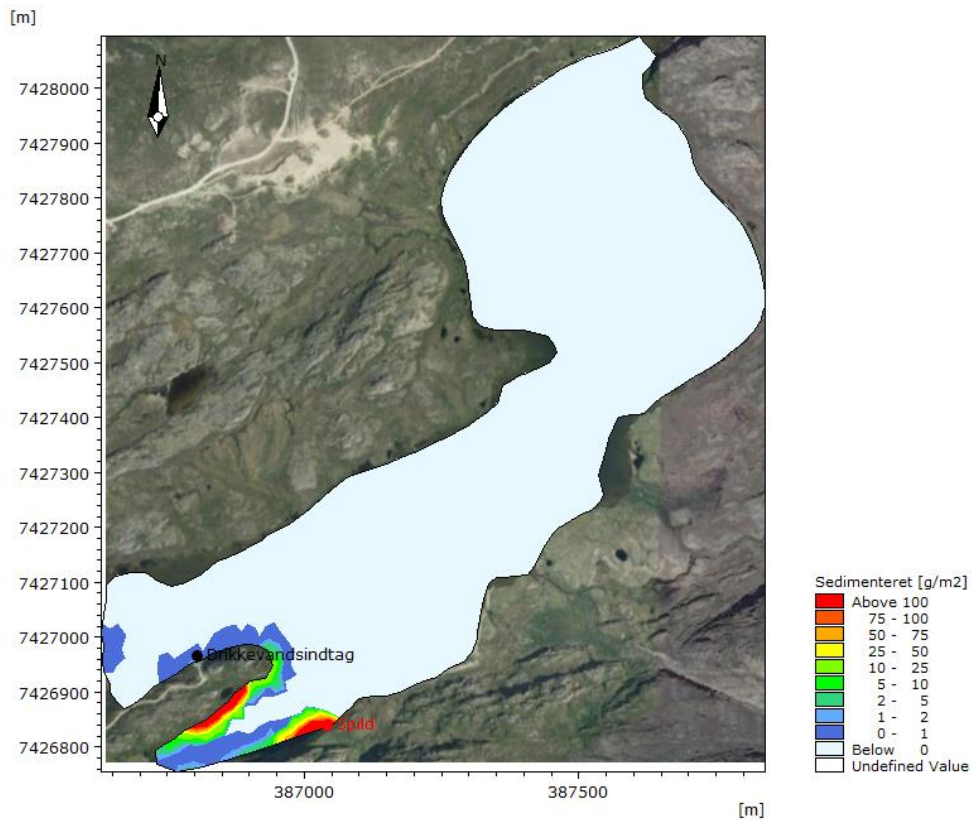


Figur 12: Spild af 750 l diesel, hydrodynamisk scenarie 3 vind fra SSO. Aflejret dieselolie (øverst) samt transporttid før dieselolie aflejres (nederst). Baggrund fra Google Earth Image © 2020 Maxar Technologies, Asiaq, Terra Metrics

Spild af 750 l diesel, hydrodynamisk scenarie 3 vind fra SO

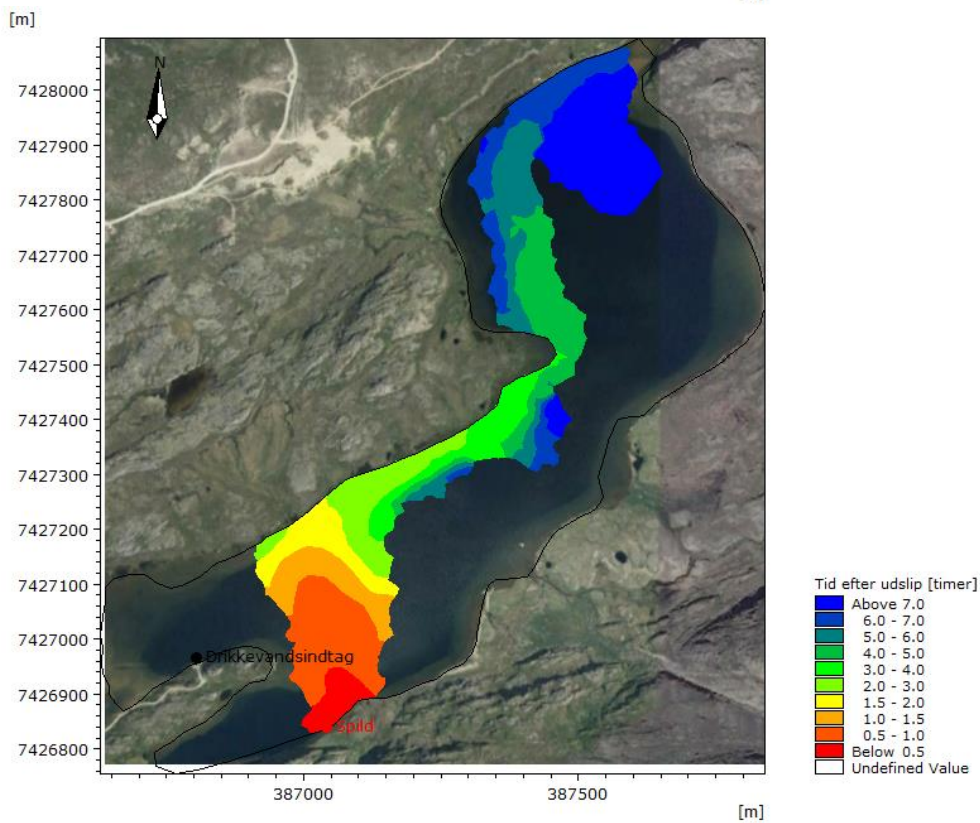
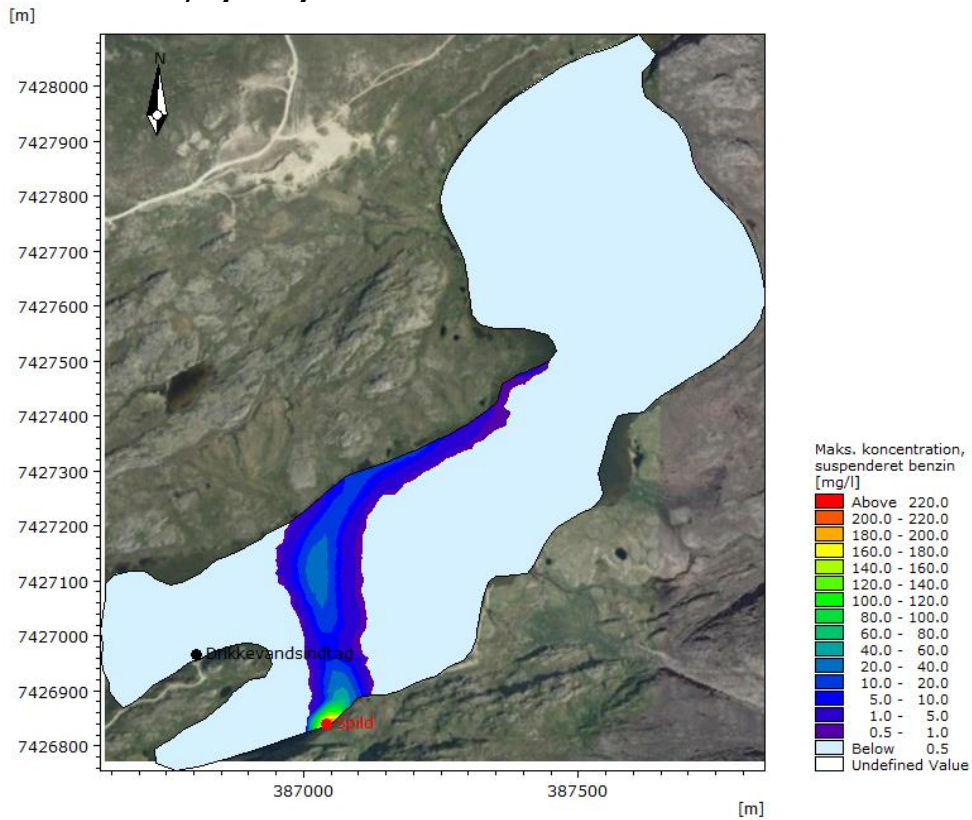


Figur 13: Spild af 750 l diesel, hydrodynamisk scenarie 3 vind fra SO. Maksimale koncentrationer og udbredelse (øverst) og transporttid for dieselolie i suspension (nederst). Baggrund fra Google Earth Image © 2020 Maxar Technologies, Asiaq, Terra Metrics

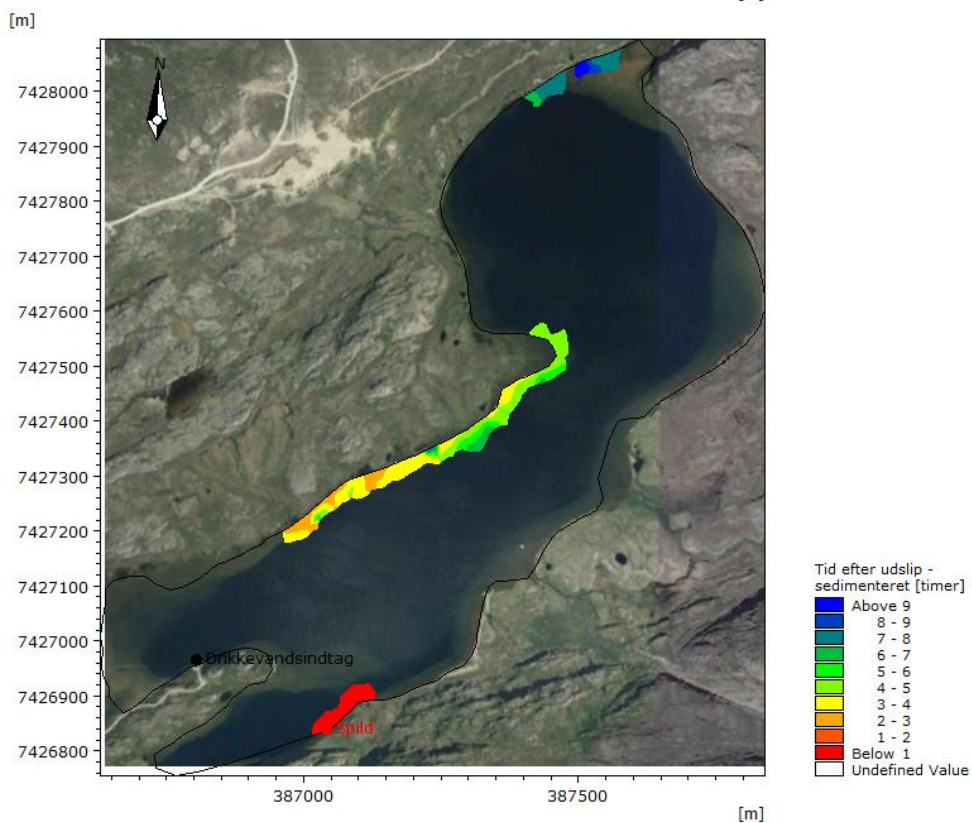
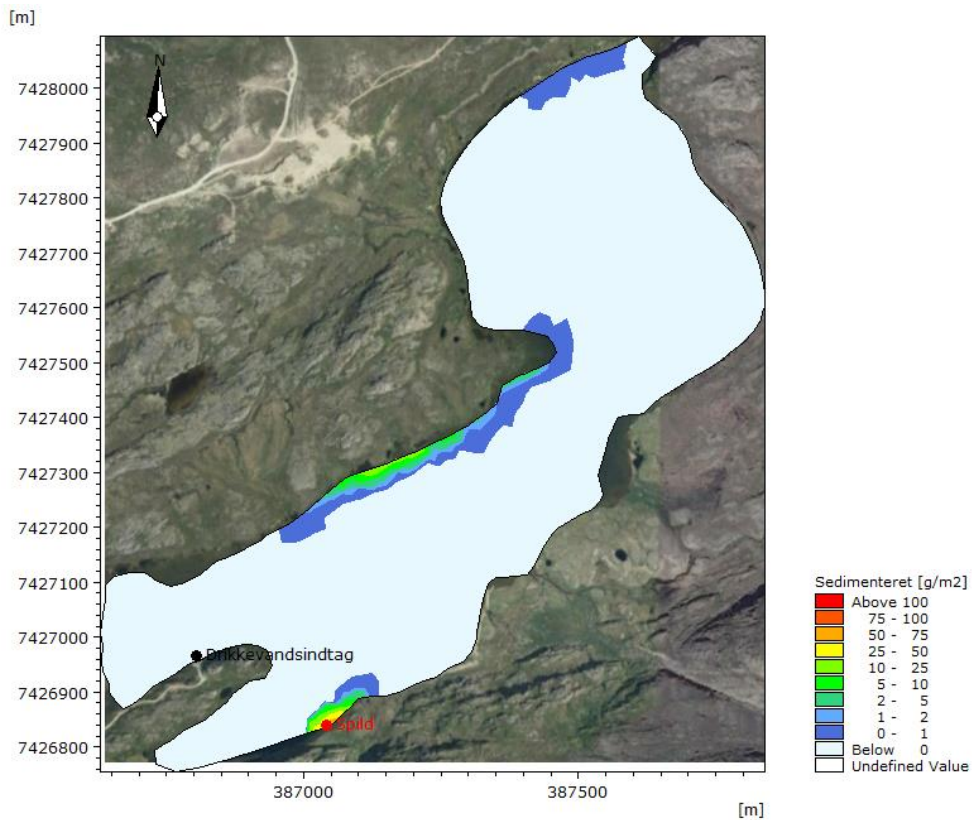


Figur 14: Spild af 750 l diesel, hydrodynamisk scenarie 3 vind fra SO. Aflejret dieselolie (øverst) samt transporttid for dieselolie aflejres (nederst). Baggrund fra Google Earth Image © 2020 Maxar Technologies, Asiaq, Terra Metrics

Spild af 200 l benzin, hydrodynamisk scenarie 2 vind fra S

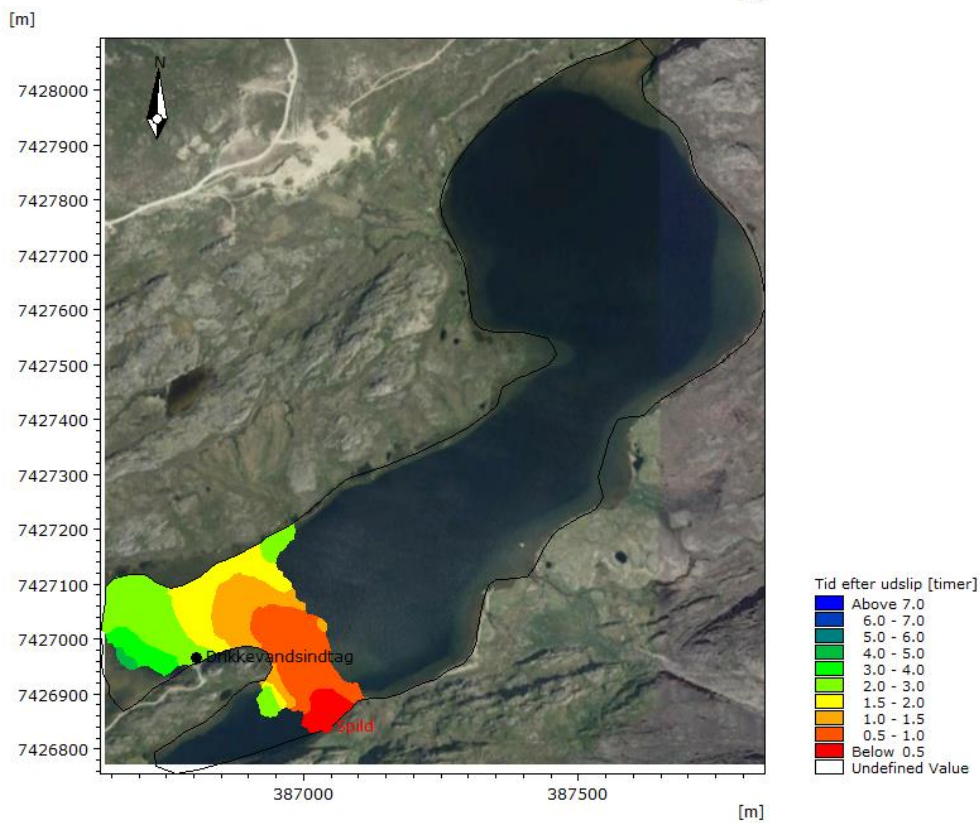
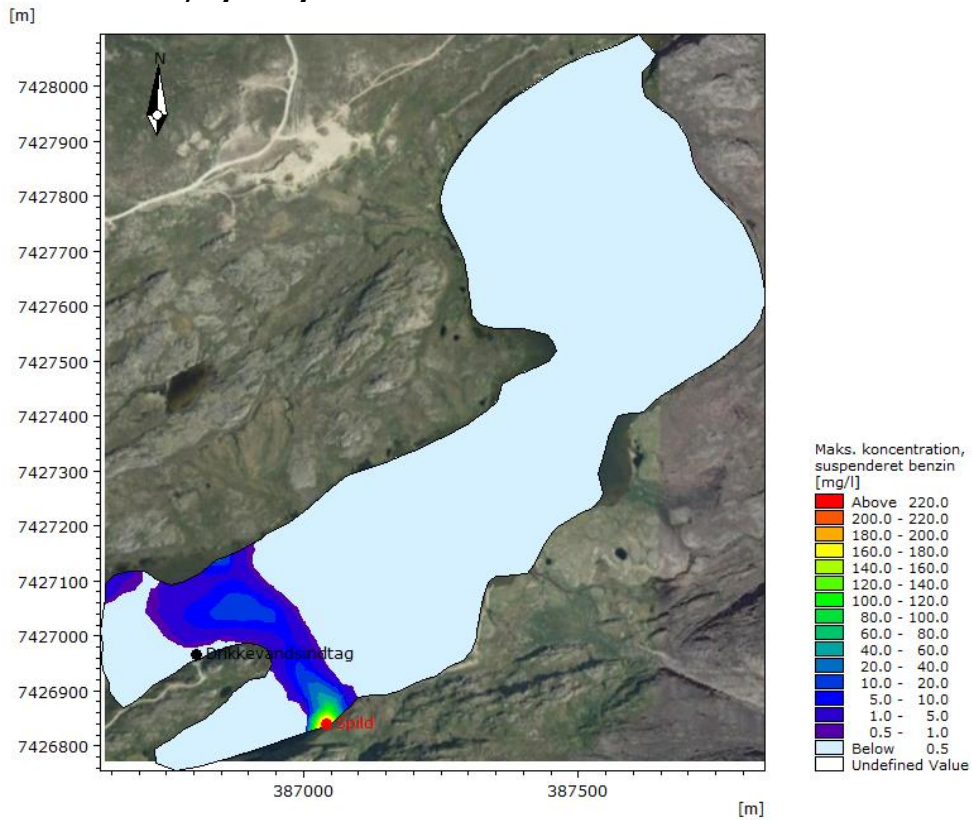


Figur 15: Spild af 200 l benzin, hydrodynamisk scenarie 2 vind fra S. Maksimale koncentrationer og udbredelse (øverst) og transporttid for dieselolie i suspension (nederst). Baggrund fra Google Earth Image © 2020 Maxar Technologies, Asiaq, Terra Metrics

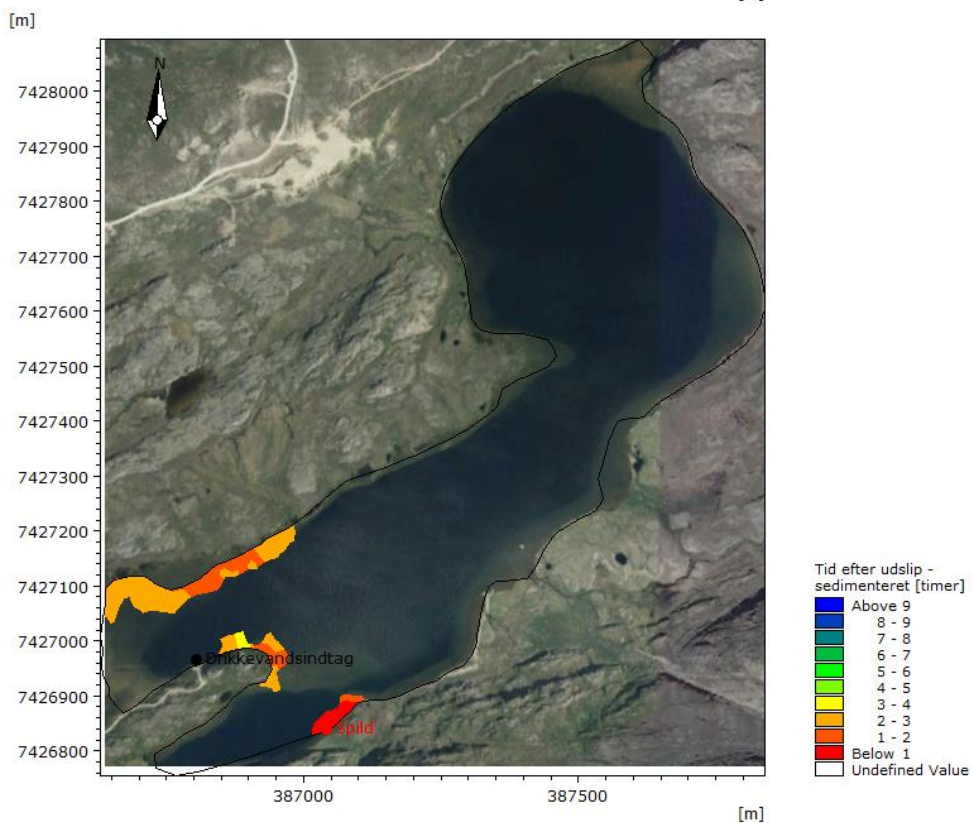
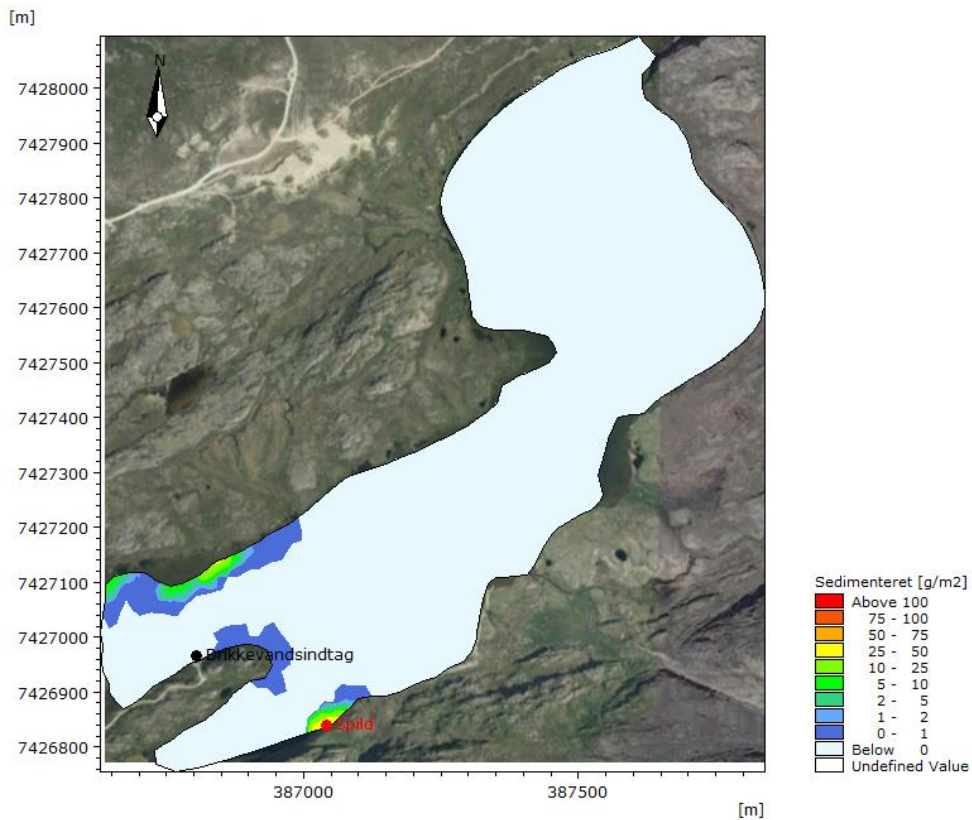


Figur 16: Spild af 200 l benzin, hydrodynamisk scenarie 2 vind fra S. Aflejret dieselolie (øverst) samt transporttid før dieselolie aflejres (nederst). Baggrund fra Google Earth Image © 2020 Maxar Technologies, Asiaq, Terra Metrics

Spild af 200 l benzin, hydrodynamisk scenarie 2 vind fra SSO

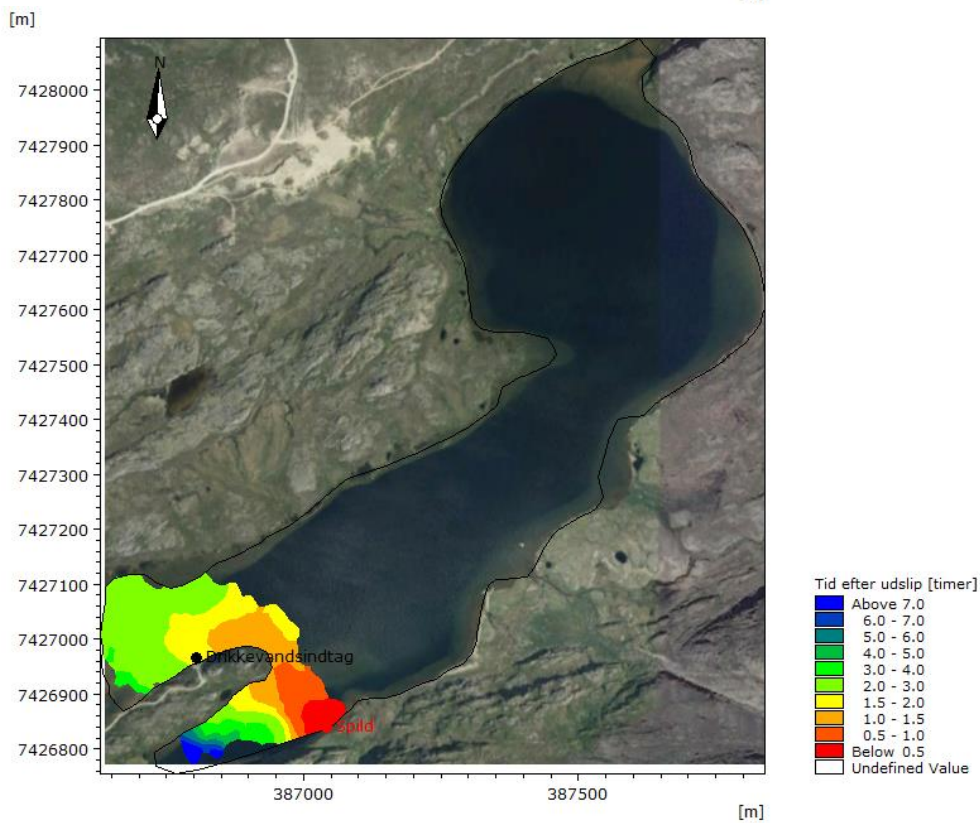
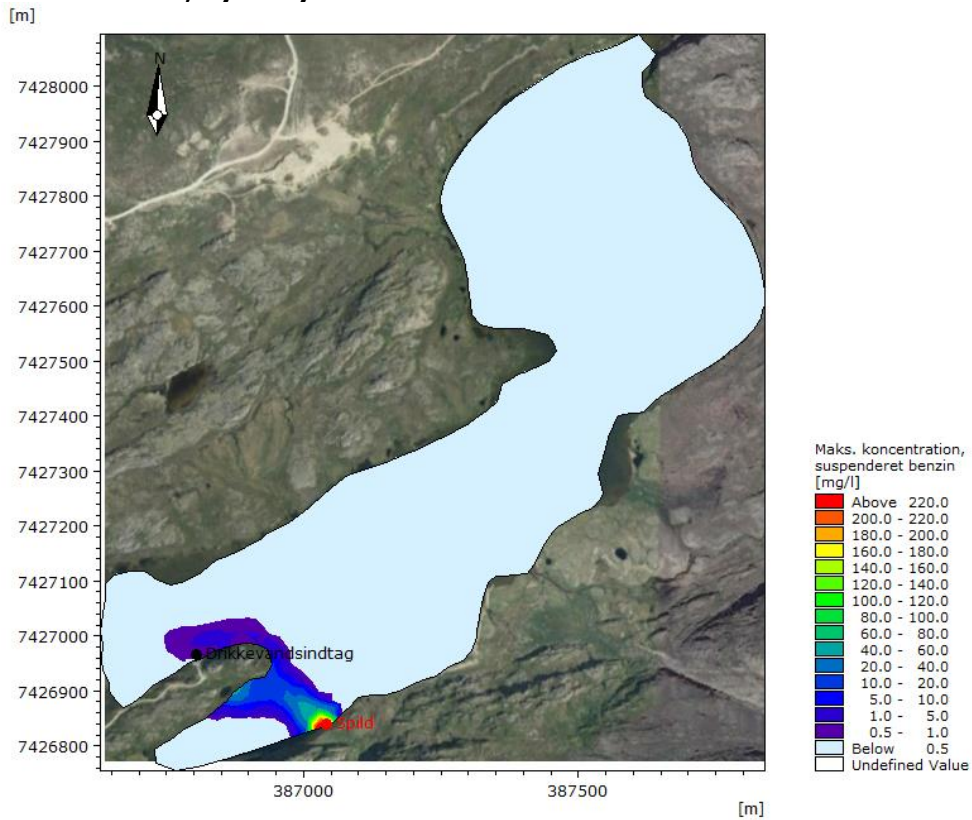


Figur 17: Spild af 200 l benzin, hydrodynamisk scenarie 2 vind fra SSO. Maksimale koncentrationer og udbredelse (øverst) og transporttid for dieselolie i suspension (nederst). Baggrund fra Google Earth Image © 2020 Maxar Technologies, Asiaq, Terra Metrics

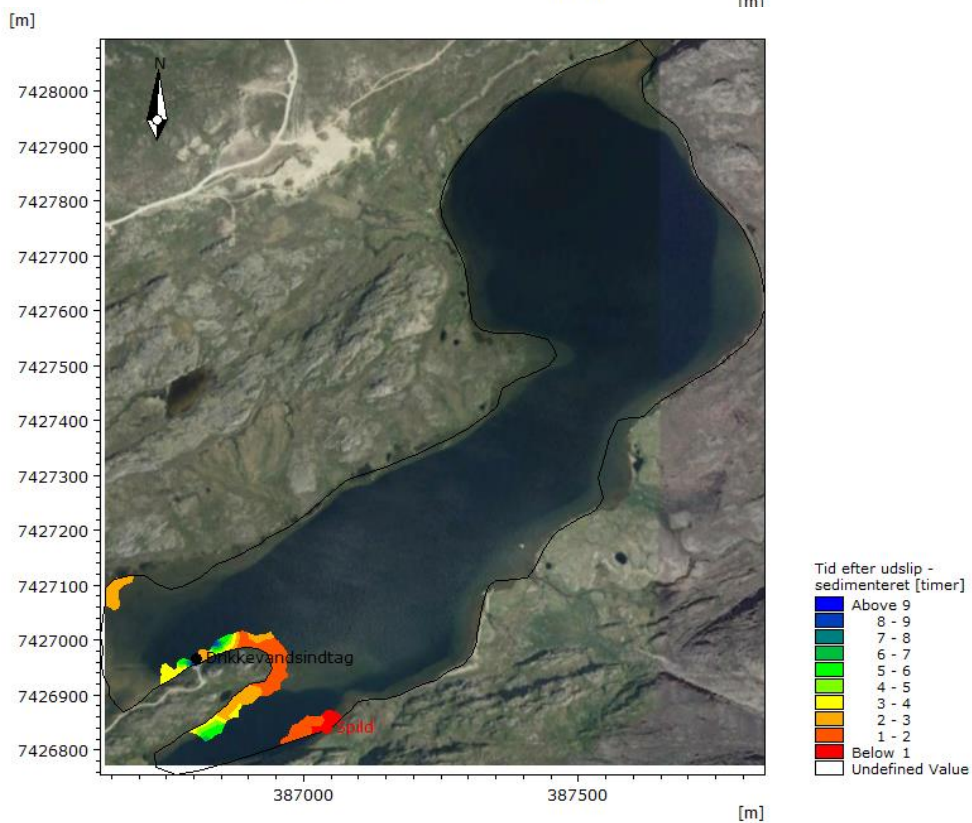
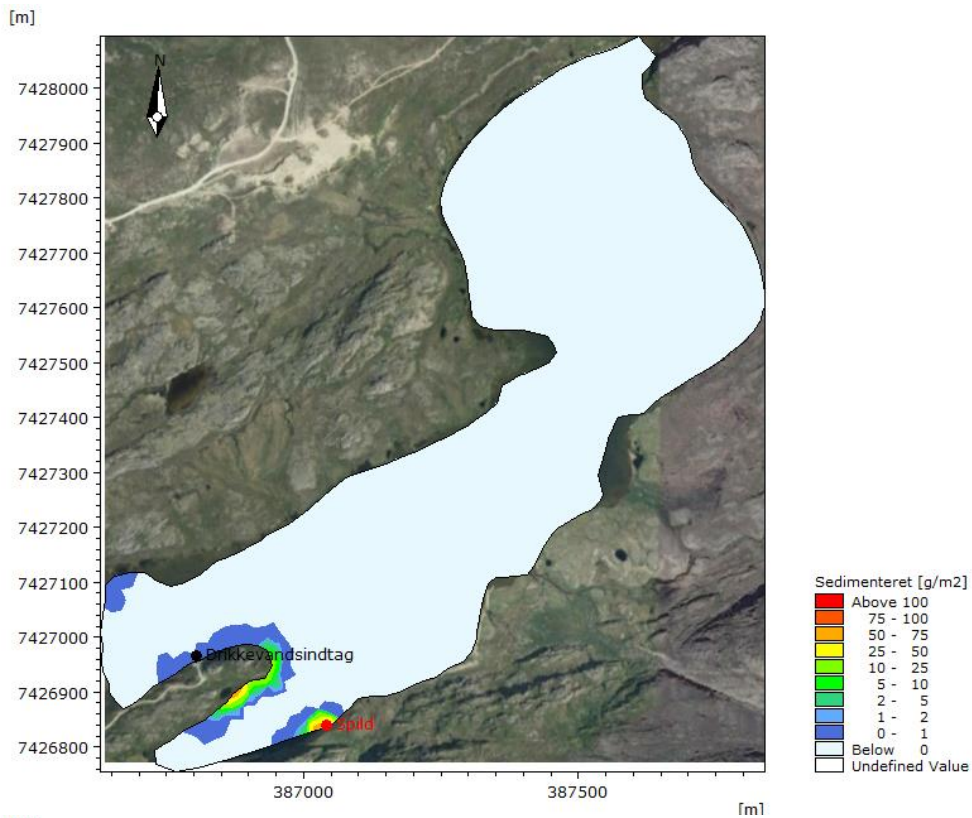


Figur 18: Spild af 200 l benzin, hydrodynamisk scenarie 2 vind fra SSO. Aflejret dieselolie (*øverst*) samt transporttid før dieselolie aflejres (*nederst*). Baggrund fra Google Earth Image © 2020 Maxar Technologies, Asiaq, Terra Metrics

Spild af 200 l benzin, hydrodynamisk scenarie 2 vind fra SO

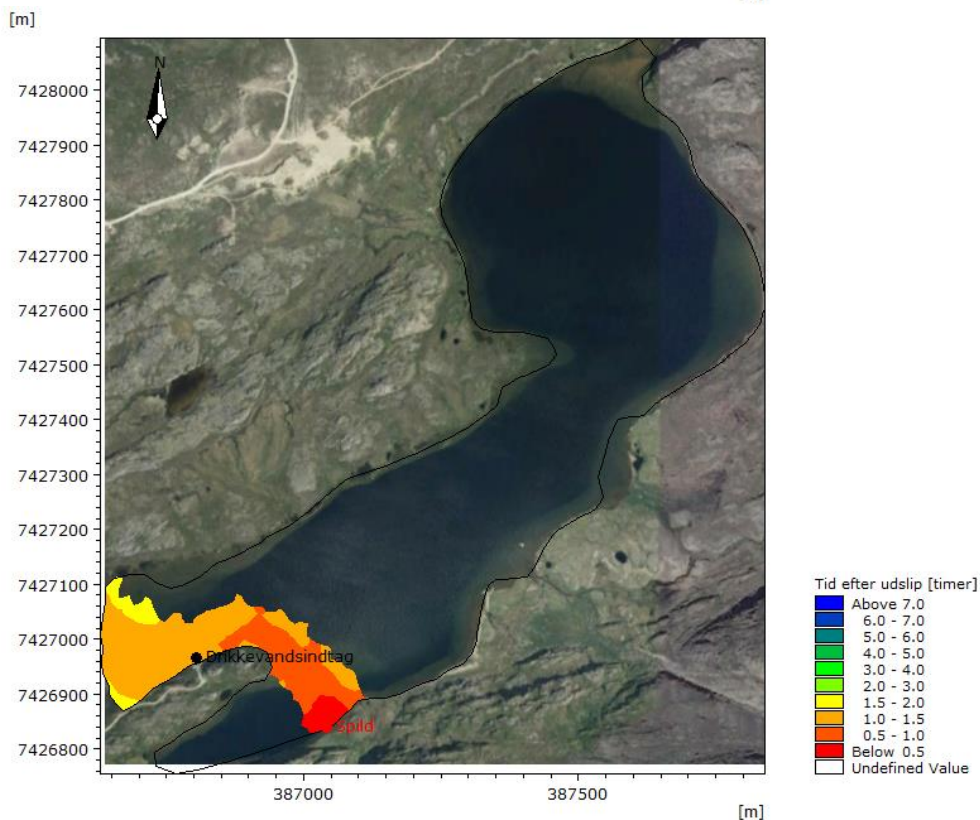
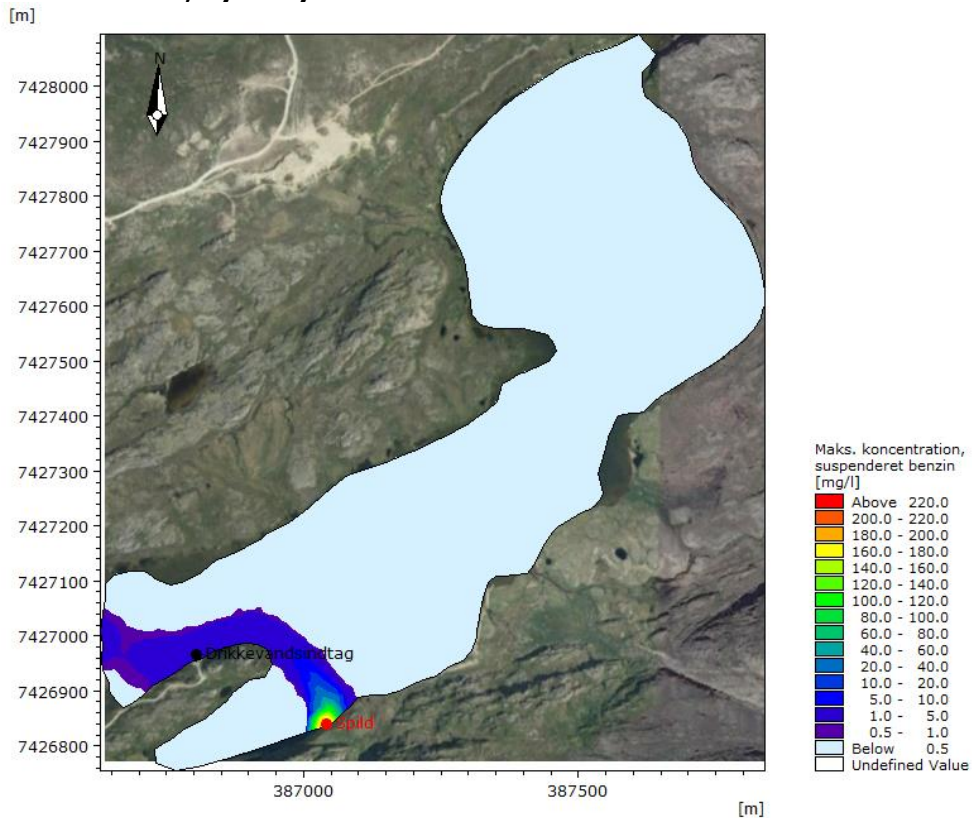


Figur 19: Spild af 200 l benzin, hydrodynamisk scenarie 2 vind fra SO. Maksimale koncentrationer og udbredelse (øverst) og transporttid for dieselolie i suspension (nederst). Baggrund fra Google Earth Image © 2020 Maxar Technologies, Asiaq, Terra Metrics

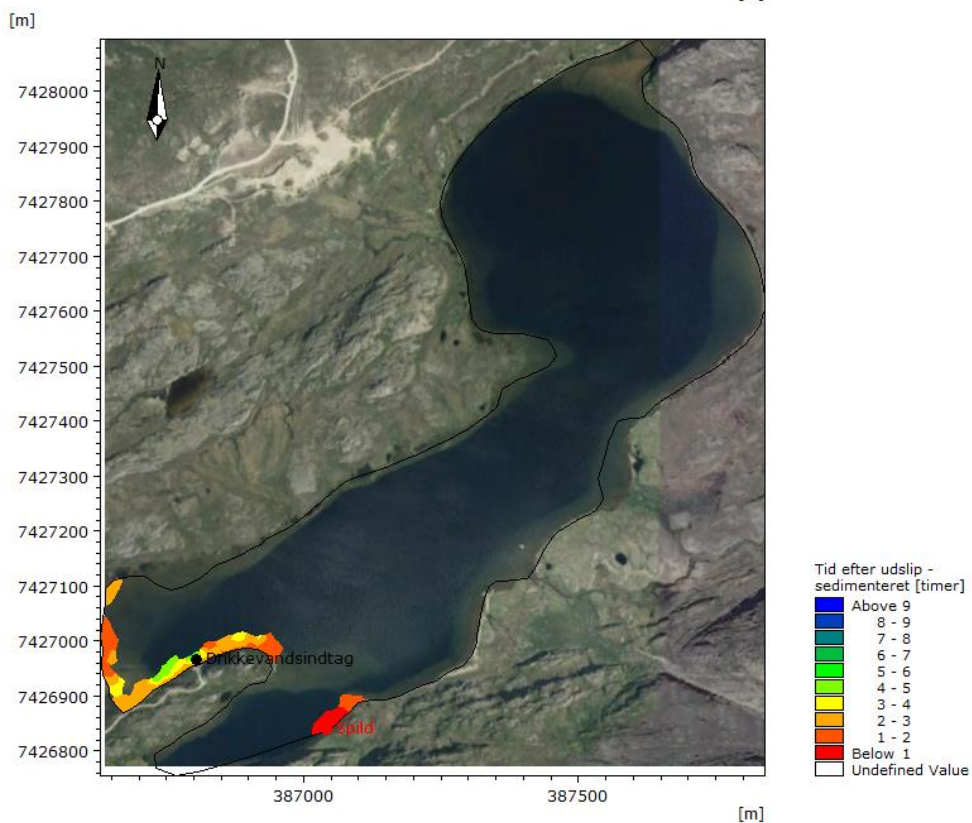
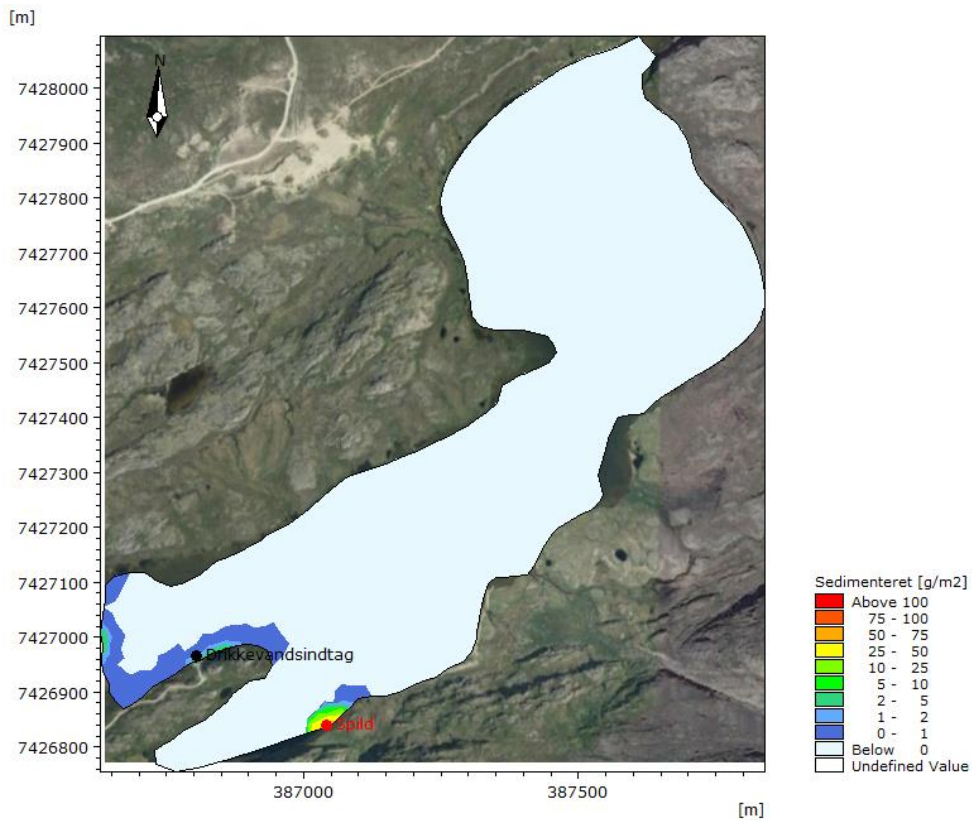


Figur 20: Spild af 200 l benzin, hydrodynamisk scenarie 2 vind fra SO. Aflejret dieselolie (øverst) samt transporttid før dieselolie aflejres (nederst). Baggrund fra Google Earth Image © 2020 Maxar Technologies, Asiaq, Terra Metrics

Spild af 200 l benzin, hydrodynamisk scenarie 3 vind fra S

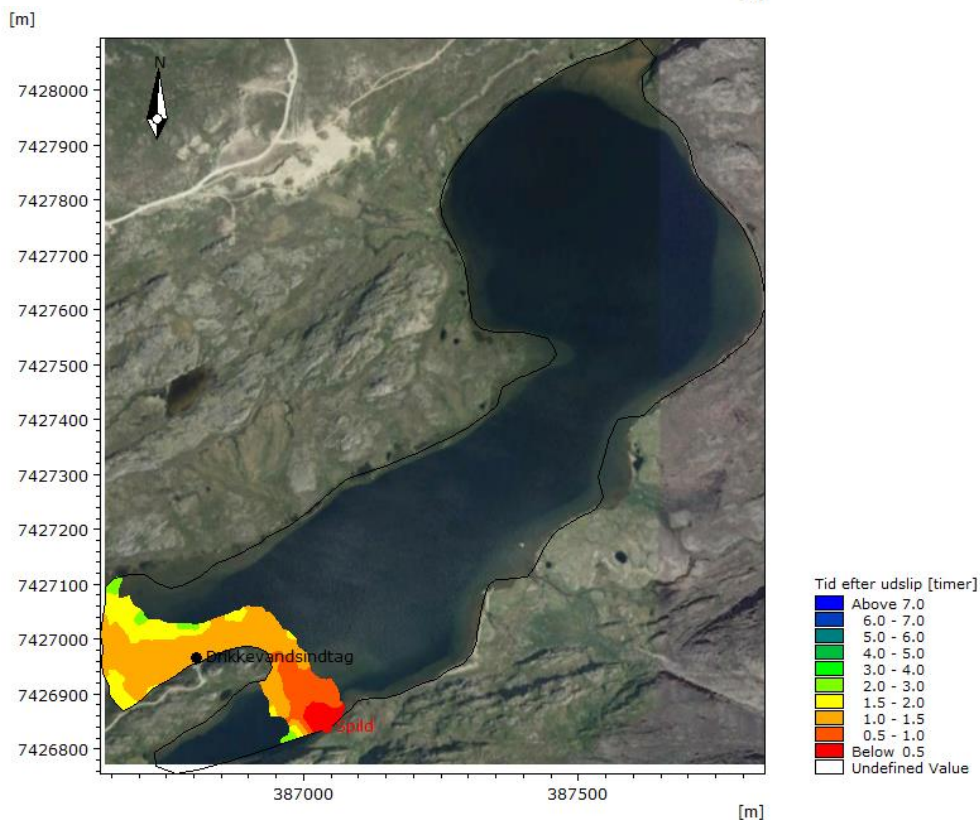
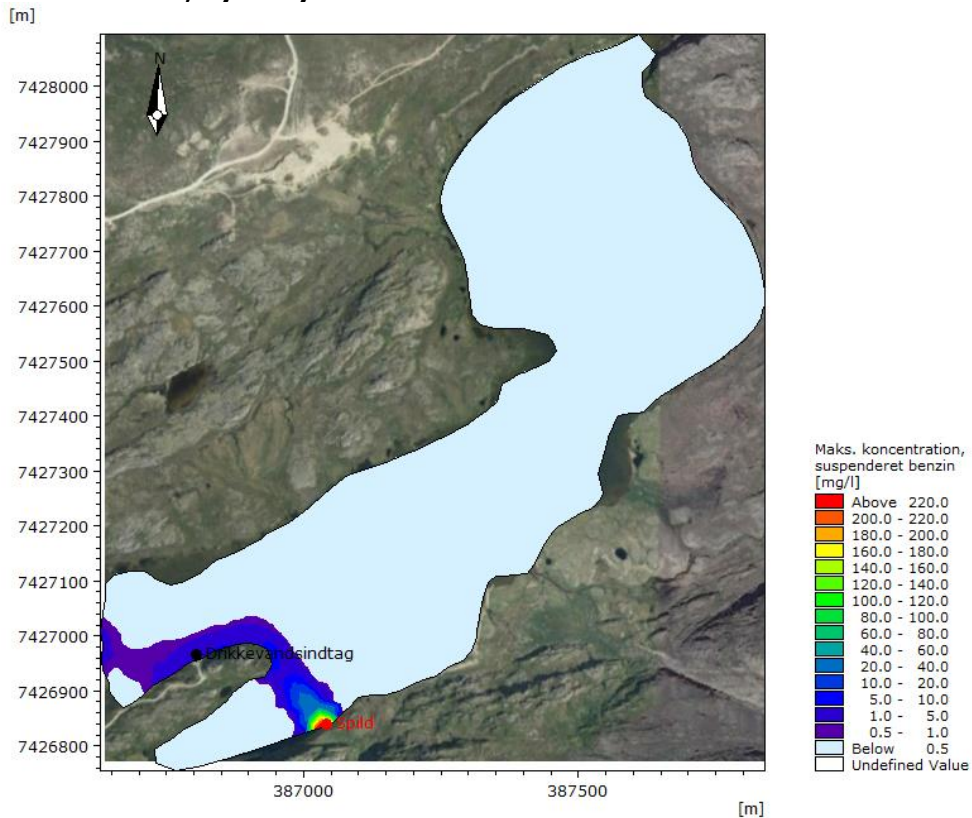


Figur 21: Spild af 200 l benzin, hydrodynamisk scenarie 3 vind fra S. Maksimale koncentrationer og udbredelse (øverst) og transporttid for dieselolie i suspension (nederst). Baggrund fra Google Earth Image © 2020 Maxar Technologies, Asiaq, Terra Metrics

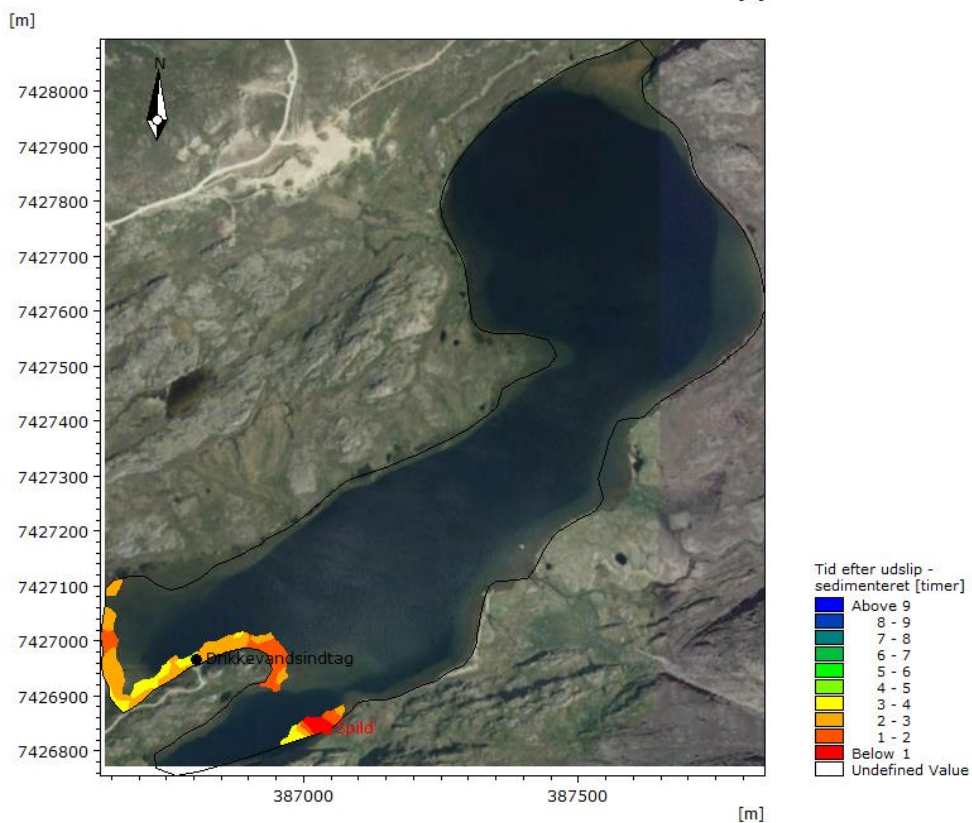
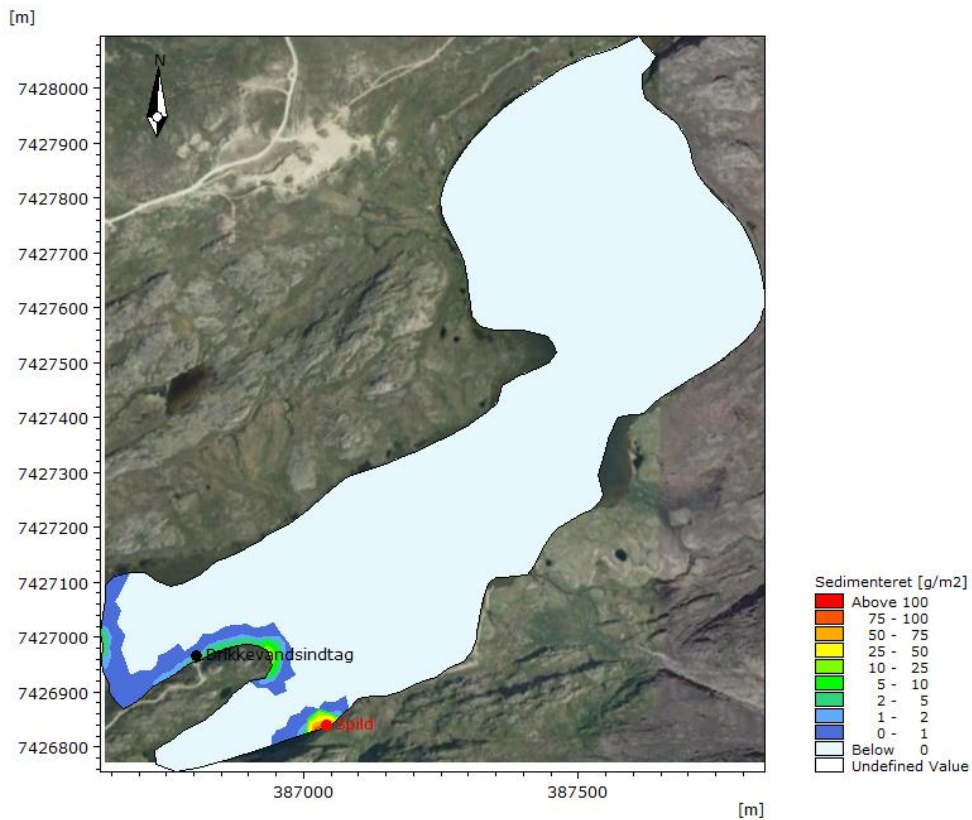


Figur 22: Spild af 200 l benzin, hydrodynamisk scenarie 3 vind fra S. Aflejret dieselolie (øverst) samt transporttid før dieselolie aflejres (nederst). Baggrund fra Google Earth Image © 2020 Maxar Technologies, Asiaq, Terra Metrics

Spild af 200 l benzin, hydrodynamisk scenarie 3 vind fra SSO

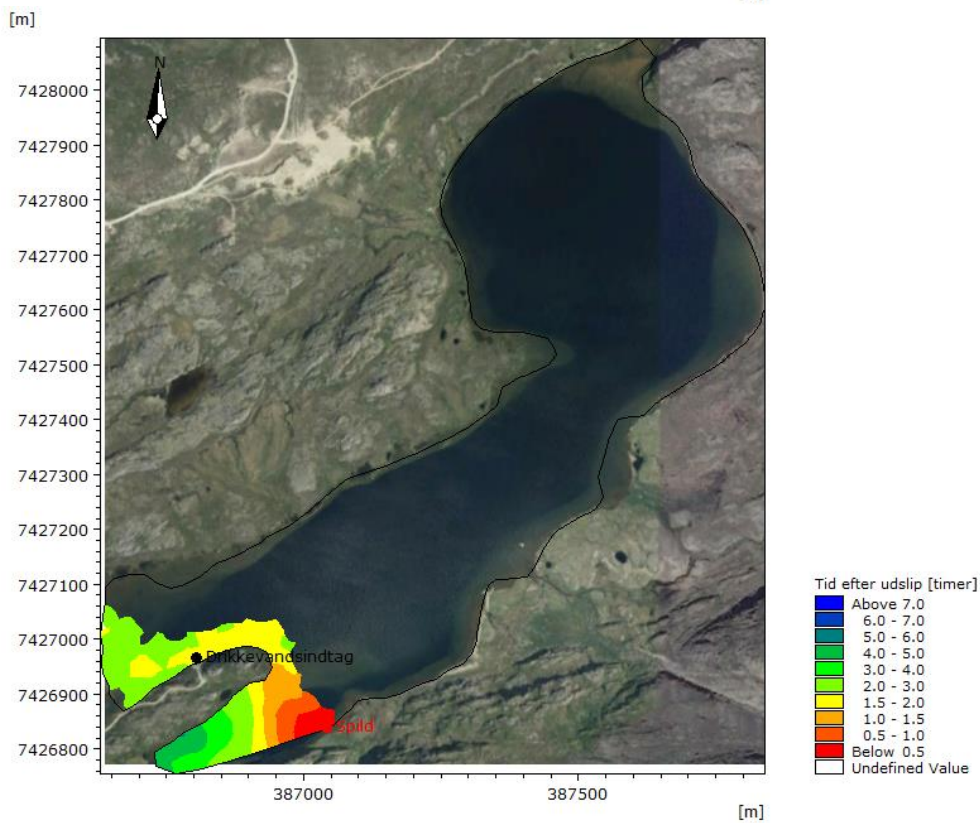
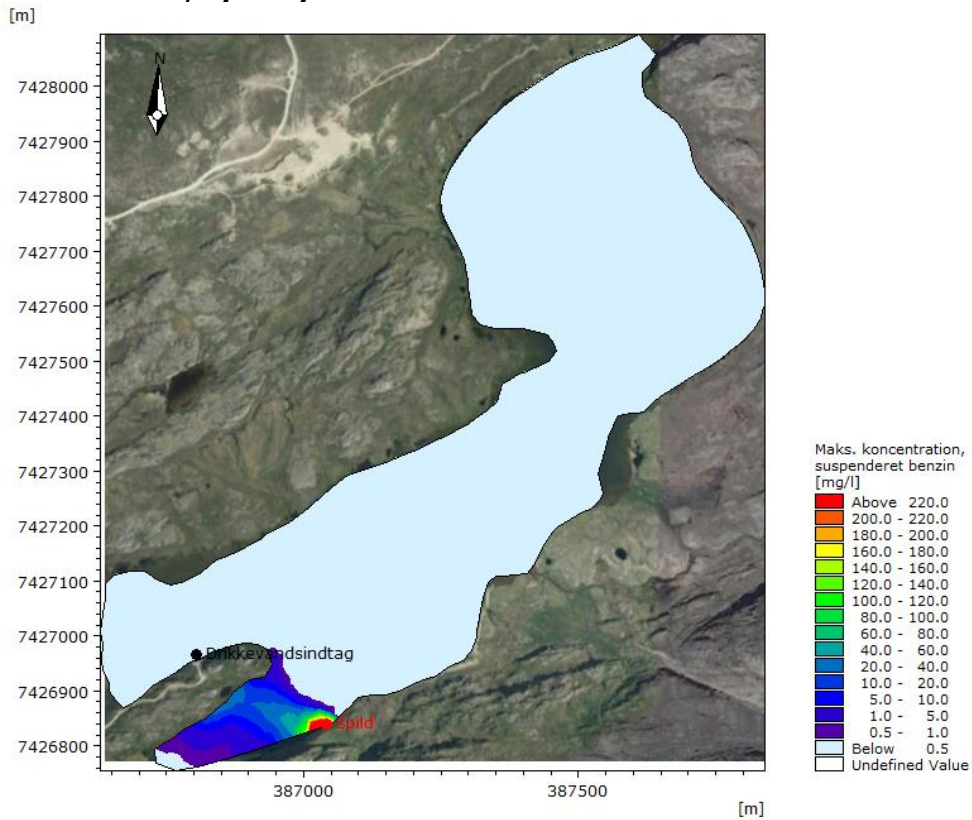


Figur 23: Spild af 200 l benzin, hydrodynamisk scenarie 3 vind fra SSO. Maksimale koncentrationer og udbredelse (øverst) og transporttid for dieselolie i suspension (nederst). Baggrund fra Google Earth Image © 2020 Maxar Technologies, Asiaq, Terra Metrics

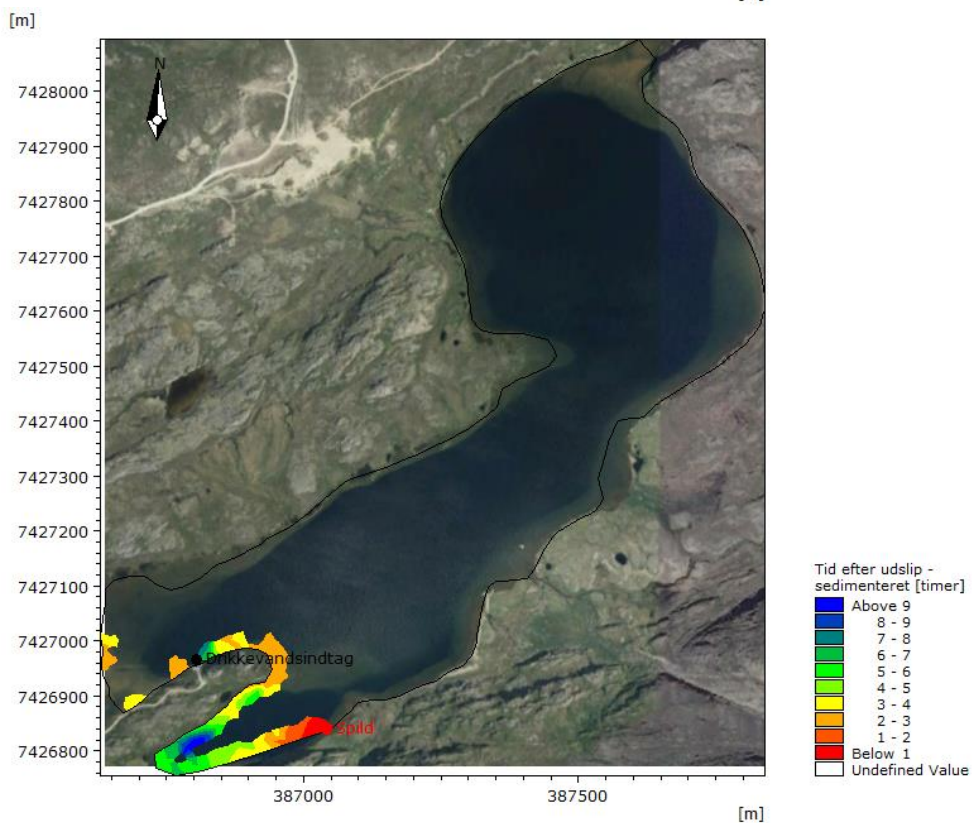
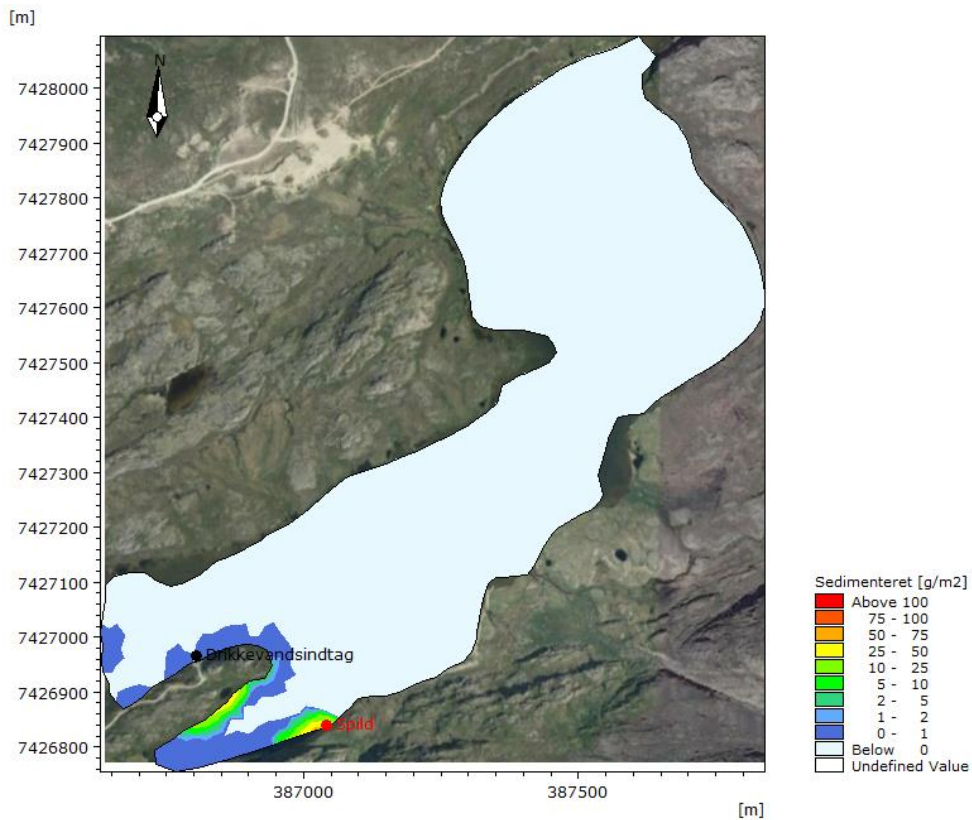


Figur 24: Spild af 200 l benzin, hydrodynamisk scenarie 3 vind fra SSO. Aflejret dieselolie (øverst) samt transporttid før dieselolie aflejres (nederst). Baggrund fra Google Earth Image © 2020 Maxar Technologies, Asiaq, Terra Metrics

Spild af 200 l benzin, hydrodynamisk scenarie 3 vind fra SO

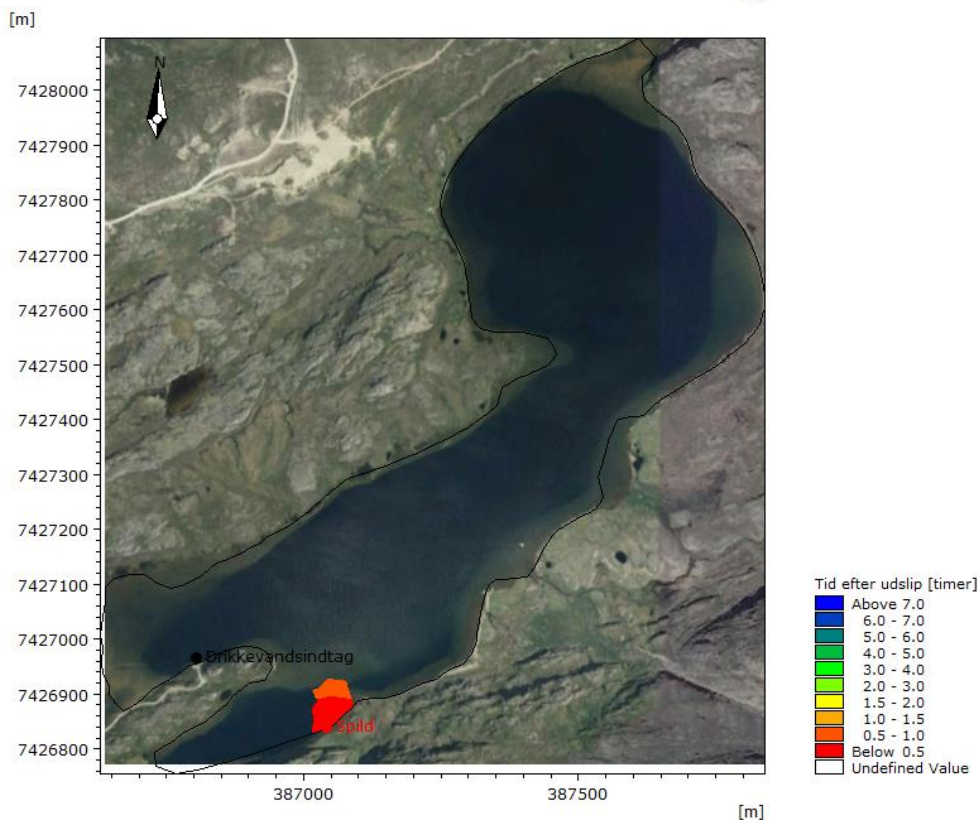
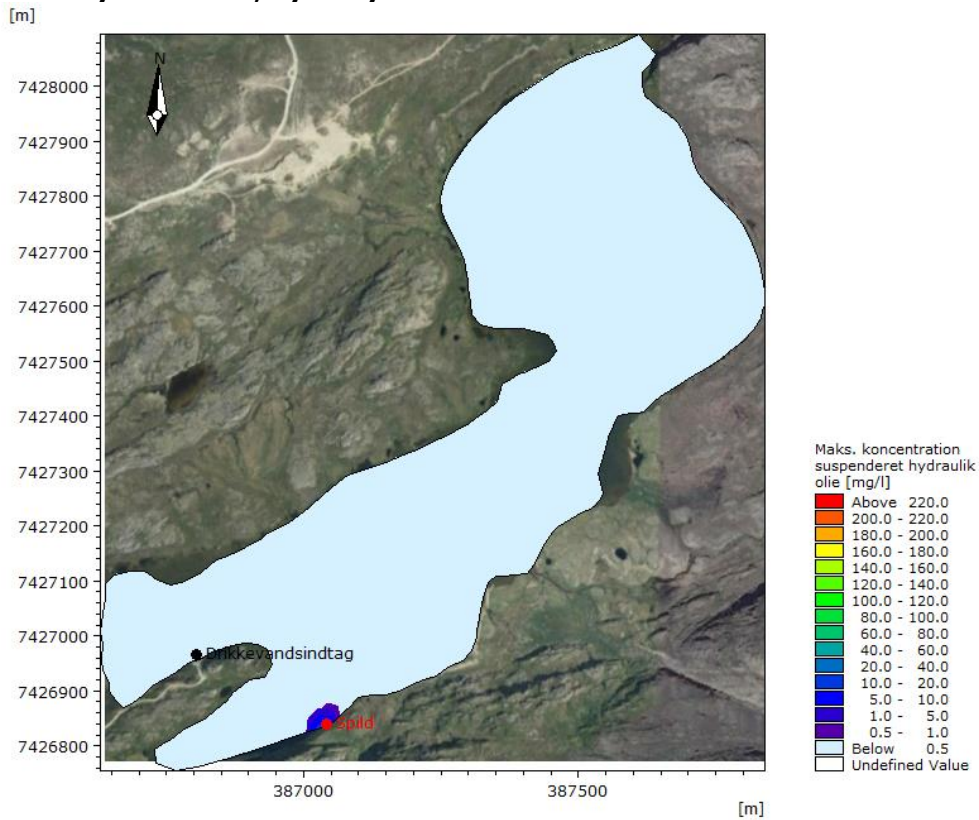


Figur 25: Spild af 200 l benzin, hydrodynamisk scenarie 3 vind fra SO. Maksimale koncentrationer og udbredelse (øverst) og transporttid for dieselolie i suspension (nederst). Baggrund fra Google Earth Image © 2020 Maxar Technologies, Asiaq, Terra Metrics

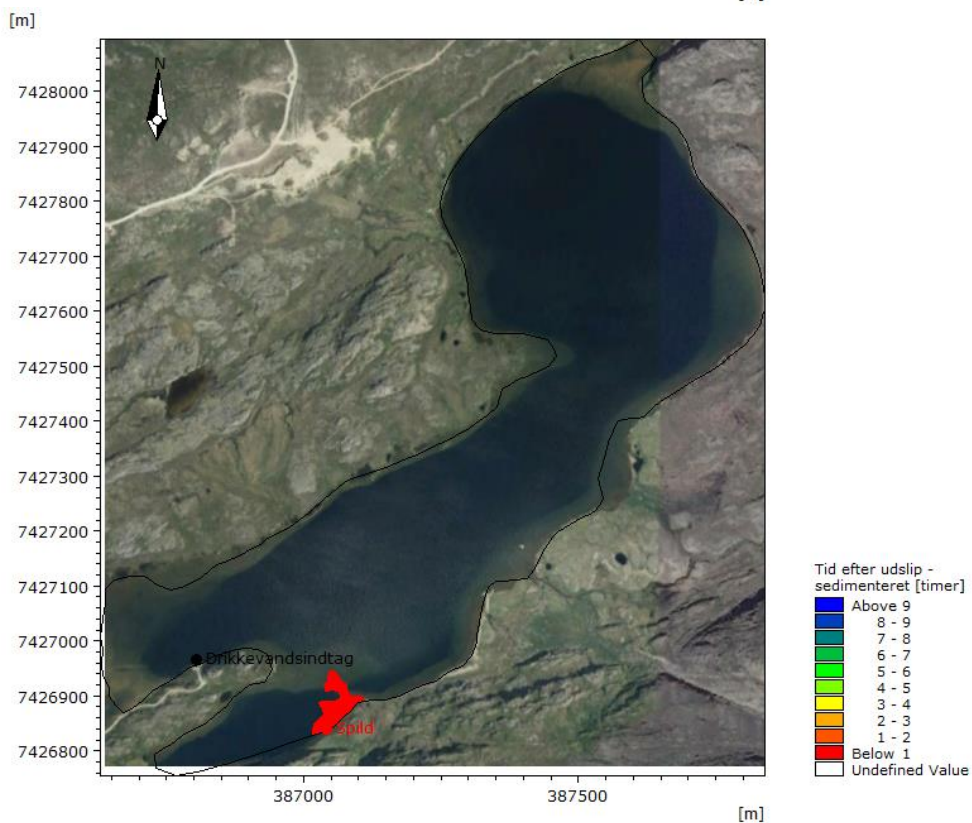
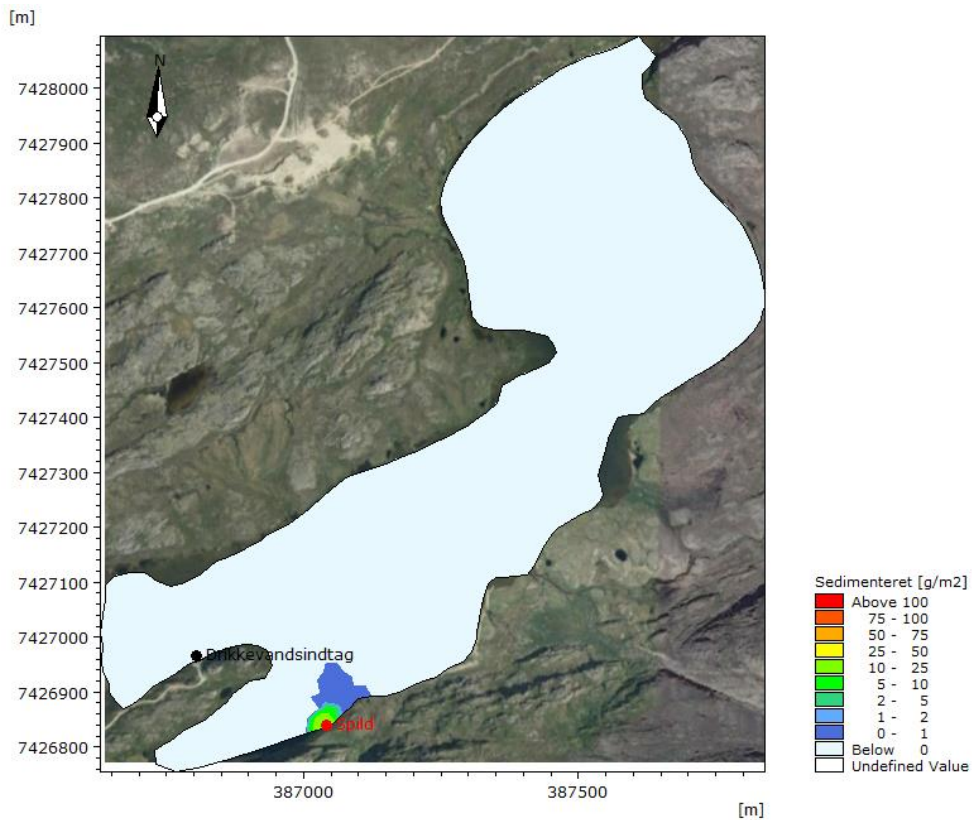


Figur 26: Spild af 200 l benzin, hydrodynamisk scenarie 3 vind fra SO. Aflejret dieselolie (øverst) samt transporttid før dieselolie aflejres (nederst). Baggrund fra Google Earth Image © 2020 Maxar Technologies, Asiaq, Terra Metrics

Spild af 20 l hydraulikolie, hydrodynamisk scenarie 2 vind fra S

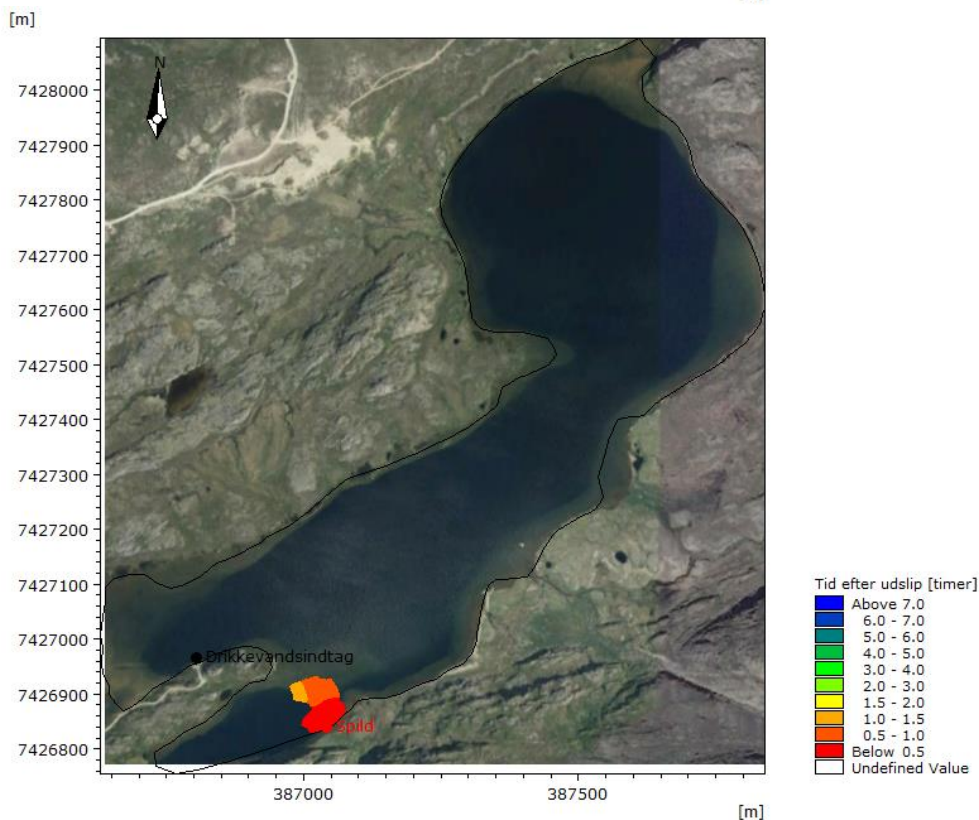
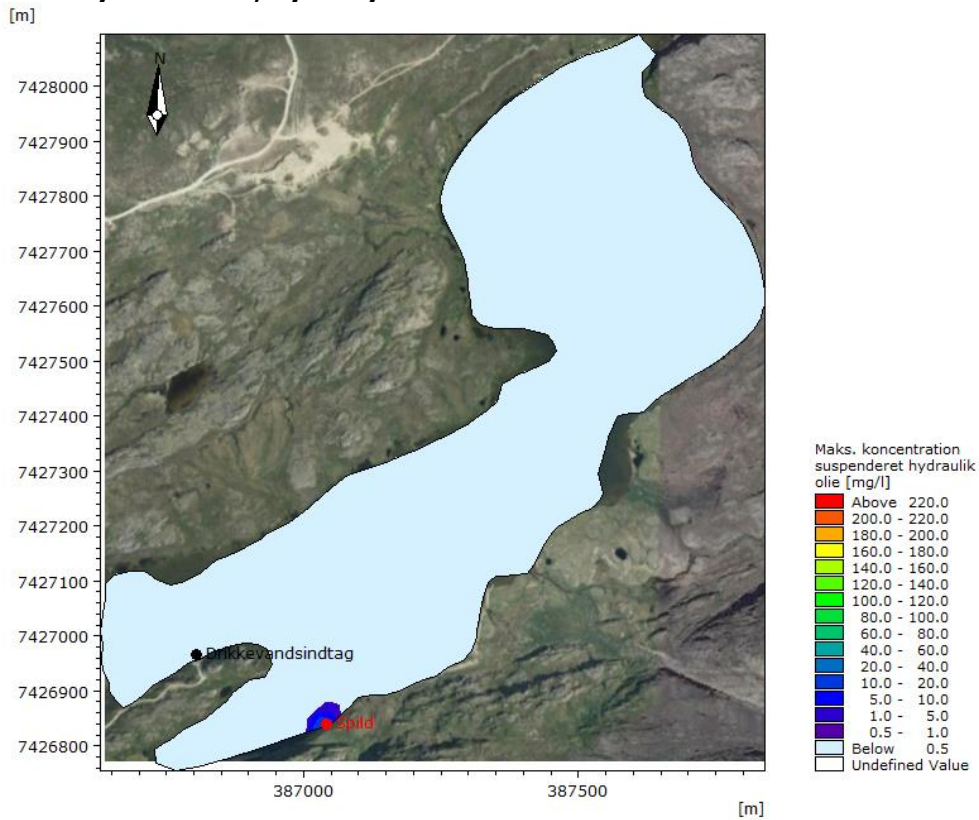


Figur 27: Spild af 20 l hydraulikolie, hydrodynamisk scenarie 2 vind fra S. Maksimale koncentrationer og udbredelse (øverst) og transporttid for dieselolie i suspension (nederst). Baggrund fra Google Earth Image © 2020 Maxar Technologies, Asiaq, Terra Metrics

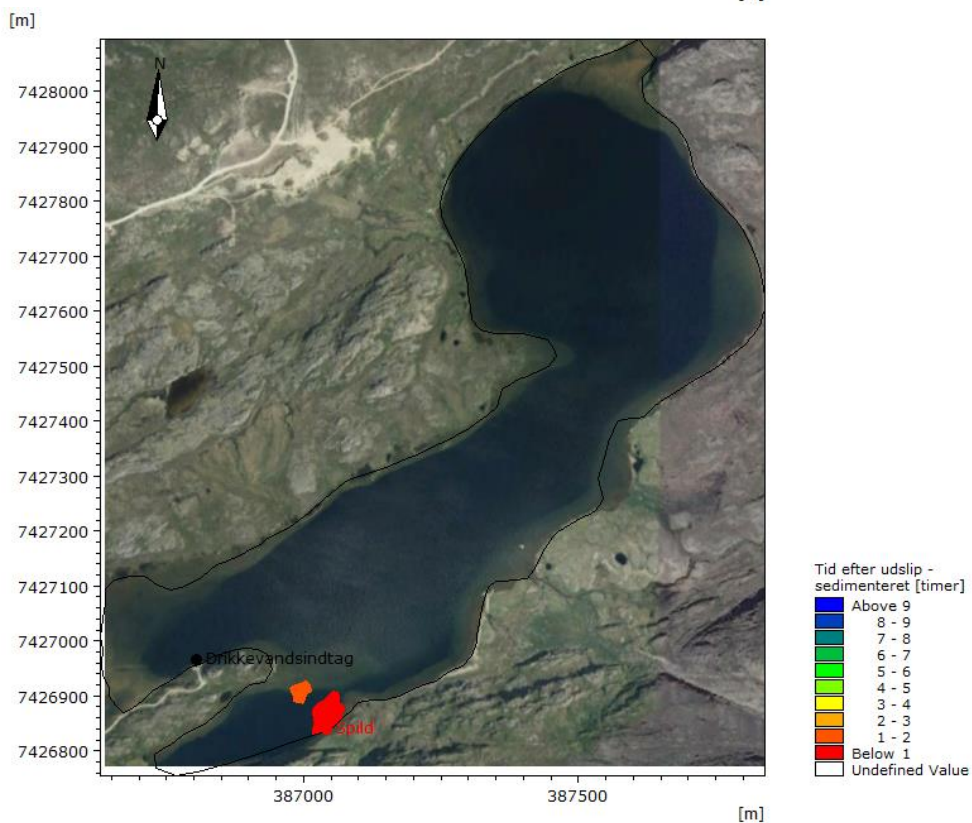
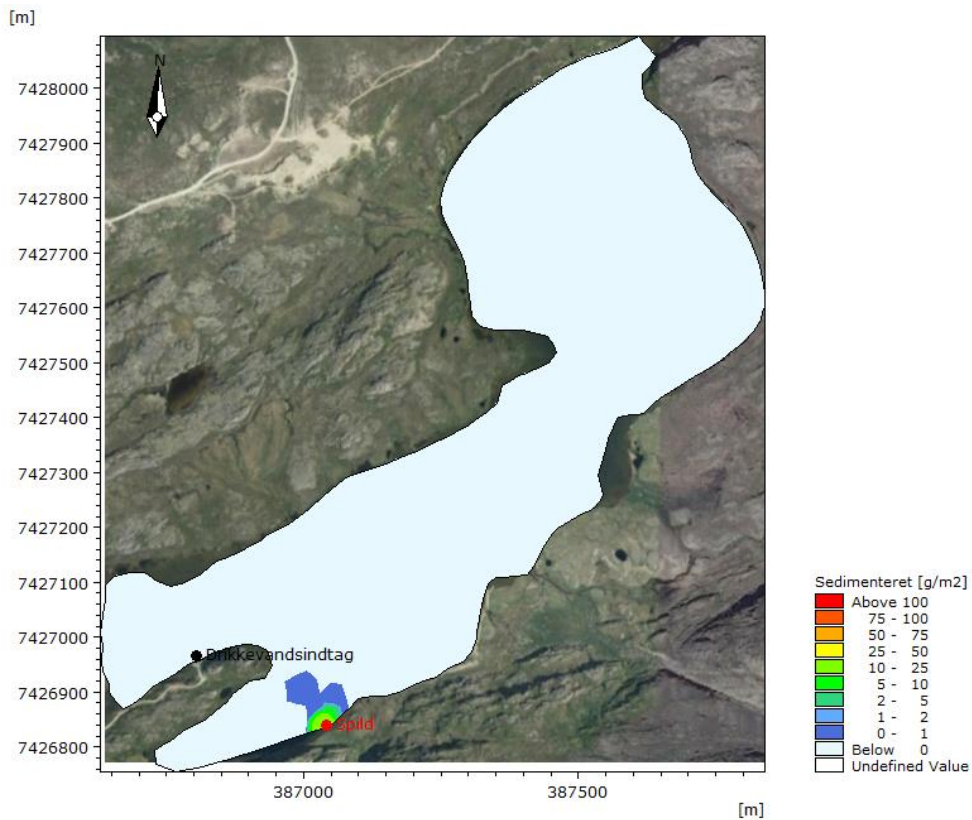


Figur 28: Spild af 20 l hydraulikolie, hydrodynamisk scenarie 2 vind fra S. Aflejret dieselolie (øverst) samt transporttid før dieselolie aflejres (nederst). Baggrund fra Google Earth Image © 2020 Maxar Technologies, Asiaq, Terra Metrics

Spild af 20 l hydraulikolie, hydrodynamisk scenarie 2 vind fra SSO

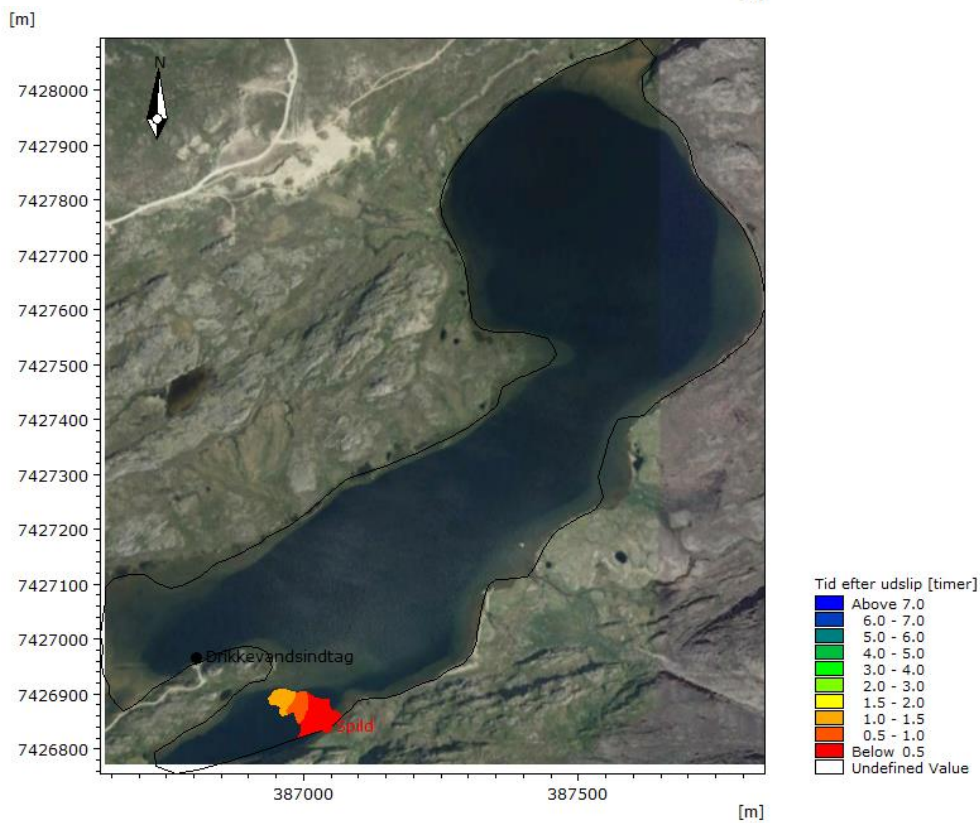
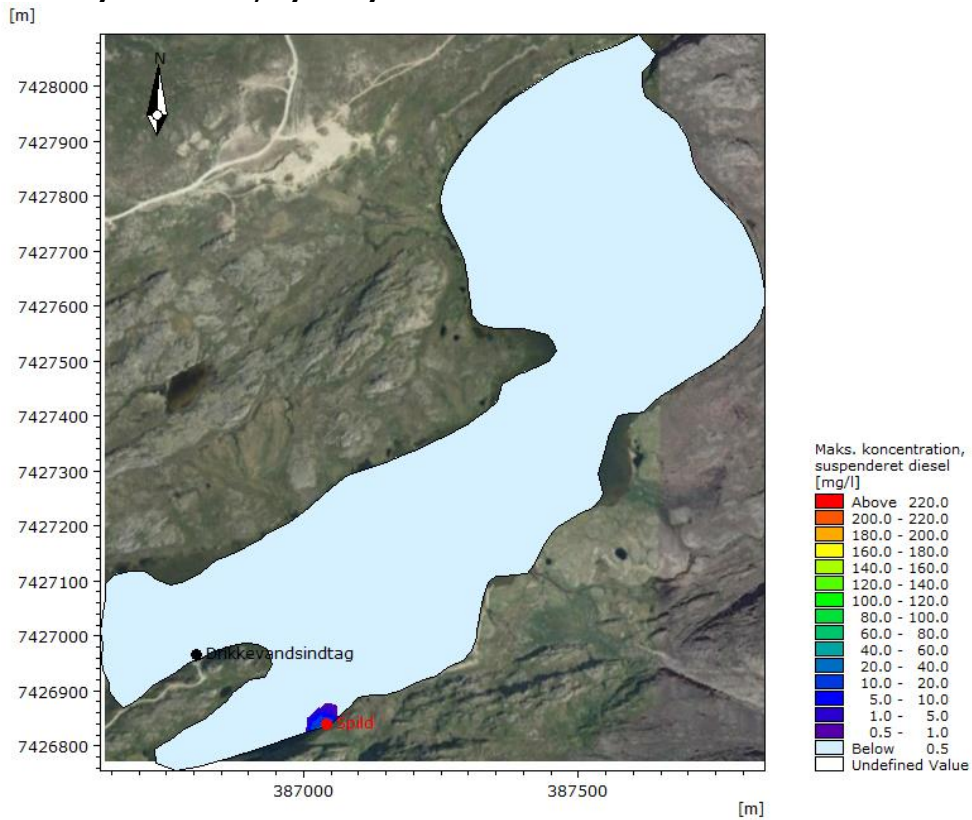


Figur 29: Spild af 20 l hydraulikolie, hydrodynamisk scenarie 2 vind fra SSO. Maksimale koncentrationer og udbredelse (øverst) og transporttid for dieselolie i suspension (nederst). Baggrund fra Google Earth Image © 2020 Maxar Technologies, Asiaq, Terra Metrics

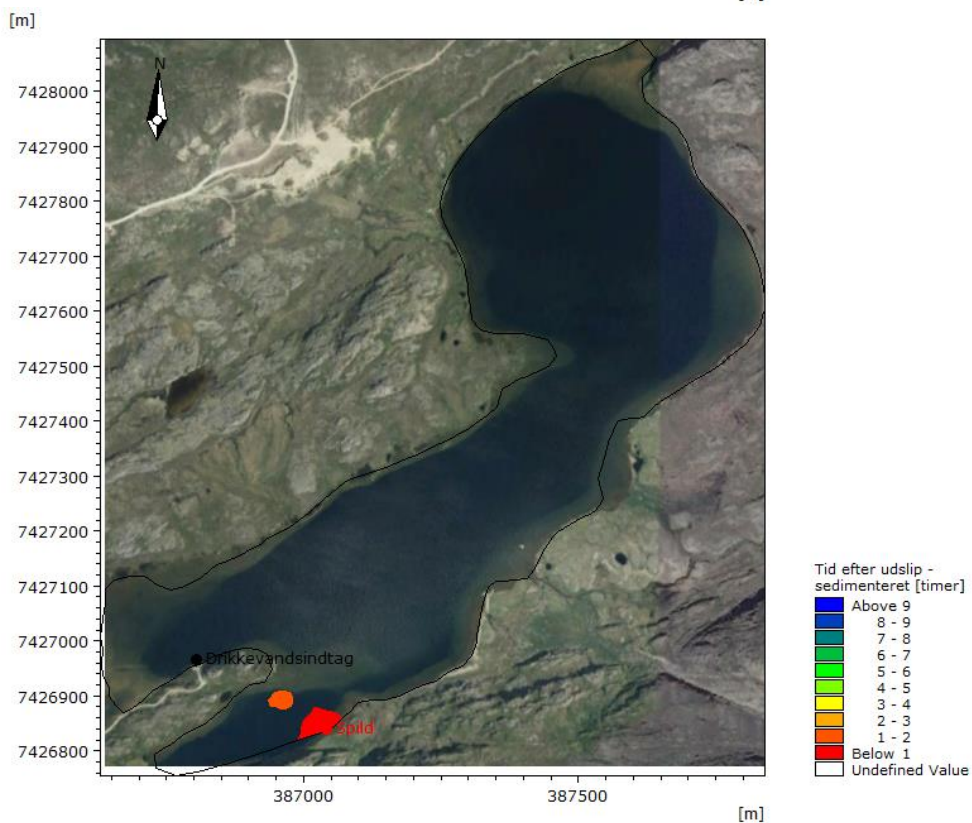
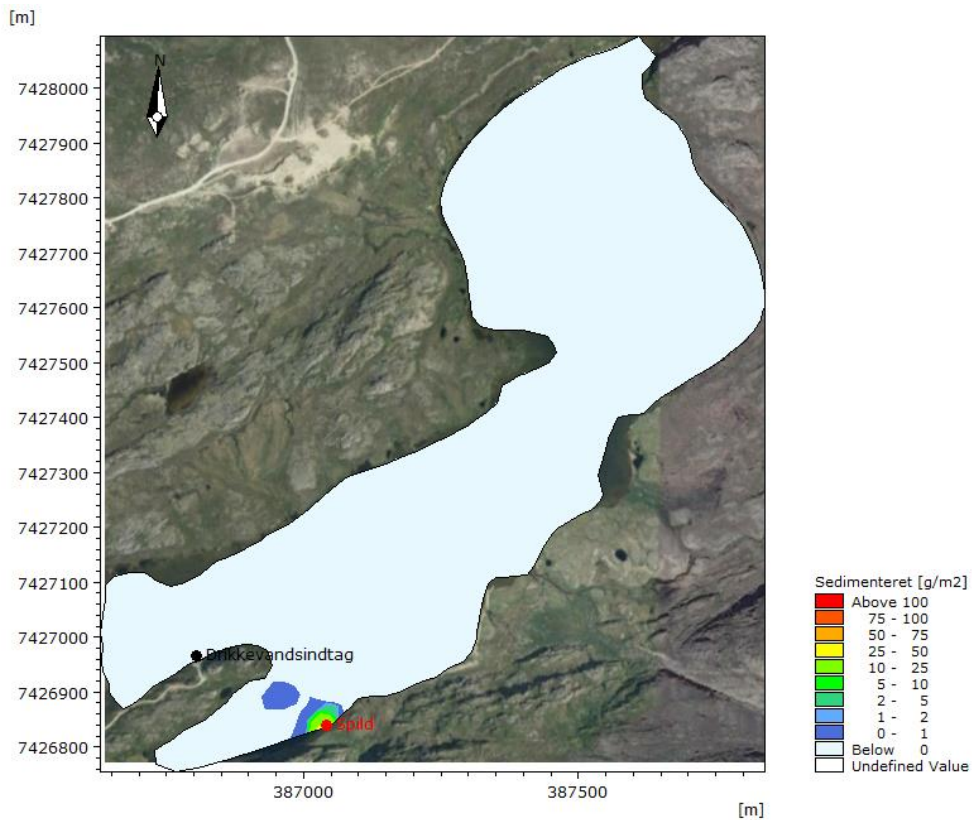


Figur 30: Spild af 20 l hydraulikolie, hydrodynamisk scenarie 2 vind fra SSO. Aflejret dieselolie (øverst) samt transporttid før dieselolie aflejres (nederst). Baggrund fra Google Earth Image © 2020 Maxar Technologies, Asiaq, Terra Metrics

Spild af 20 l hydraulikolie, hydrodynamisk scenarie 2 vind fra SO

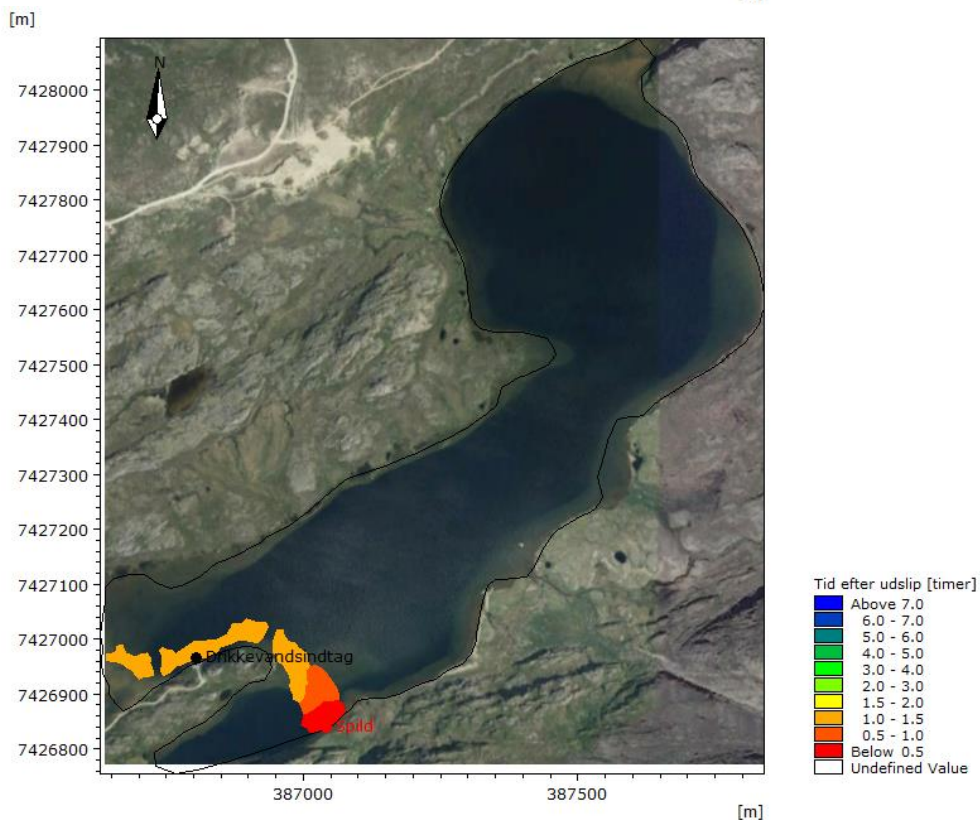
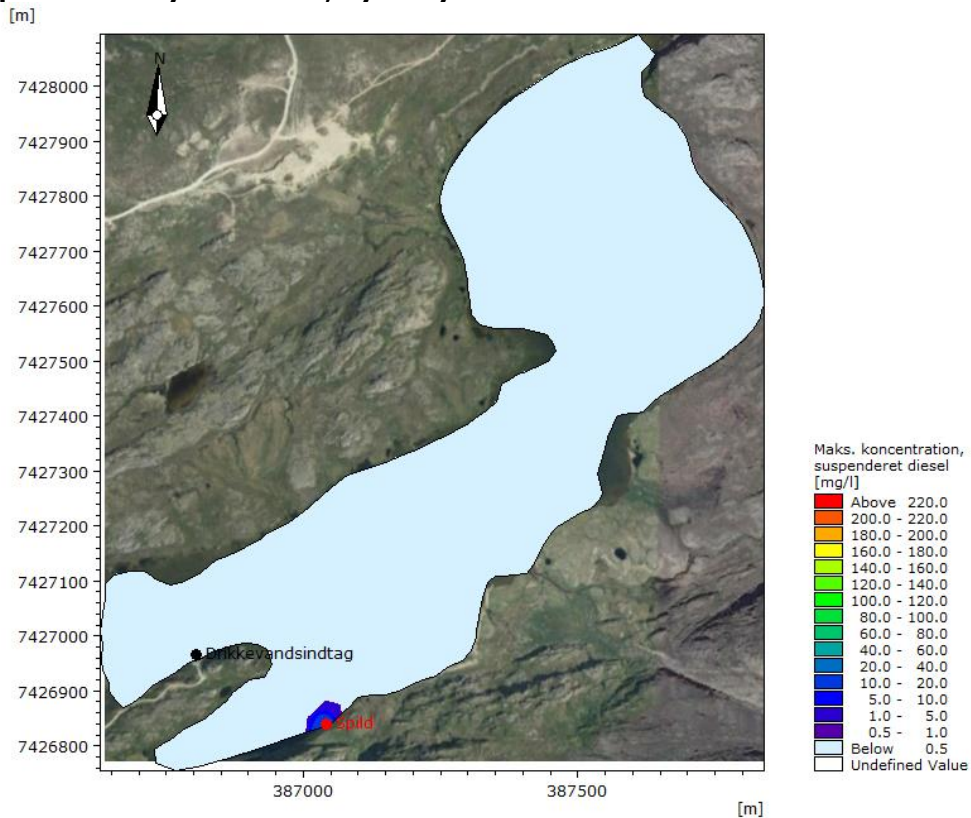


Figur 31: Spild af 20 l hydraulikolie, hydrodynamisk scenarie 2 vind fra SO. Maksimale koncentrationer og udbredelse (øverst) og transporttid for dieselolie i suspension (nederst). Baggrund fra Google Earth Image © 2020 Maxar Technologies, Asiaq, Terra Metrics

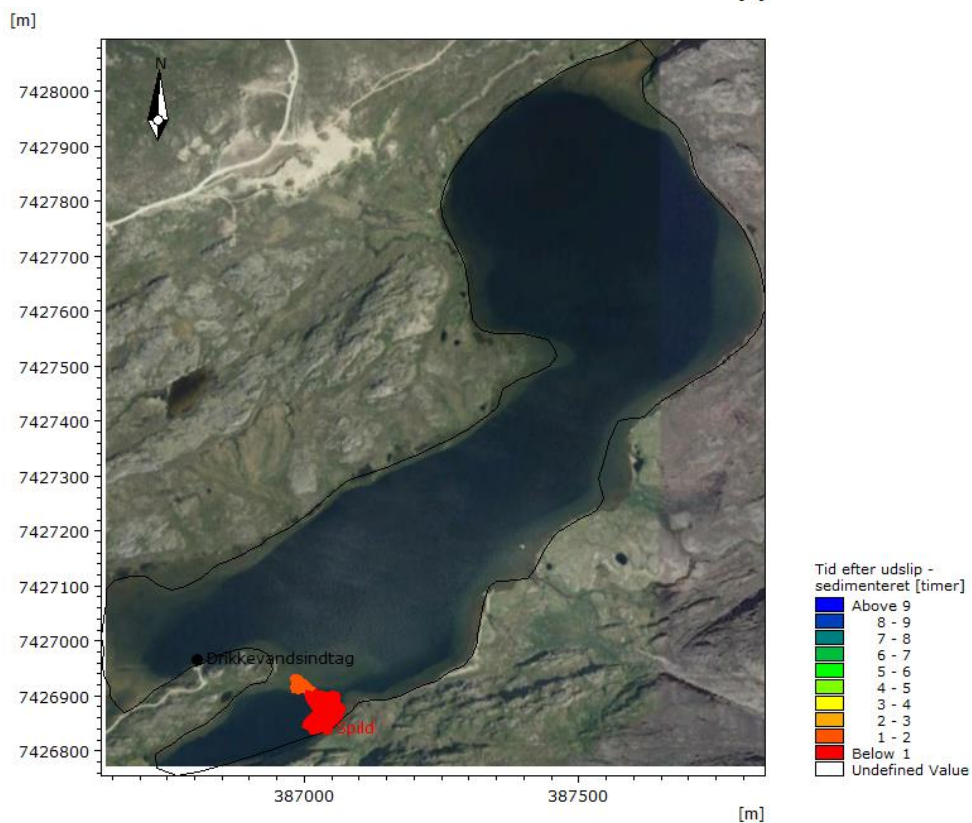
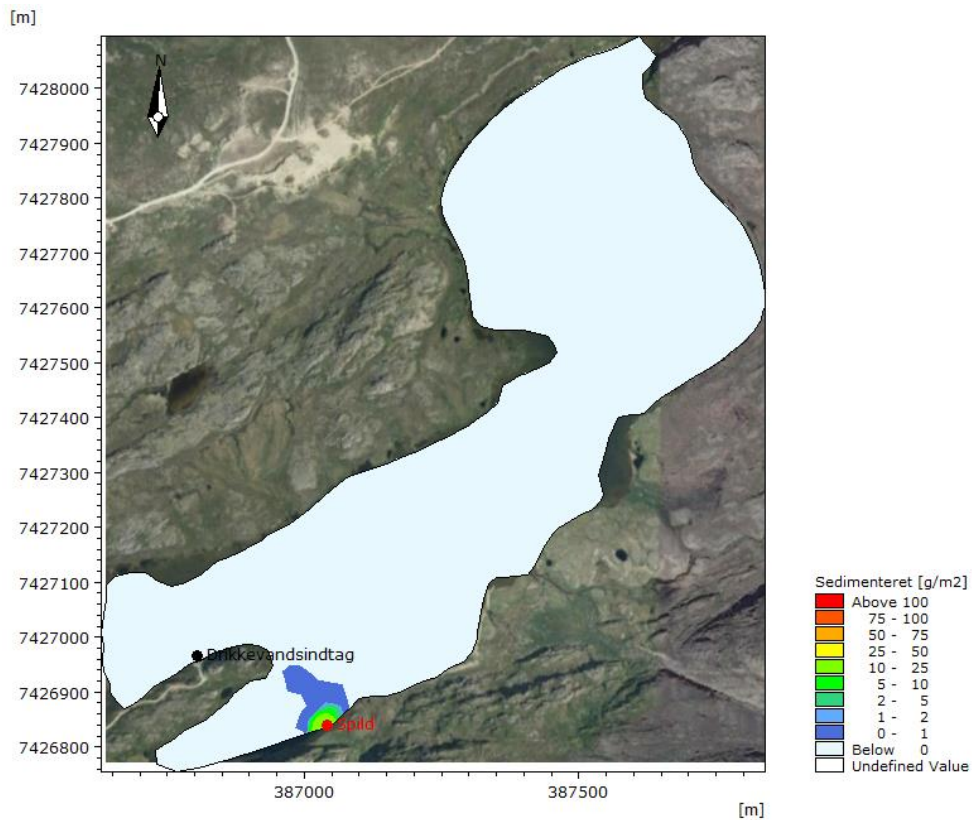


Figur 32: Spild af 20 l hydraulikolie, hydrodynamisk scenarie 2 vind fra SO. Aflejret dieselolie (øverst) samt transporttid før dieselolie aflejres (nederst). Baggrund fra Google Earth Image © 2020 Maxar Technologies, Asiaq, Terra Metrics

Spild af 20 l hydraulikolie, hydrodynamisk scenarie 3 vind fra S

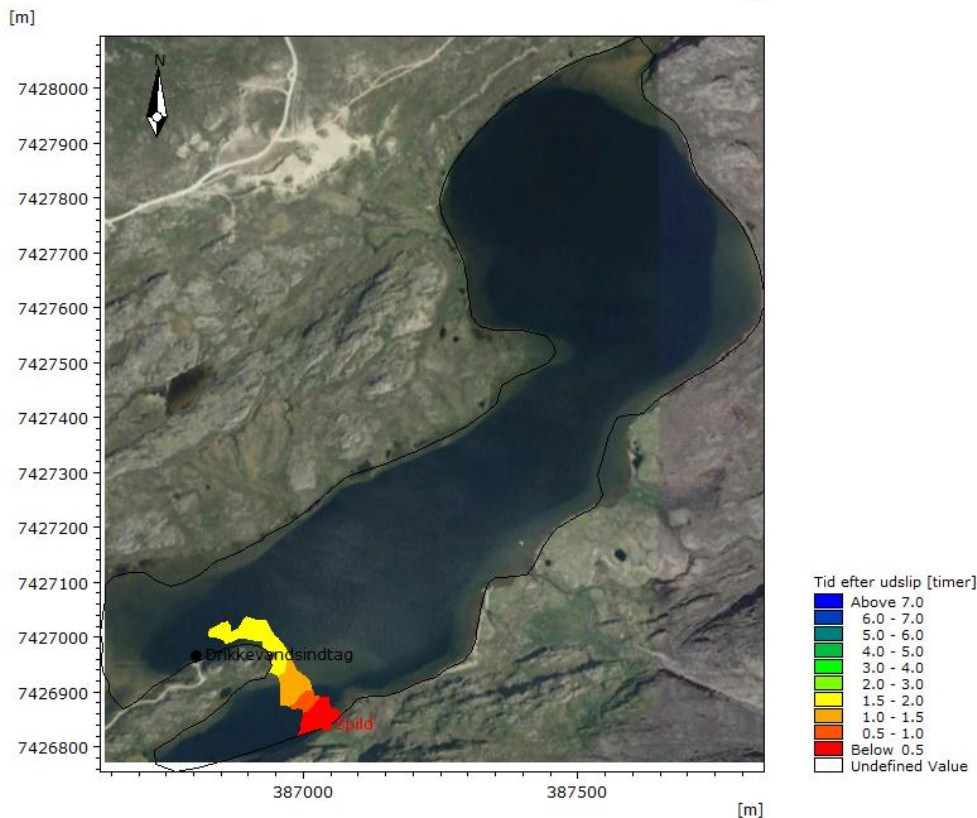
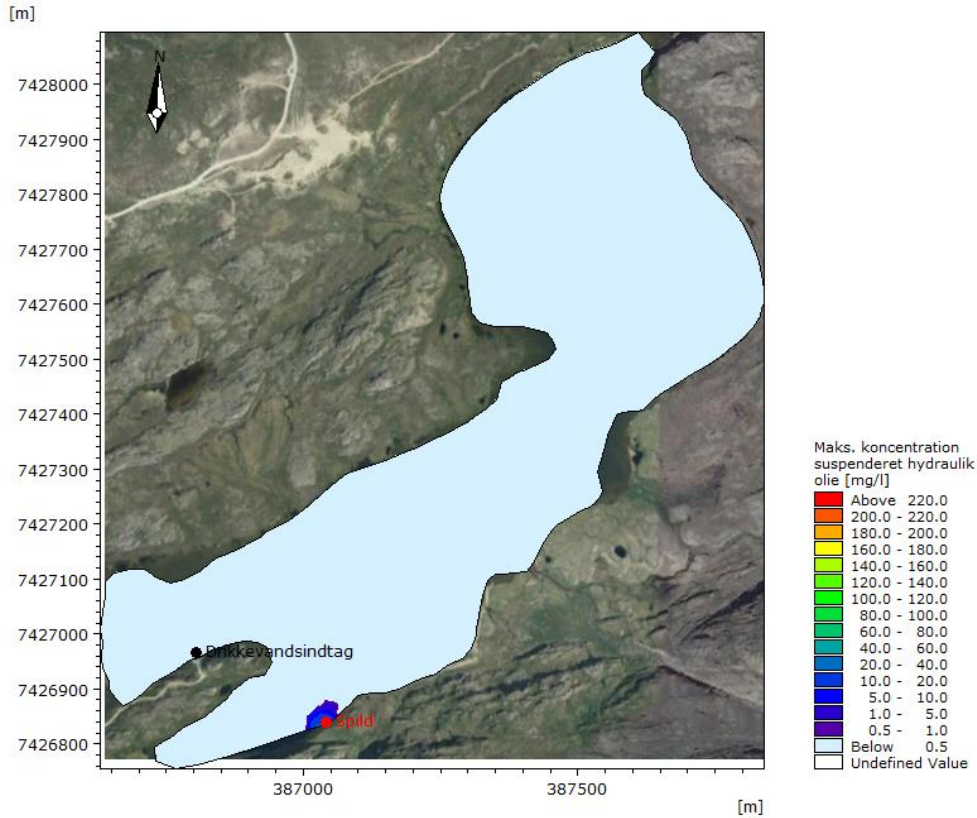


Figur 33: Spild af 20 l hydraulikolie, hydrodynamisk scenarie 3 vind fra S. Maksimale koncentrationer og udbredelse (øverst) og transporttid for dieselolie i suspension (nederst). Baggrund fra Google Earth Image © 2020 Maxar Technologies, Asiaq, Terra Metrics

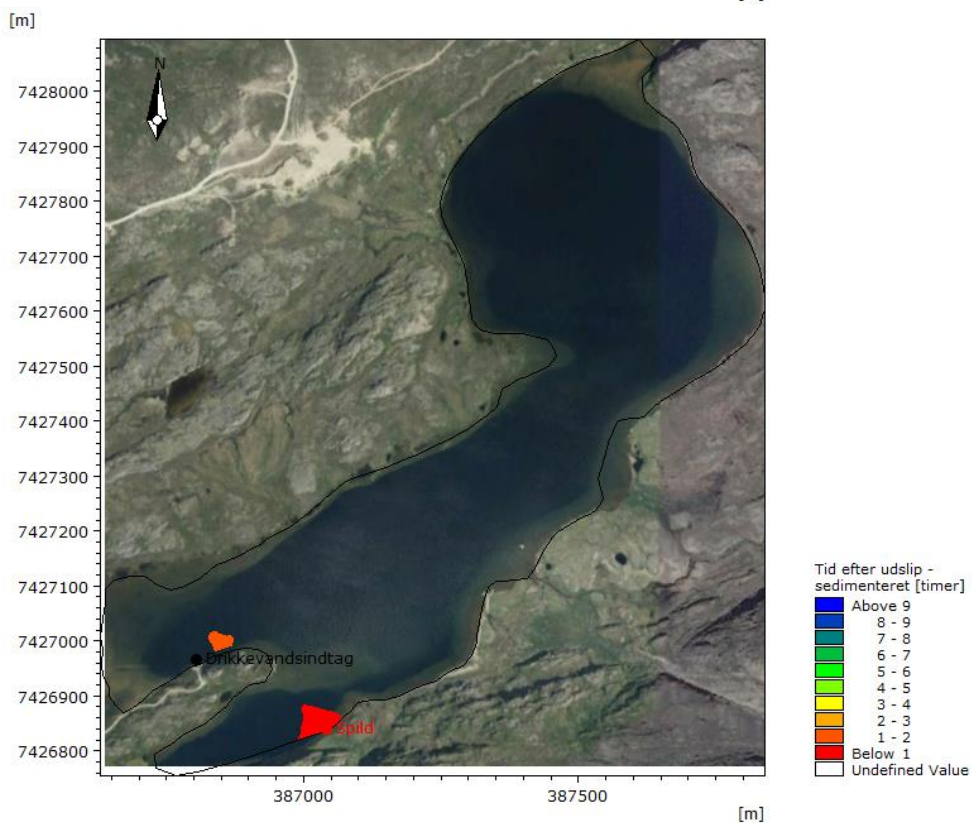
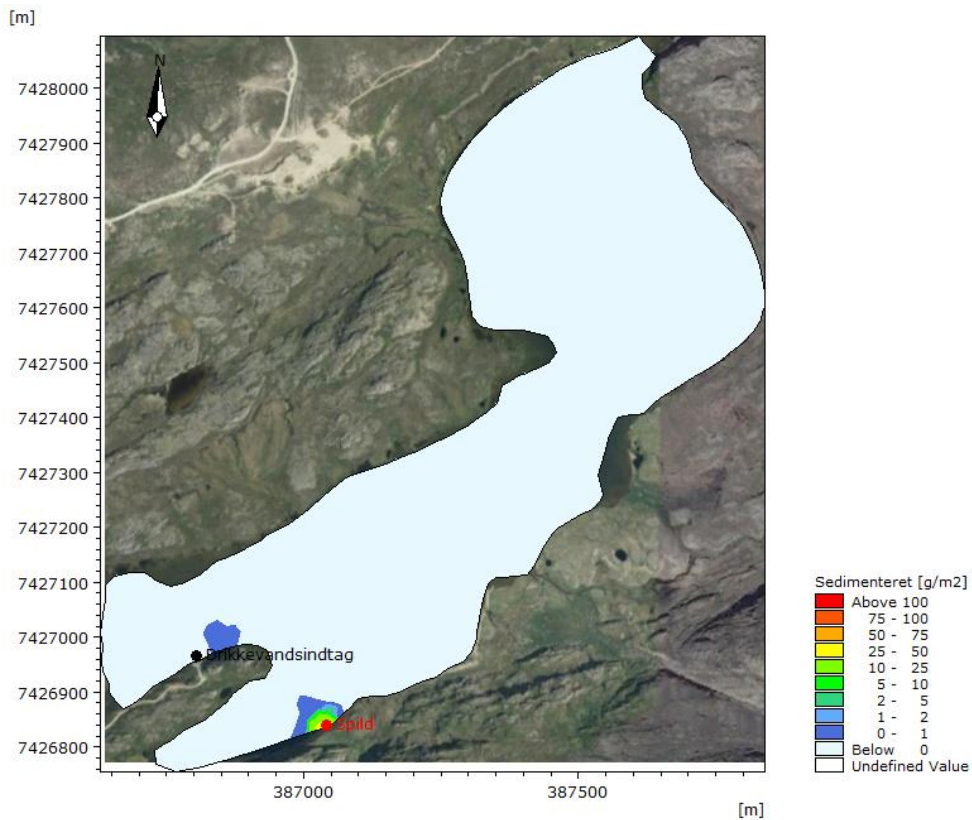


Figur 34: Spild af 20 l hydraulikolie, hydrodynamisk scenarie 3 vind fra S. Aflejret dieselolie (øverst) samt transporttid før dieselolie aflejres (nederst). Baggrund fra Google Earth Image © 2020 Maxar Technologies, Asiaq, Terra Metrics

Spild af 20 l hydraulikolie, hydrodynamisk scenarie 3 vind fra SSO

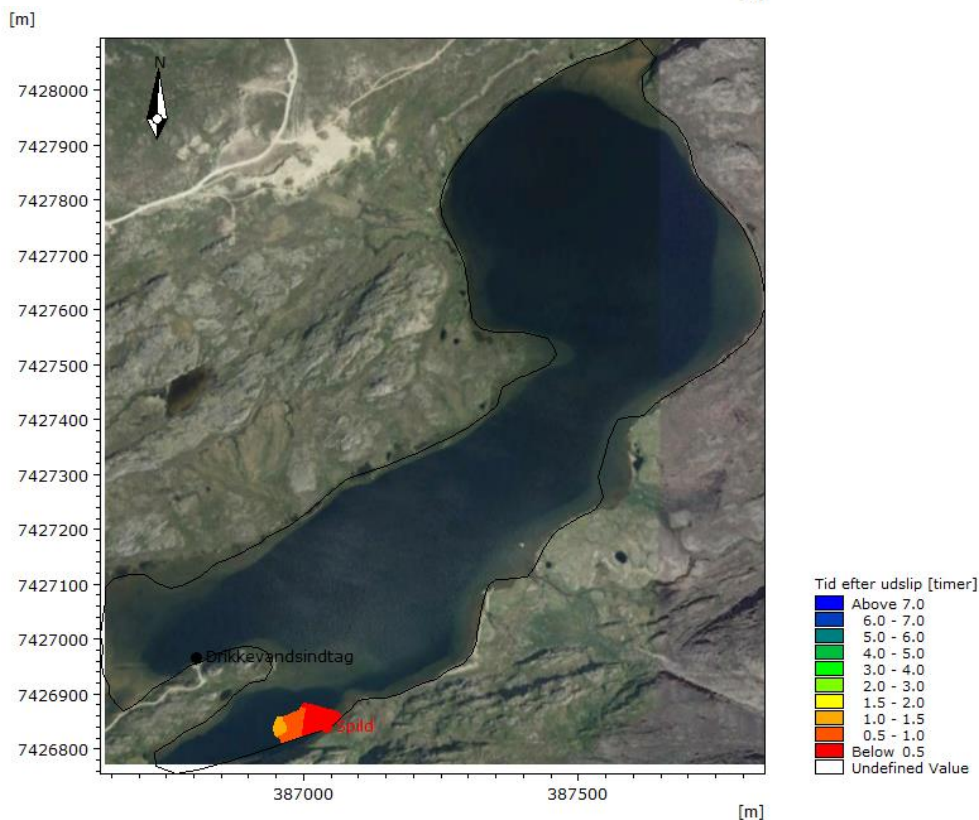
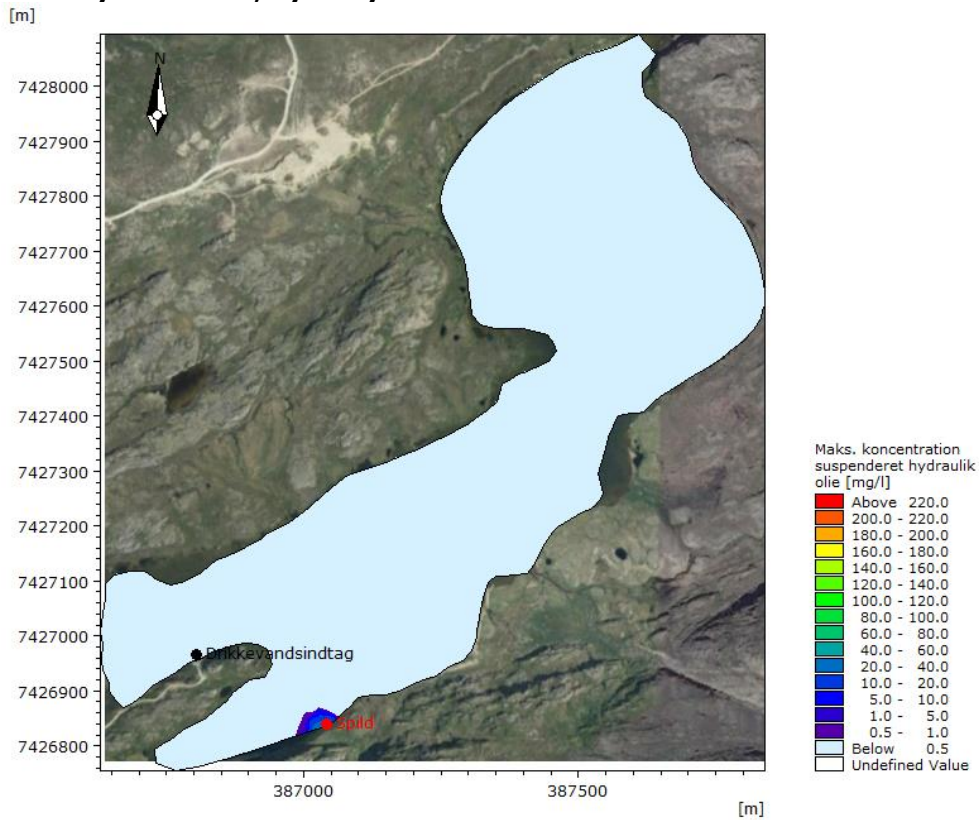


Figur 35: Spild af 20 l hydraulikolie, hydrodynamisk scenarie 3 vind fra SSO. Maksimale koncentrationer og udbredelse (øverst) og transporttid for dieselolie i suspension (nederst). Baggrund fra Google Earth Image © 2020 Maxar Technologies, Asiaq, Terra Metrics

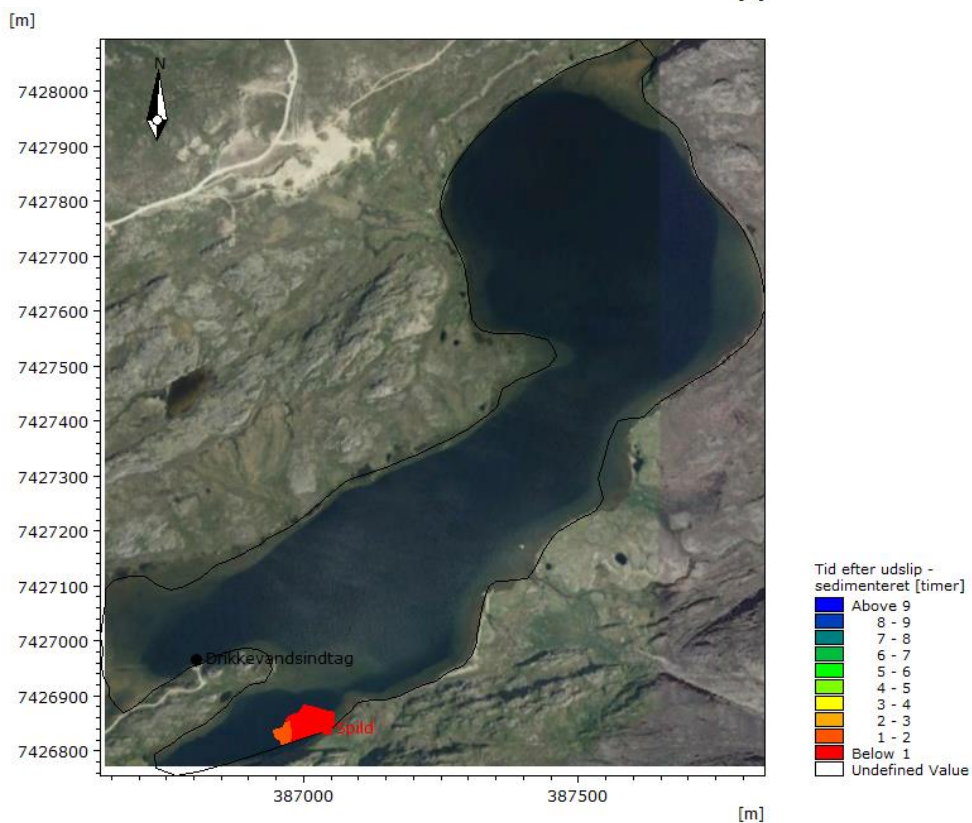
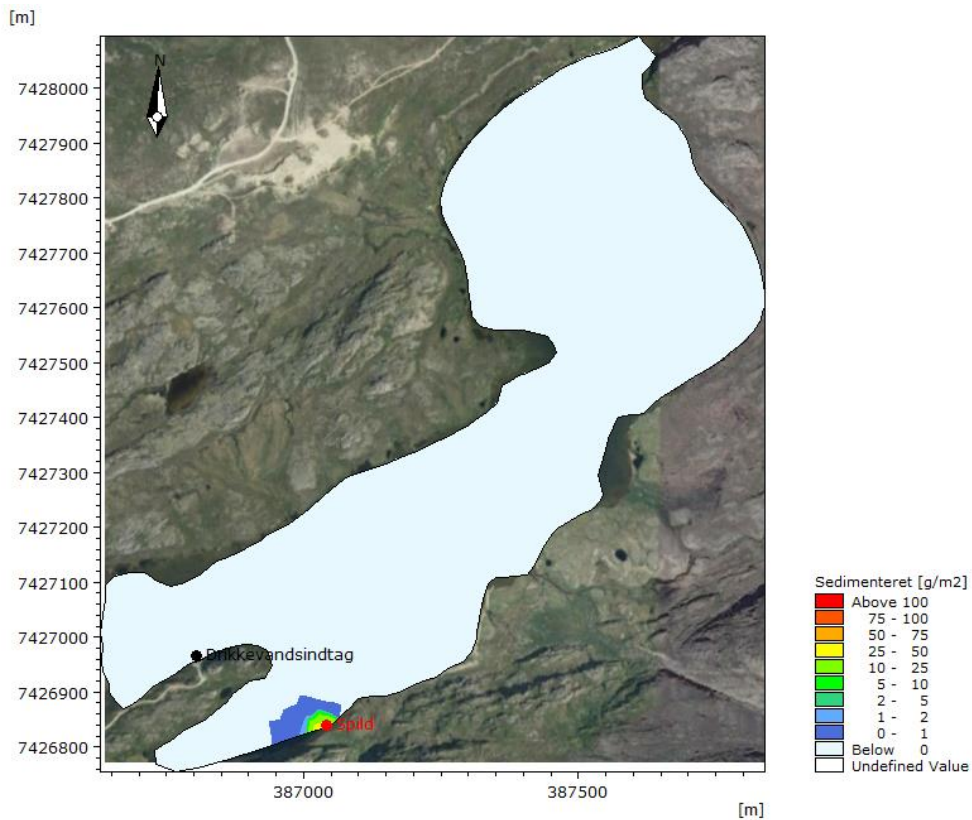


Figur 36: Spild af 20 l hydraulikolie, hydrodynamisk scenarie 3 vind fra SSO. Aflejret dieselolie (øverst) samt transporttid før dieselolie aflejres (nederst). Baggrund fra Google Earth Image © 2020 Maxar Technologies, Asiaq, Terra Metrics

Spild af 20 l hydraulikolie, hydrodynamisk scenarie 3 vind fra SO

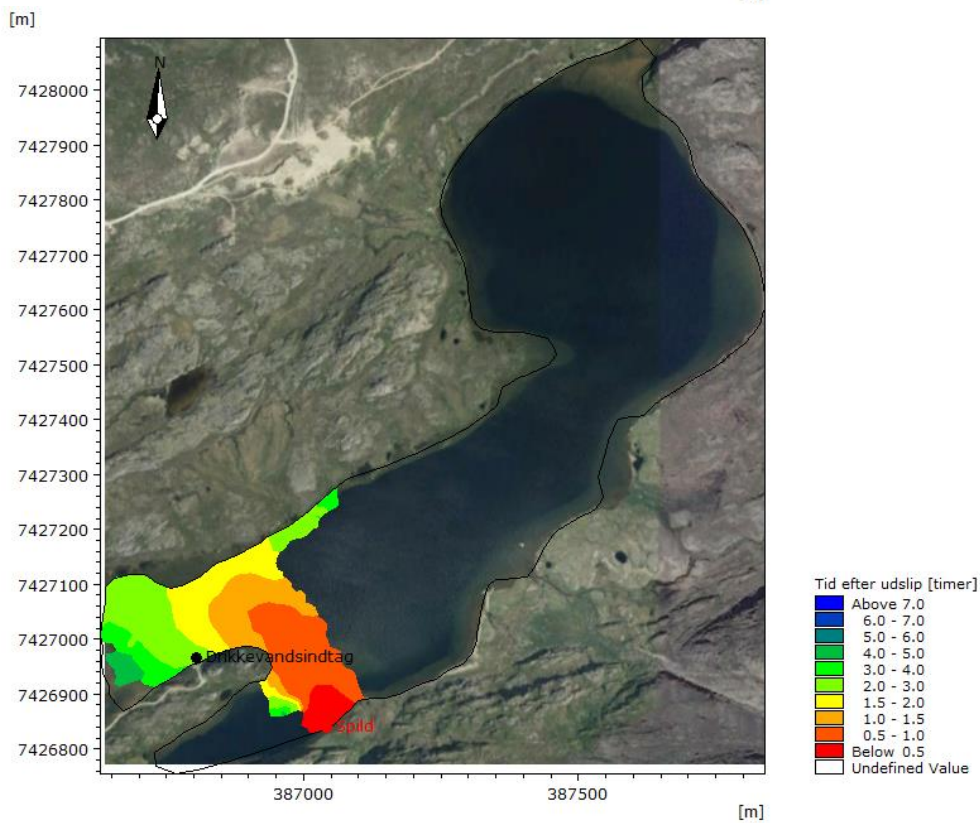
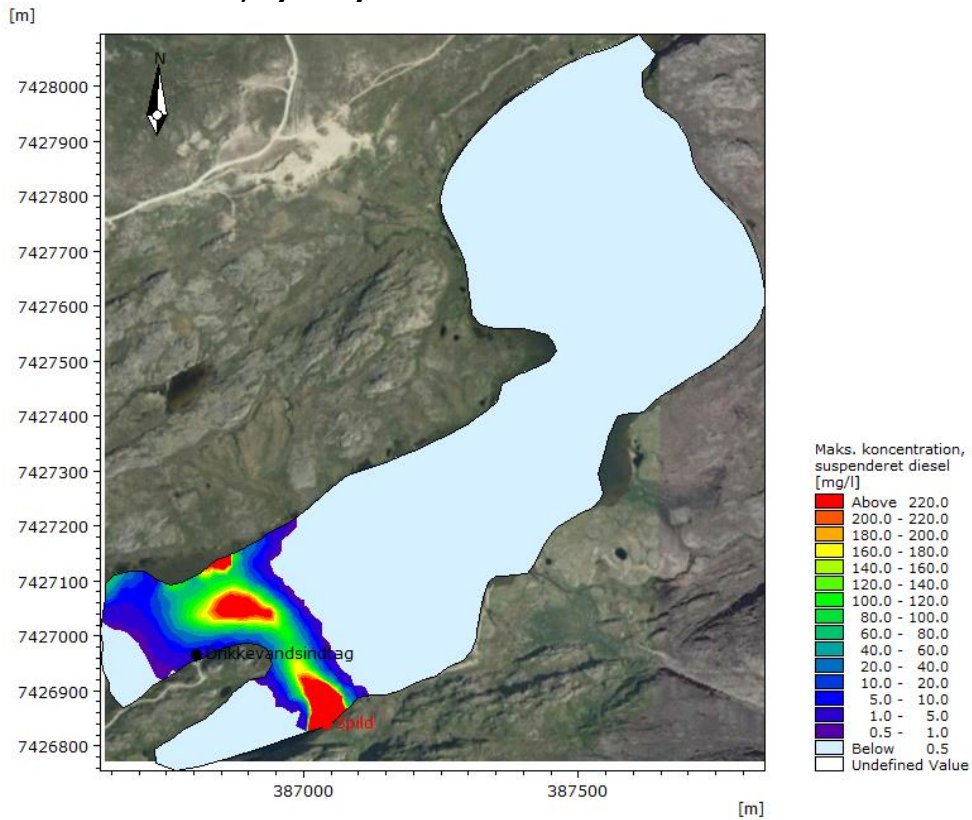


Figur 37: Spild 20 l hydraulikolie, hydrodynamisk scenarie 2 vind fra SO. Maksimale koncentrationer og udbredelse (øverst) og transporttid for dieselolie i suspension (nederst). Baggrund fra Google Earth Image © 2020 Maxar Technologies, Asiaq, Terra Metrics

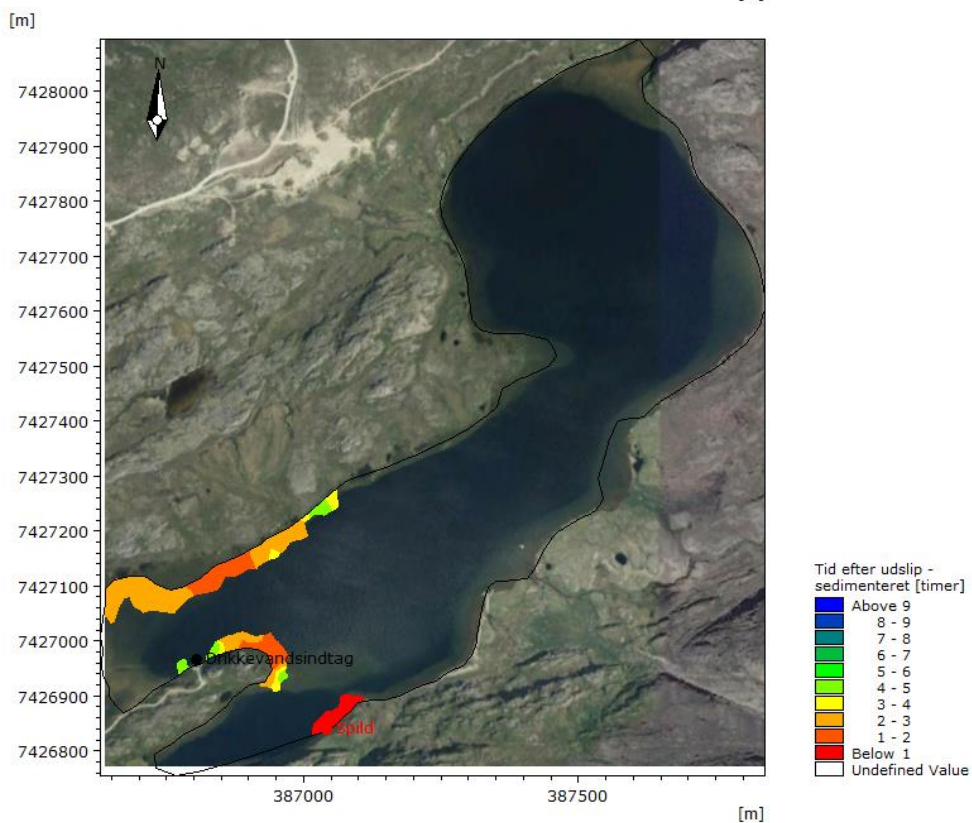
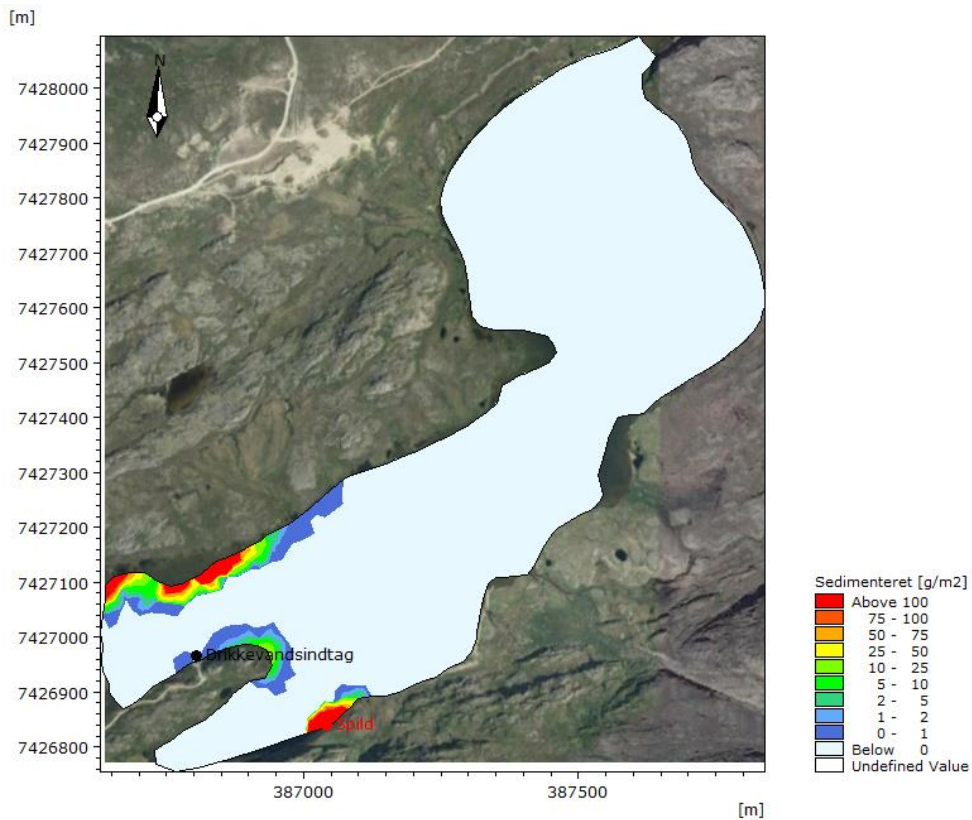


Figur 38: Spild af 20 l hydraulikolie, hydrodynamisk scenarie 3 vind fra SO. Aflejret dieselolie (*øverst*) samt transporttid før dieselolie aflejres (*nederst*). Baggrund fra Google Earth Image © 2020 Maxar Technologies, Asiaq, Terra Metrics

Spild af 3000 l dieselolie, hydrodynamisk scenarie 2 vind fra SSO

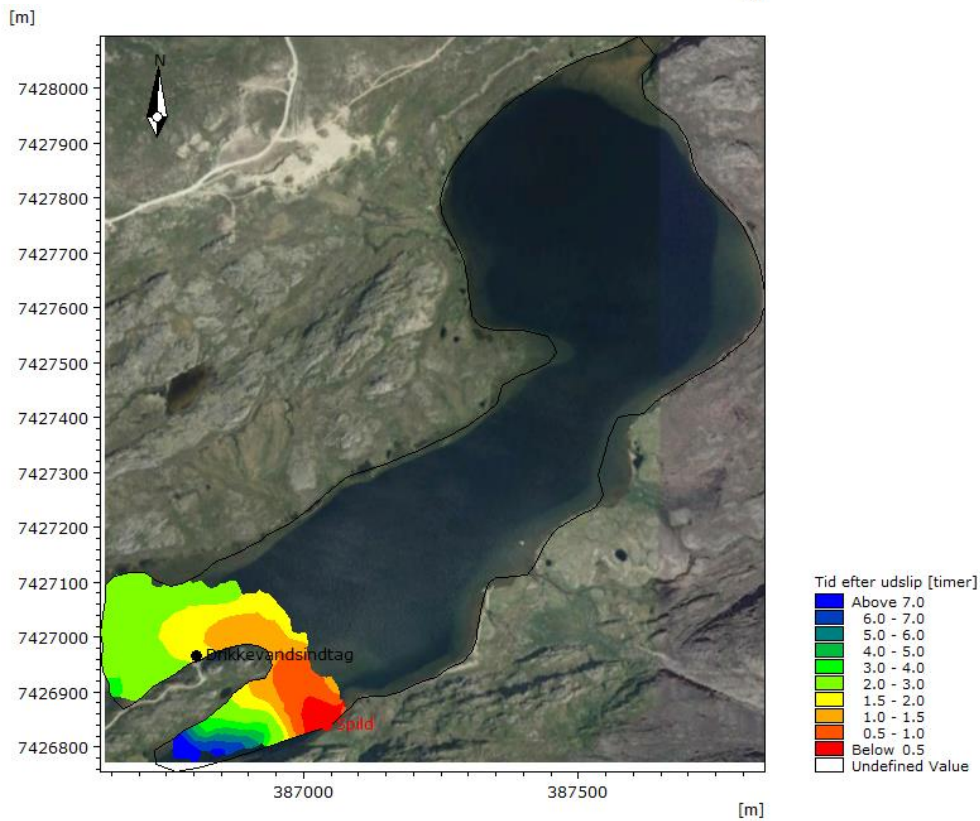
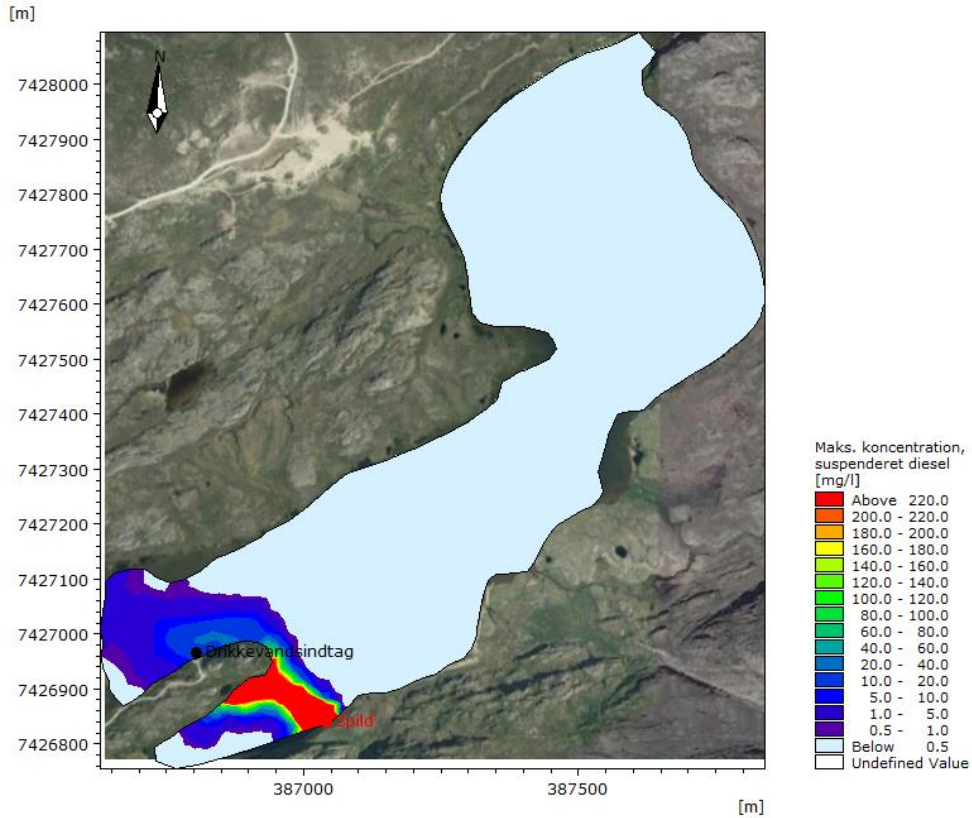


Figur 39: Spild 3000 l dieselolie, hydrodynamisk scenarie 2 vind fra SSO. Maksimale koncentrationer og udbredelse (øverst) og transporttid for dieselolie i suspension (nederst). Baggrund fra Google Earth Image © 2020 Maxar Technologies, Asiaq, Terra Metrics

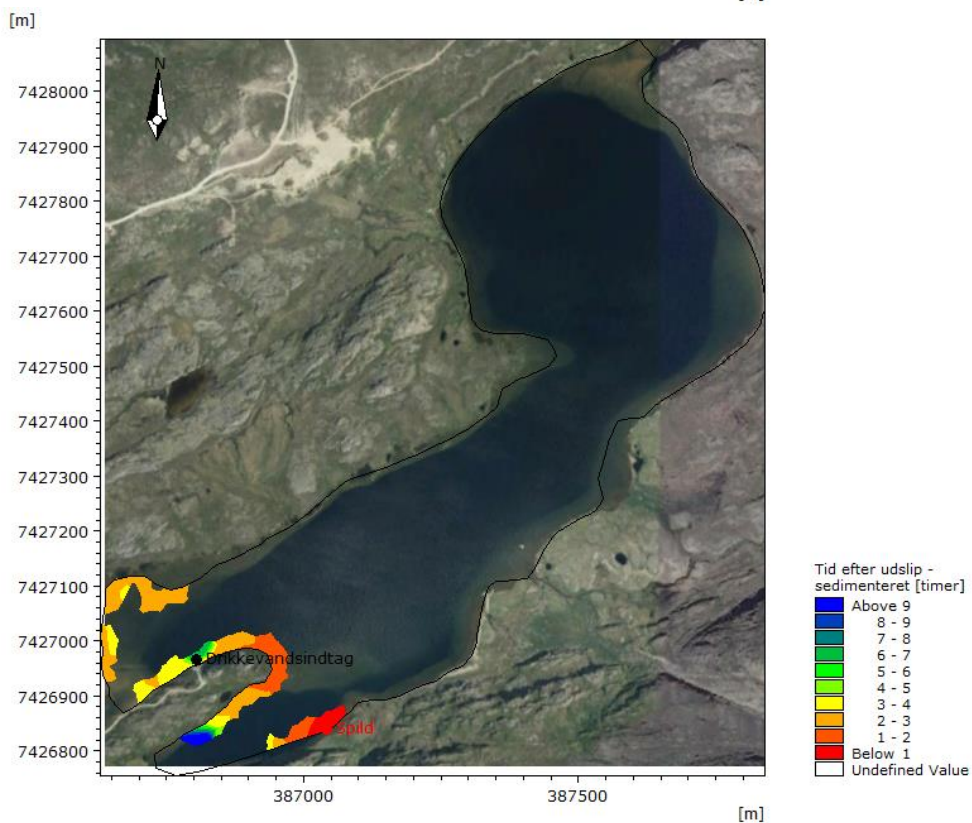
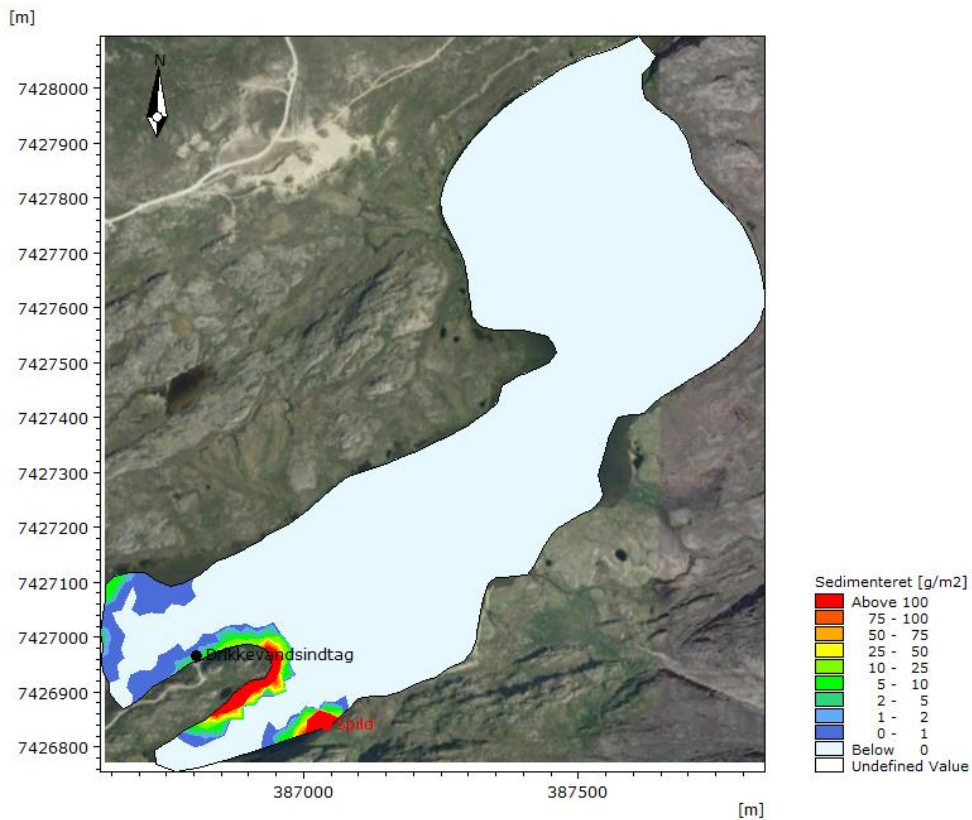


Figur 40: Spild 3000 l dieselolie, hydrodynamisk scenarie 2 vind fra SSO. Aflejret dieselolie (øverst) samt transporttid før dieselolie aflejres (nederst). Baggrund fra Google Earth Image © 2020 Maxar Technologies, Asiaq, Terra Metrics

Spild af 3000 l dieselolie, hydrodynamisk scenarie 2 vind fra SO

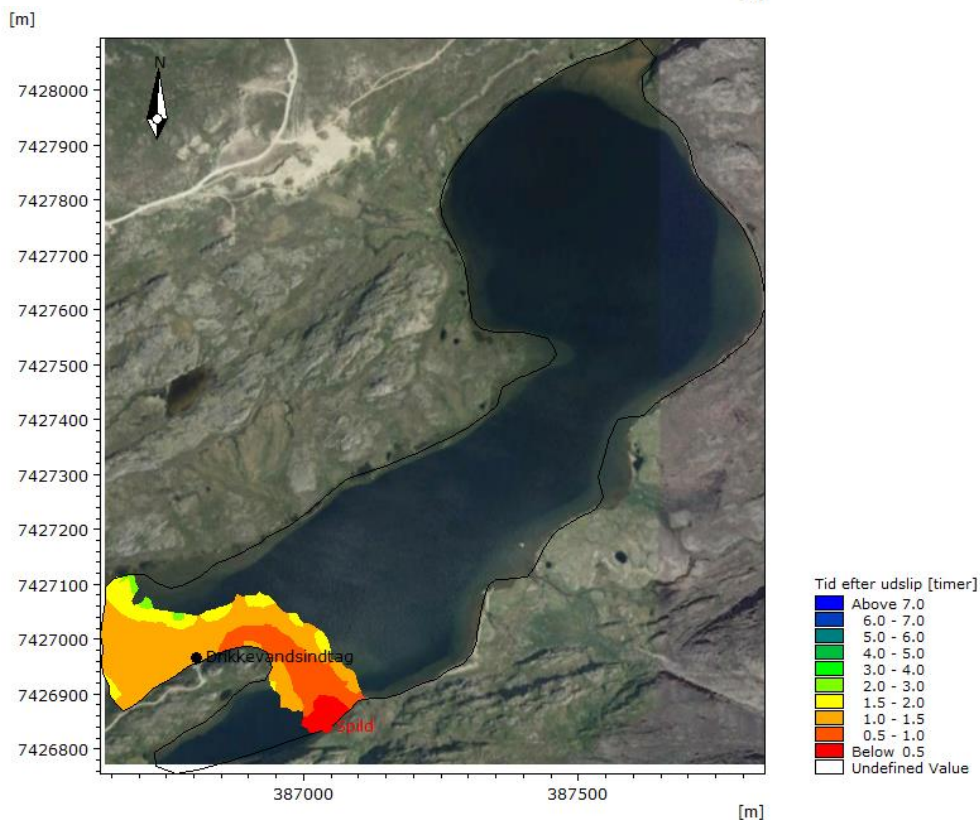
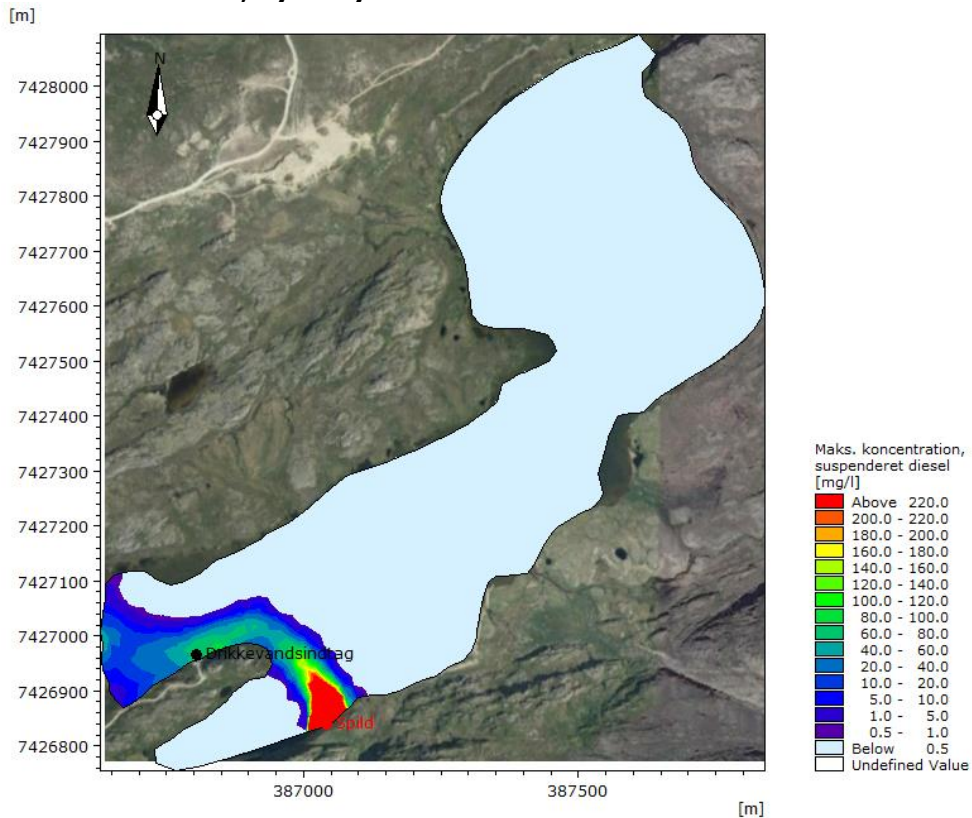


Figur 41: Spild 3000 l dieselolie, hydrodynamisk scenarie 2 vind fra SO. Maksimale koncentrationer og udbredelse (øverst) og transporttid for dieselolie i suspension (nederst). Baggrund fra Google Earth Image © 2020 Maxar Technologies, Asiaq, Terra Metrics

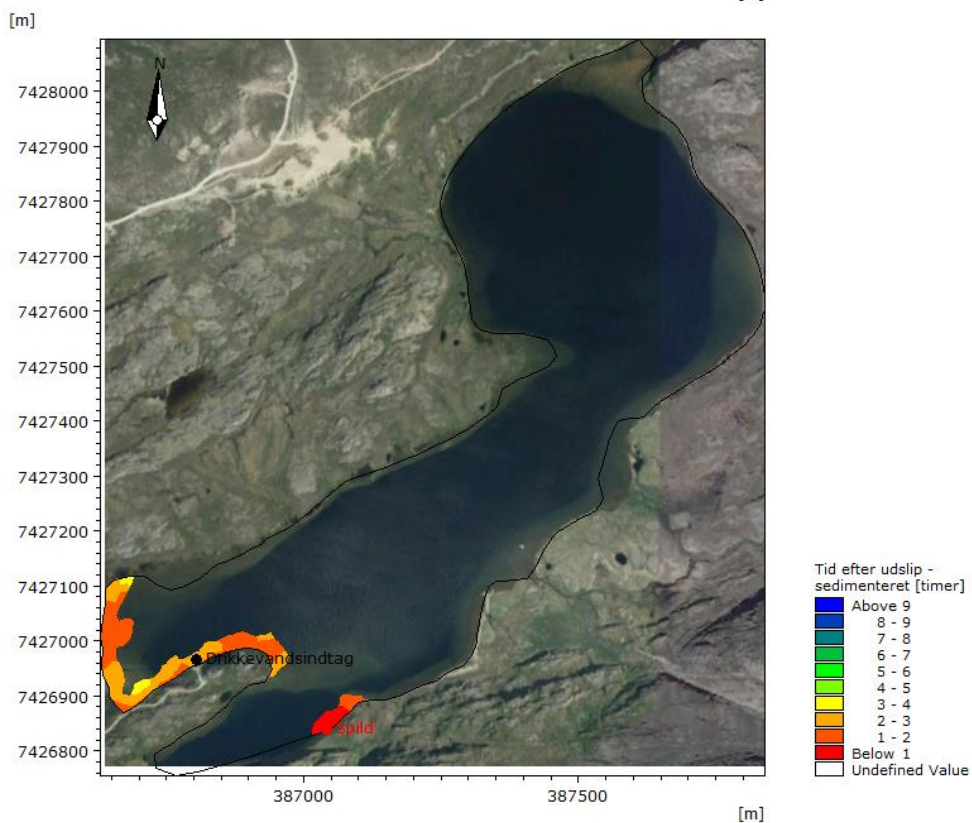
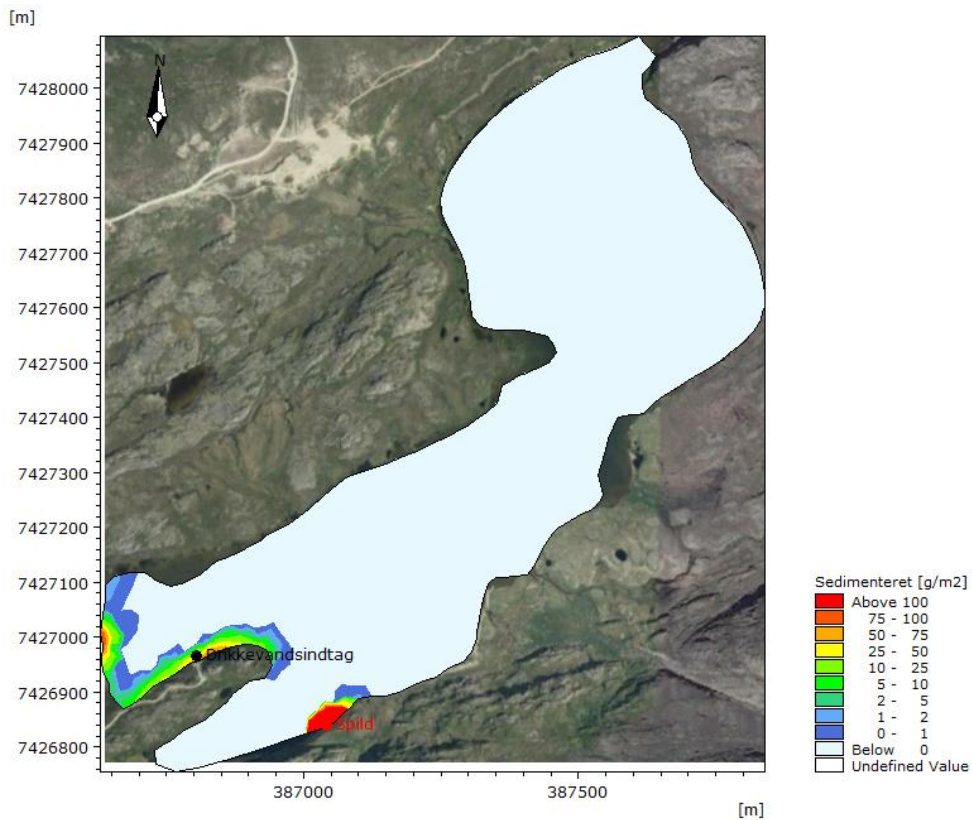


Figur 42: Spild 3000 l dieselolie, hydrodynamisk scenarie 2 vind fra SO. Aflejret dieselolie (øverst) samt transporttid før dieselolie aflejres (nederst). Baggrund fra Google Earth Image © 2020 Maxar Technologies, Asiaq, Terra Metrics

Spild af 3000 l dieselolie, hydrodynamisk scenarie 3 vind fra S

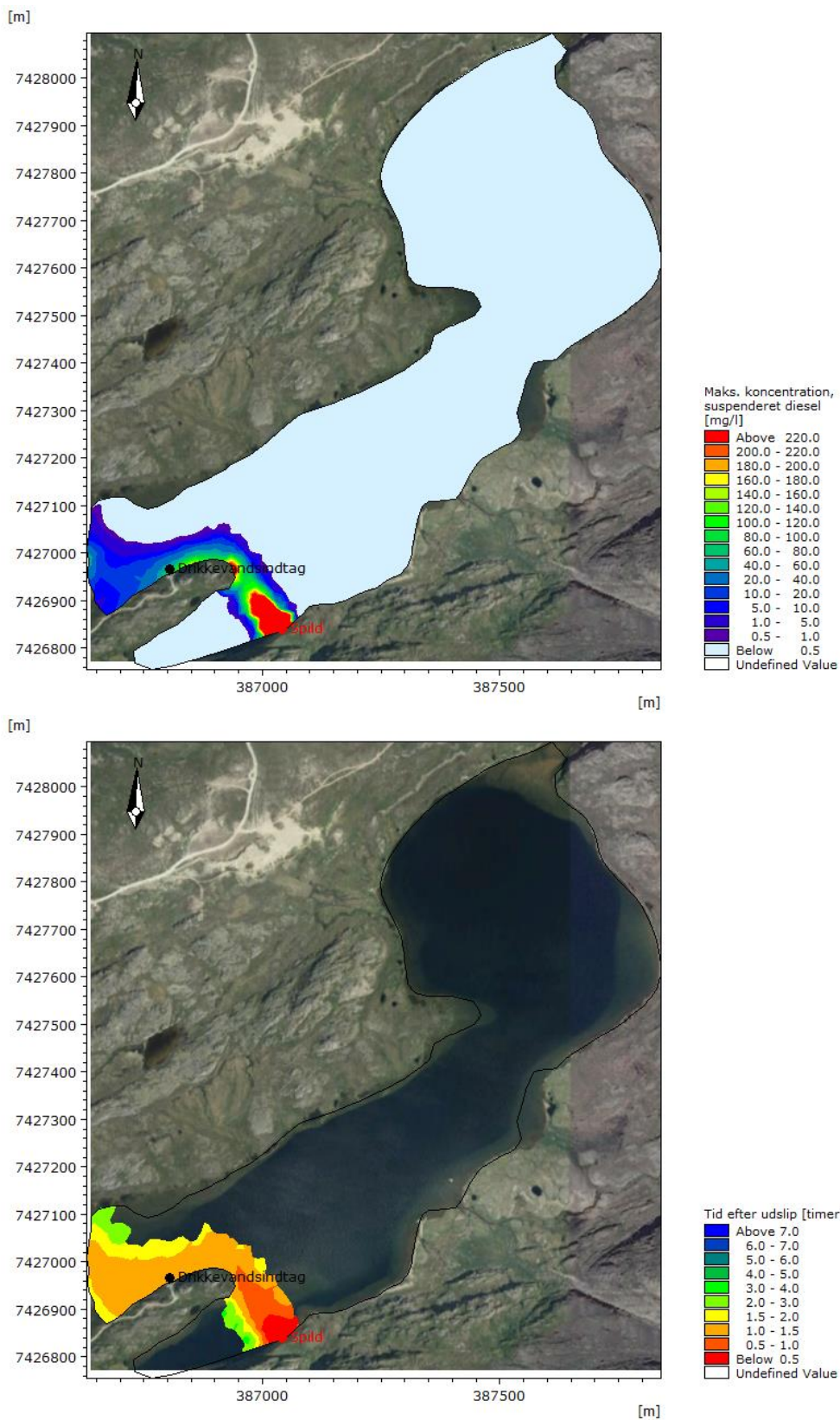


Figur -43: Spild 3000 l dieselolie, hydrodynamisk scenarie 3 vind fra S. Maksimale koncentrationer og udbredelse (øverst) og transporttid for dieselolie i suspension (nederst). Baggrund fra Google Earth Image © 2020 Maxar Technologies, Asiaq, Terra Metrics

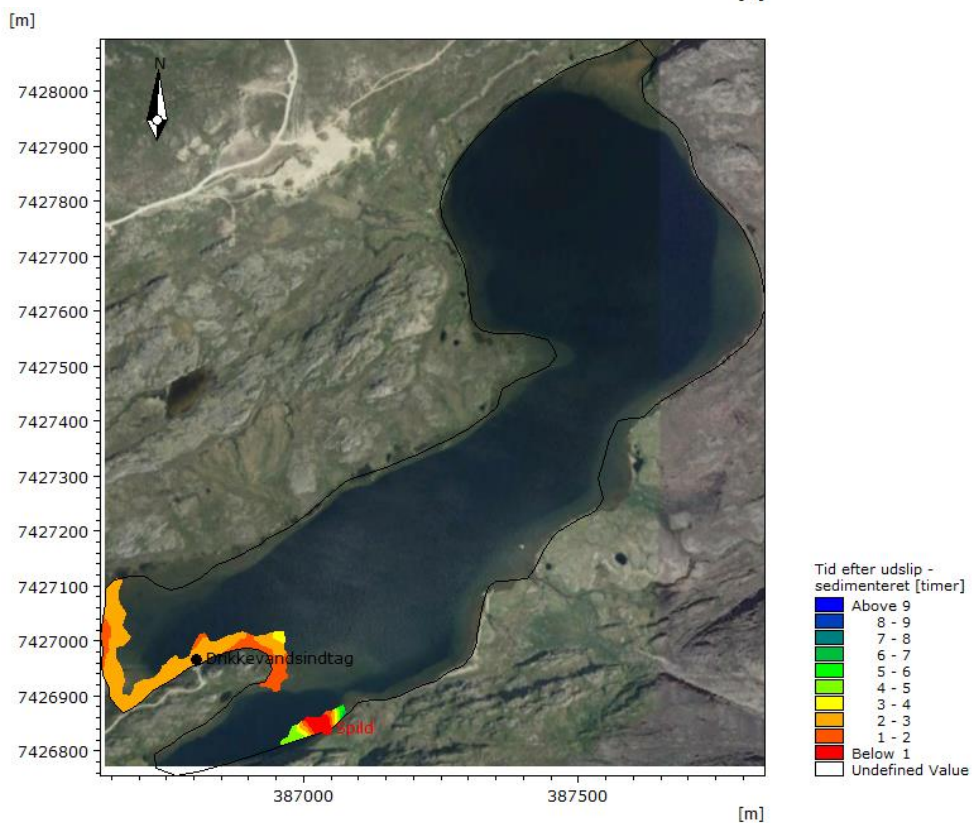
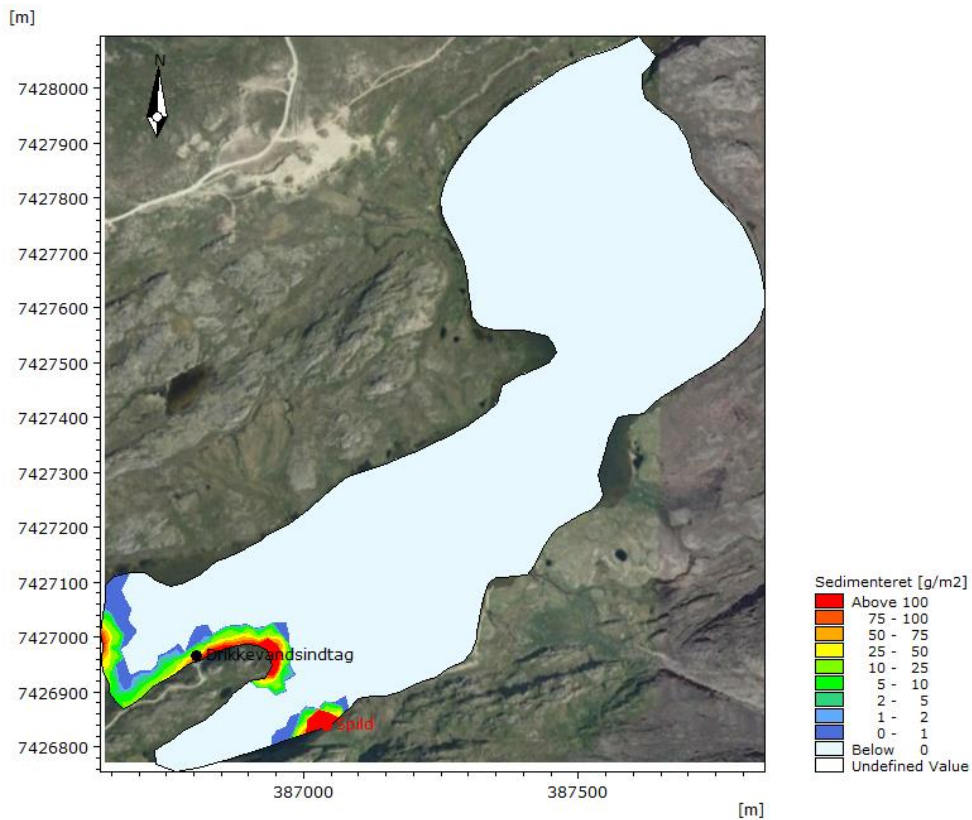


Figur 44: Spild 3000 l dieselolie, hydrodynamisk scenarie 3 vind fra S. Aflejret dieselolie (øverst) samt transporttid før dieselolie aflejres (nederst). Baggrund fra Google Earth Image © 2020 Maxar Technologies, Asiaq, Terra Metrics

Spild af 3000 l dieselolie, hydrodynamisk scenarie 3 vind fra SSO

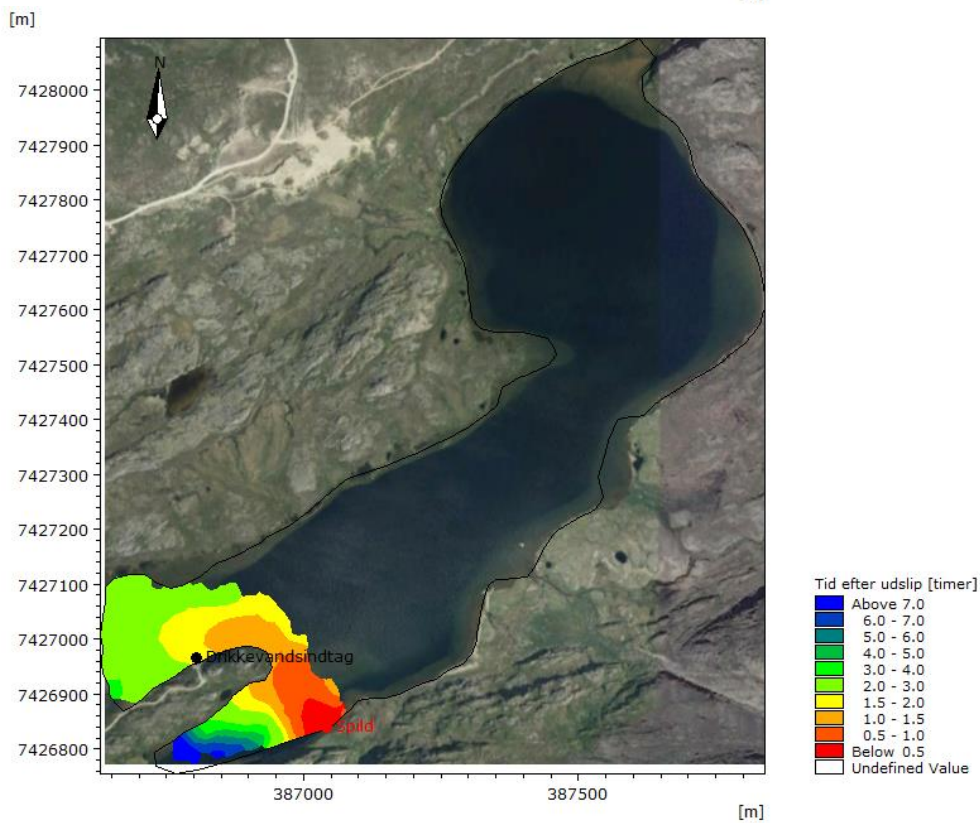
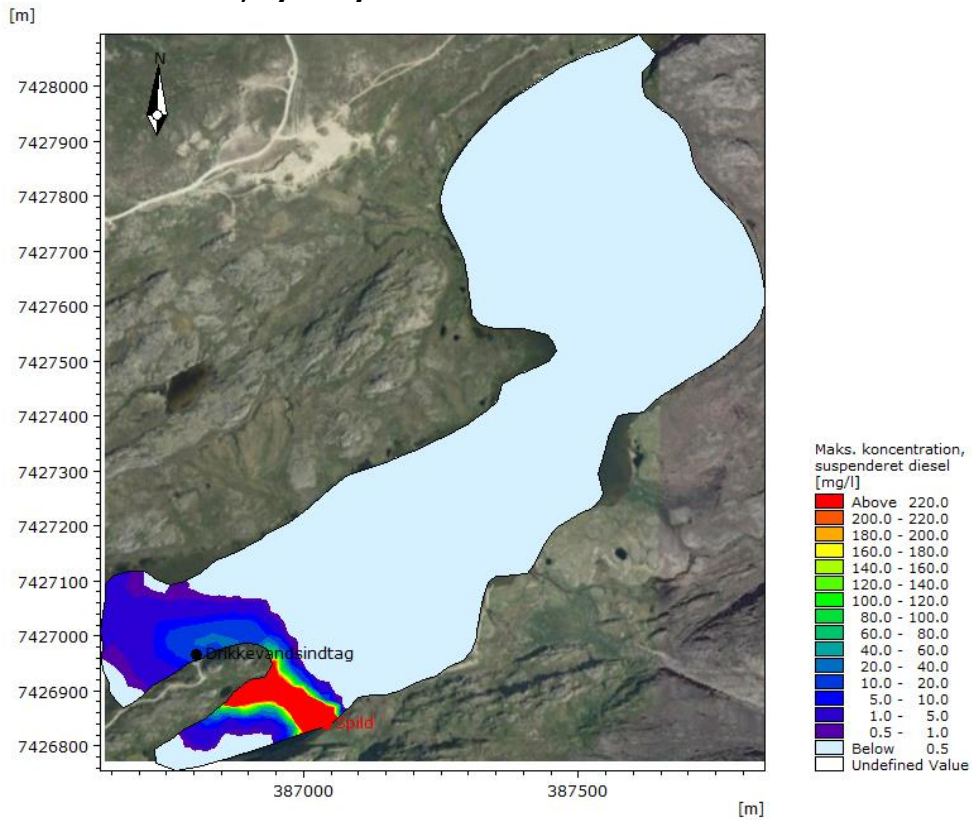


Figur 45: Spild 3000 l dieselolie, hydrodynamisk scenarie 3 vind fra SSO. Maksimale koncentrationer og udbredelse (øverst) og transporttid for dieselolie i suspension (nederst). Baggrund fra Google Earth Image © 2020 Maxar Technologies, Asiaq, Terra Metrics

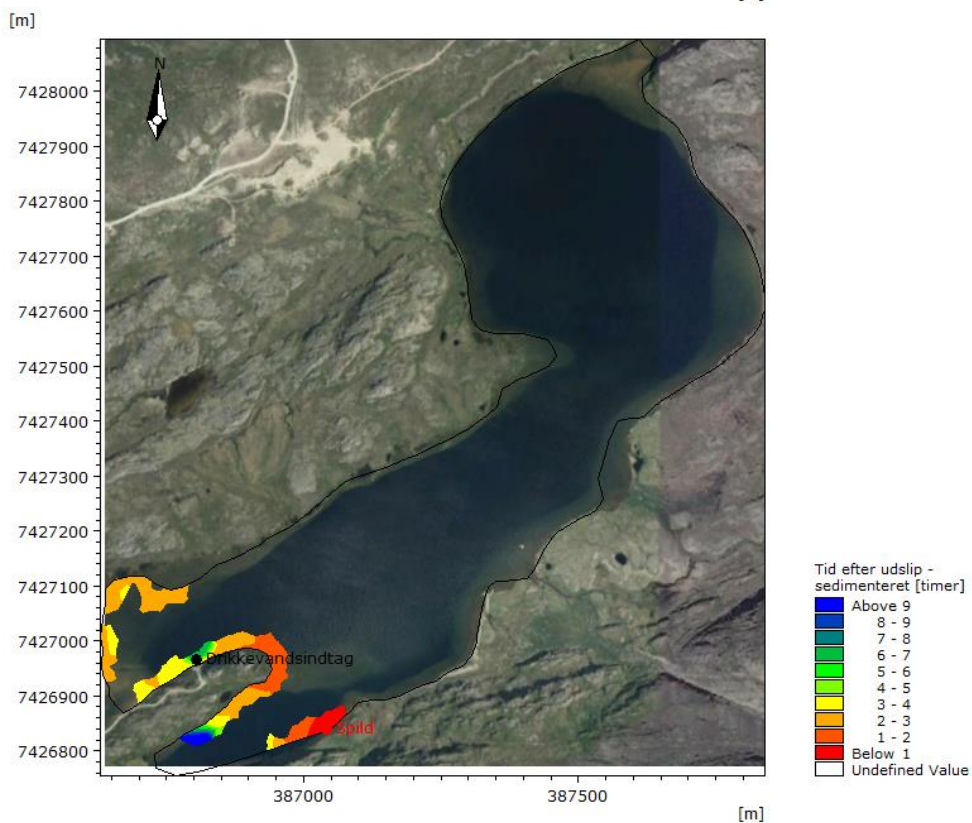
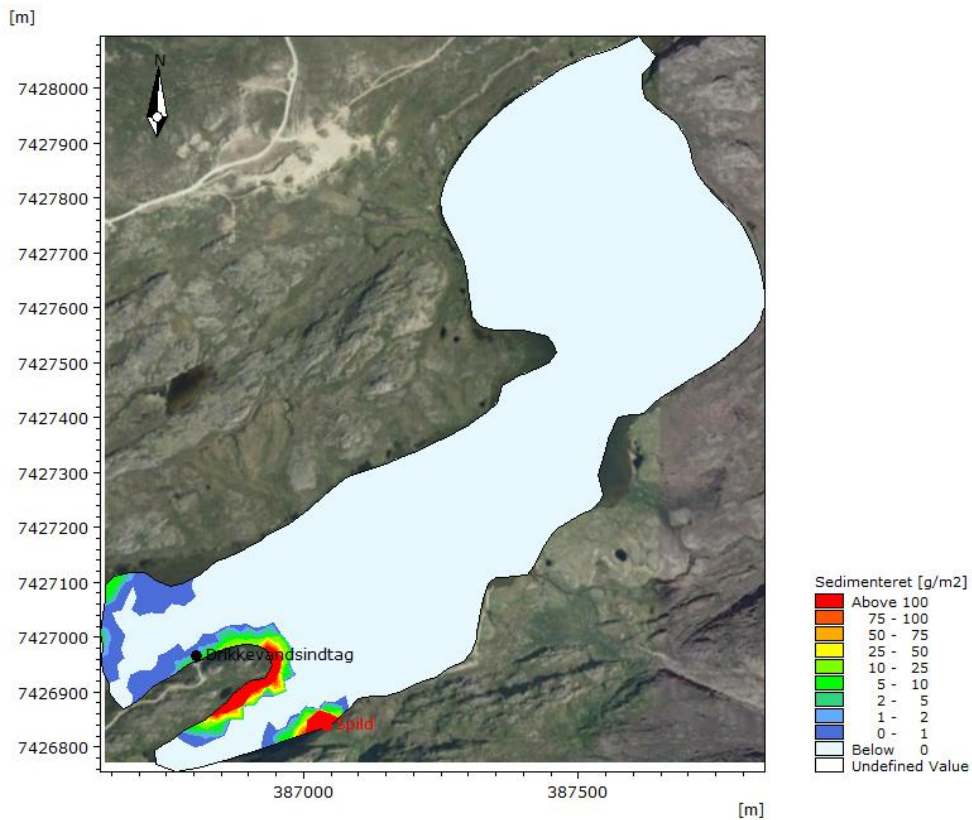


Figur 46: Spild 3000 l dieselolie, hydrodynamisk scenarie 3 vind fra SSO. Aflejret dieselolie (øverst) samt transporttid før dieselolie aflejres (nederst). Baggrund fra Google Earth Image © 2020 Maxar Technologies, Asiaq, Terra Metrics

Spild af 3000 l dieselolie, hydrodynamisk scenarie 3 vind fra SO

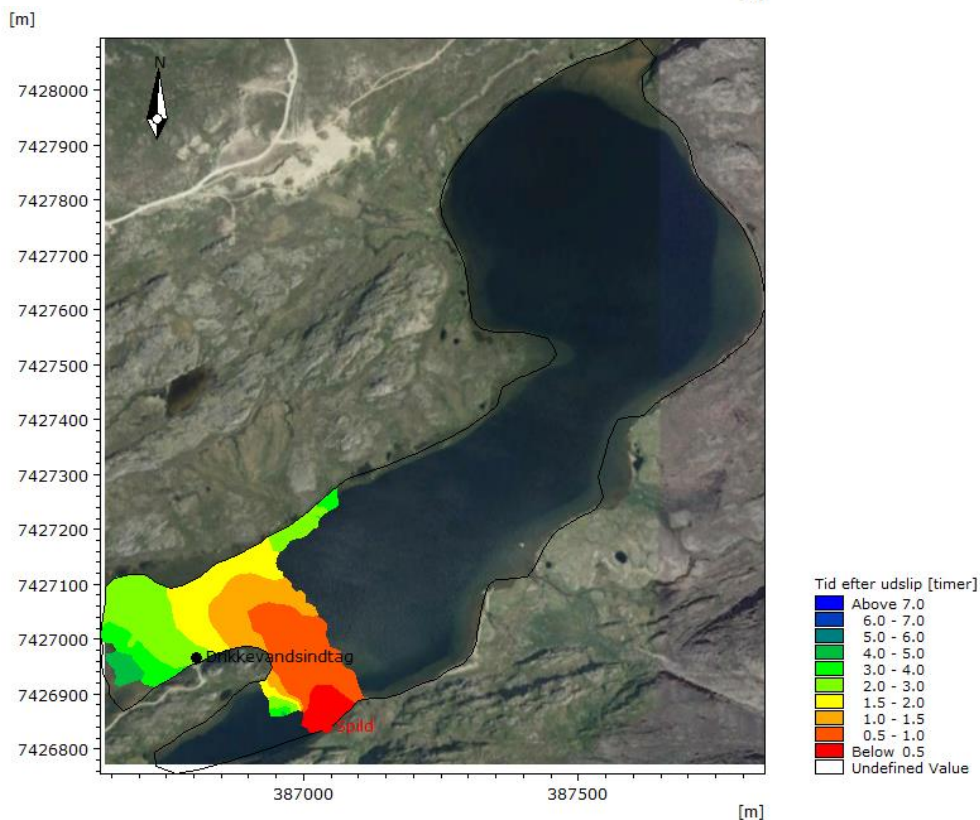
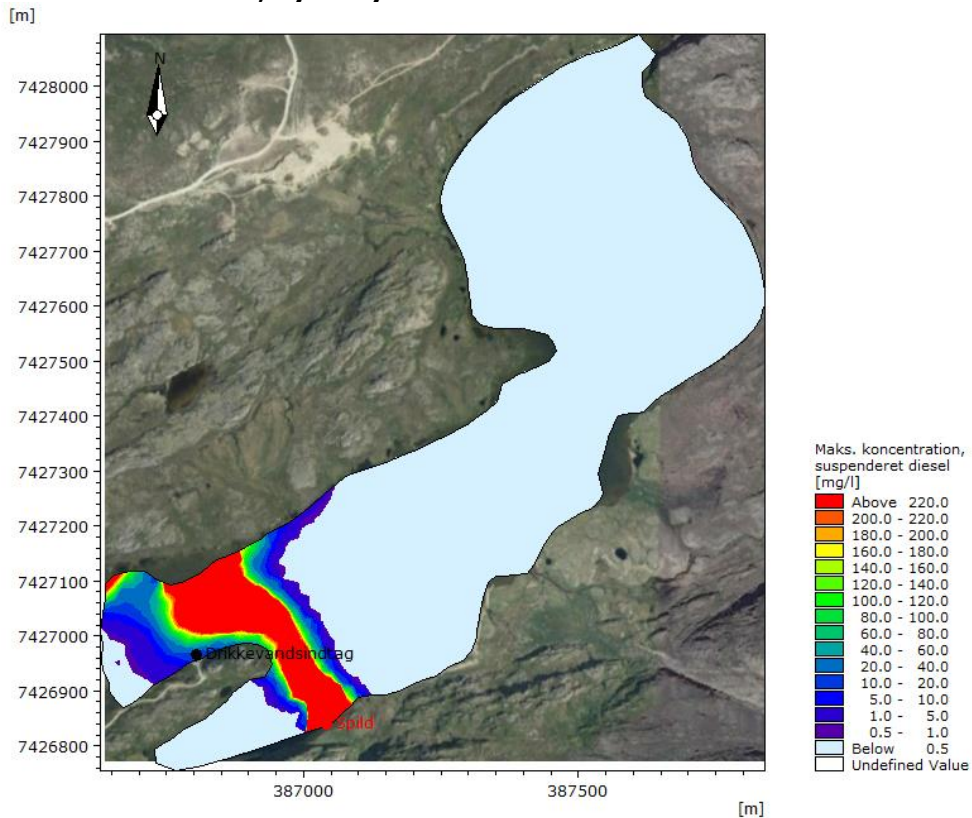


Figur 47: Spild 3000 l dieselolie, hydrodynamisk scenarie 3 vind fra SO. Maksimale koncentrationer og udbredelse (øverst) og transporttid for dieselolie i suspension (nederst). Baggrund fra Google Earth Image © 2020 Maxar Technologies, Asiaq, Terra Metrics

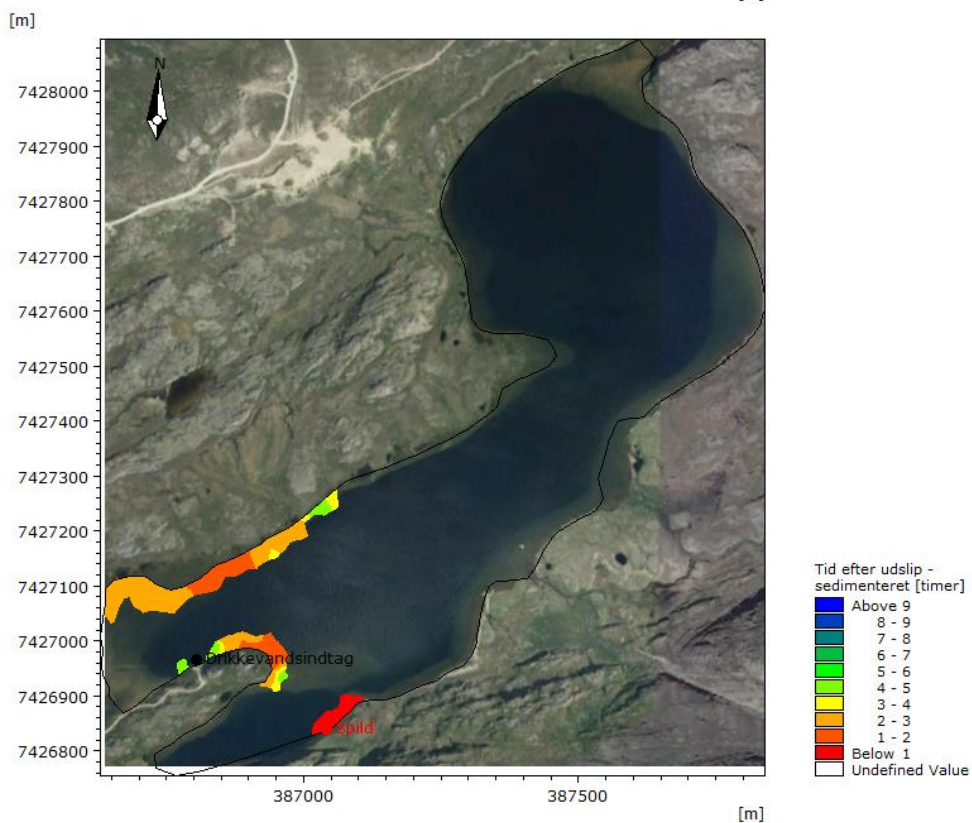
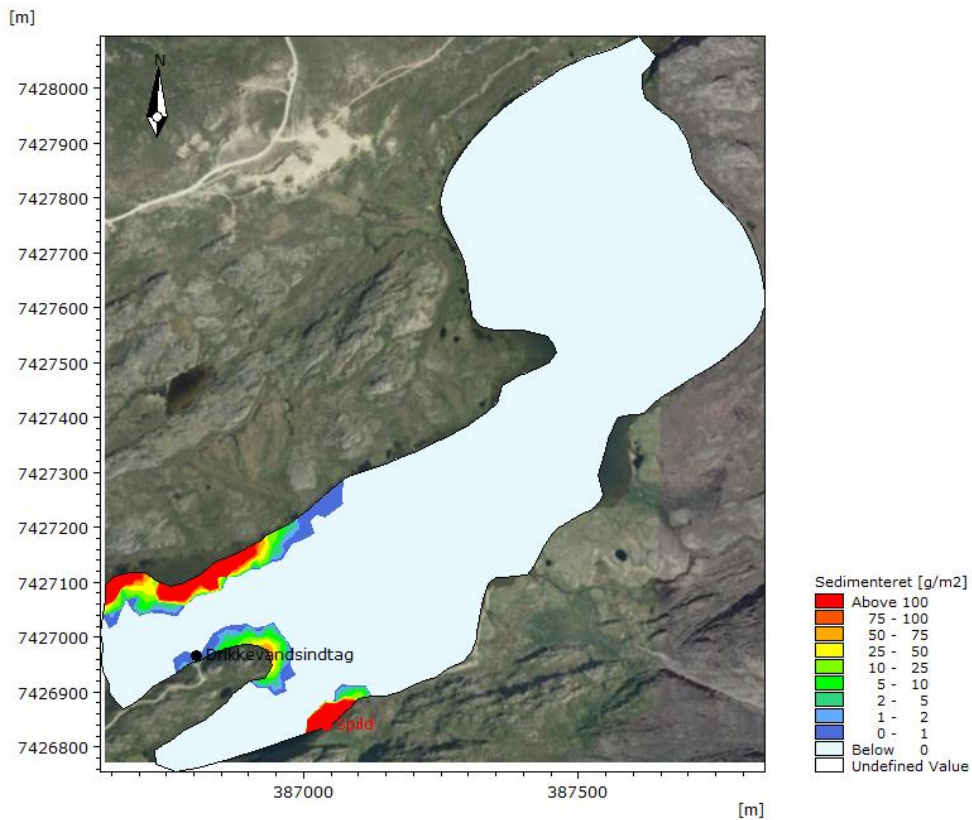


Figur 48: Spild 3000 l dieselolie, hydrodynamisk scenarie 3 vind fra SO. Aflejret dieselolie (øverst) samt transporttid før dieselolie aflejres (nederst). Baggrund fra Google Earth Image © 2020 Maxar Technologies, Asiaq, Terra Metrics

Spild af 12400 l dieselolie, hydrodynamisk scenarie 2 vind fra SSO

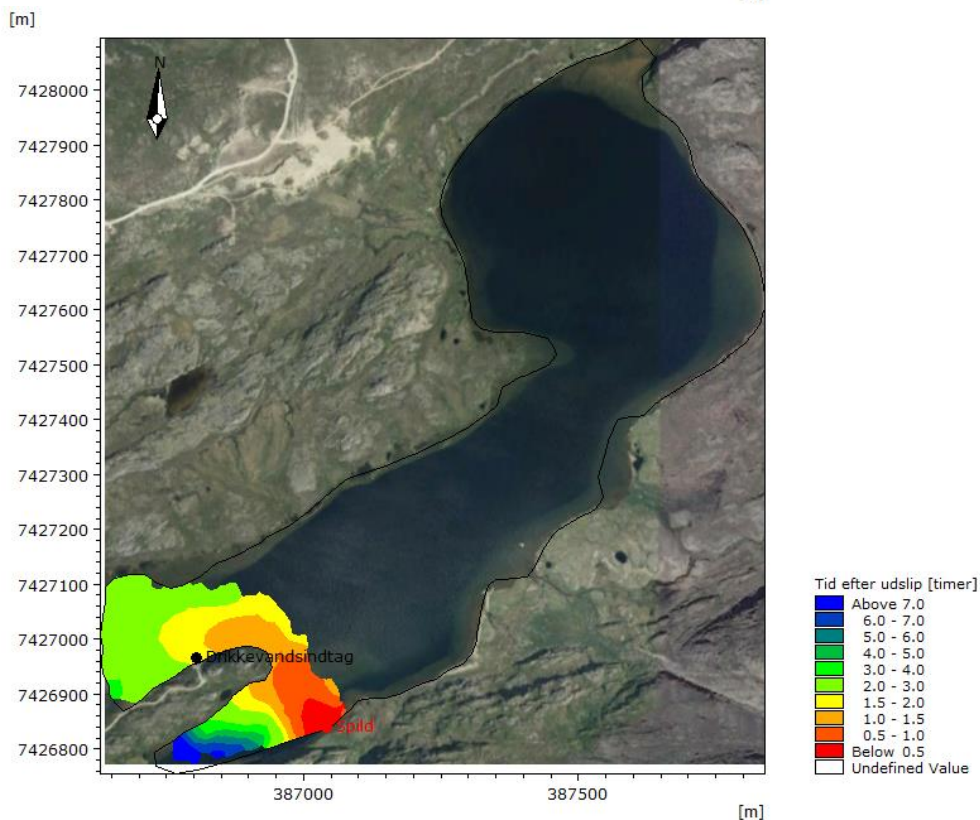
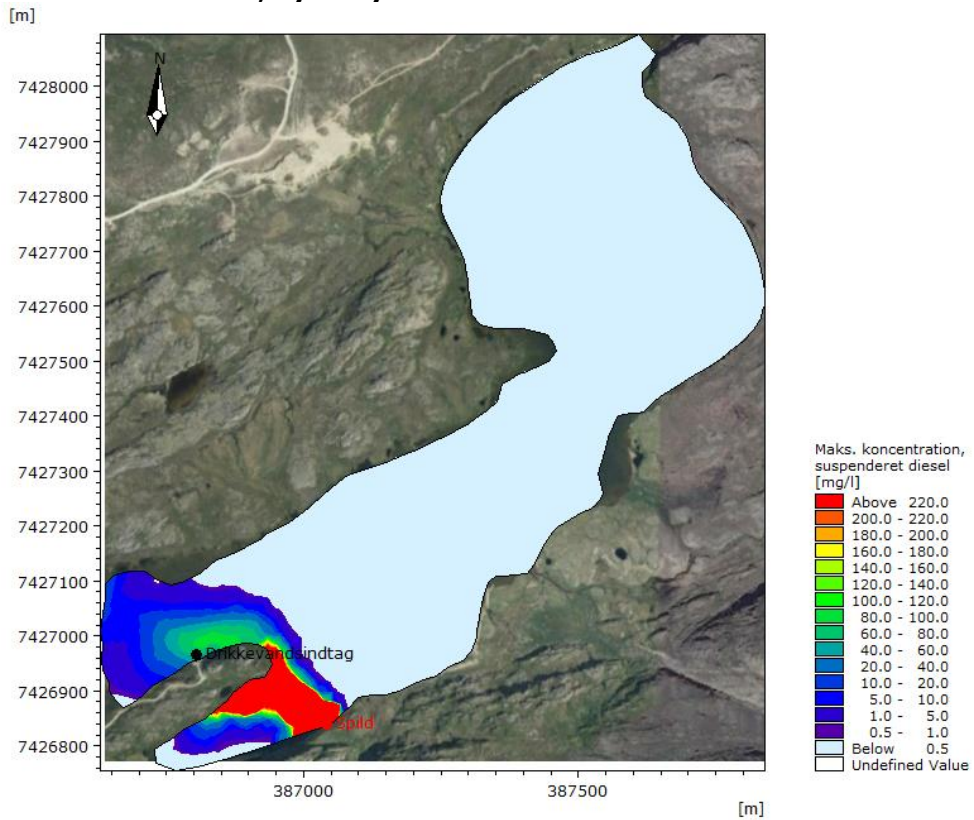


Figur 49: Spild 12400 l dieselolie, hydrodynamisk scenarie 2 vind fra SSO. Maksimale koncentrationer og udbredelse (øverst) og transporttid for dieselolie i suspension (nederst). Baggrund fra Google Earth Image © 2020 Maxar Technologies, Asiaq, Terra Metrics

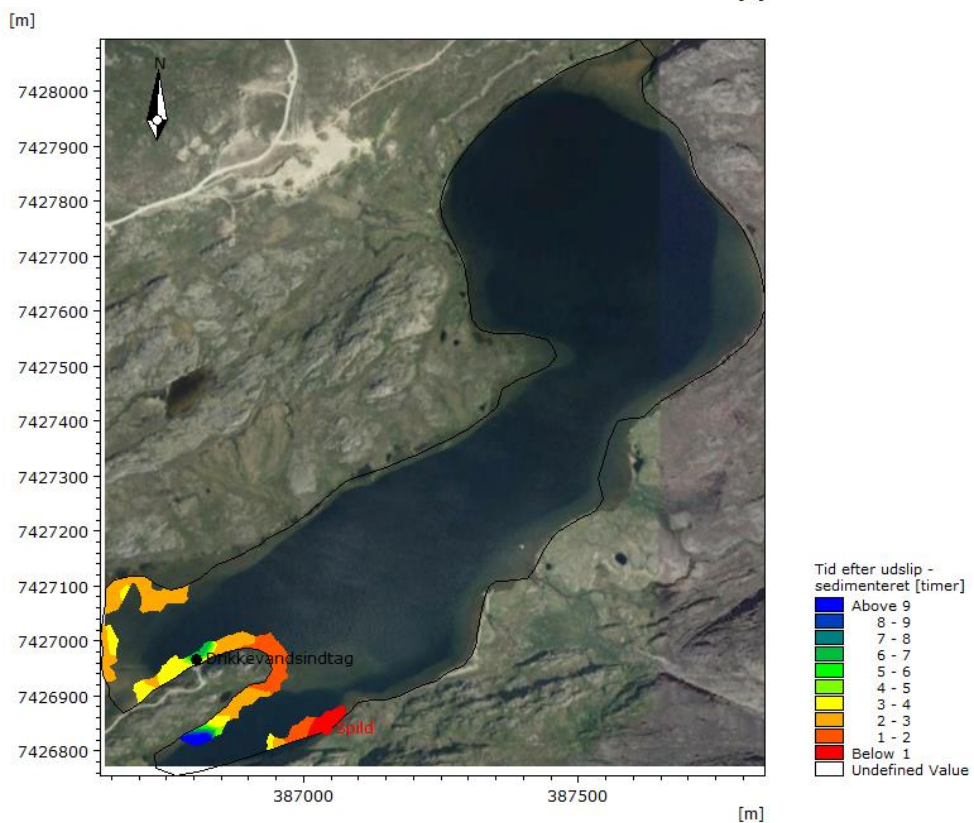
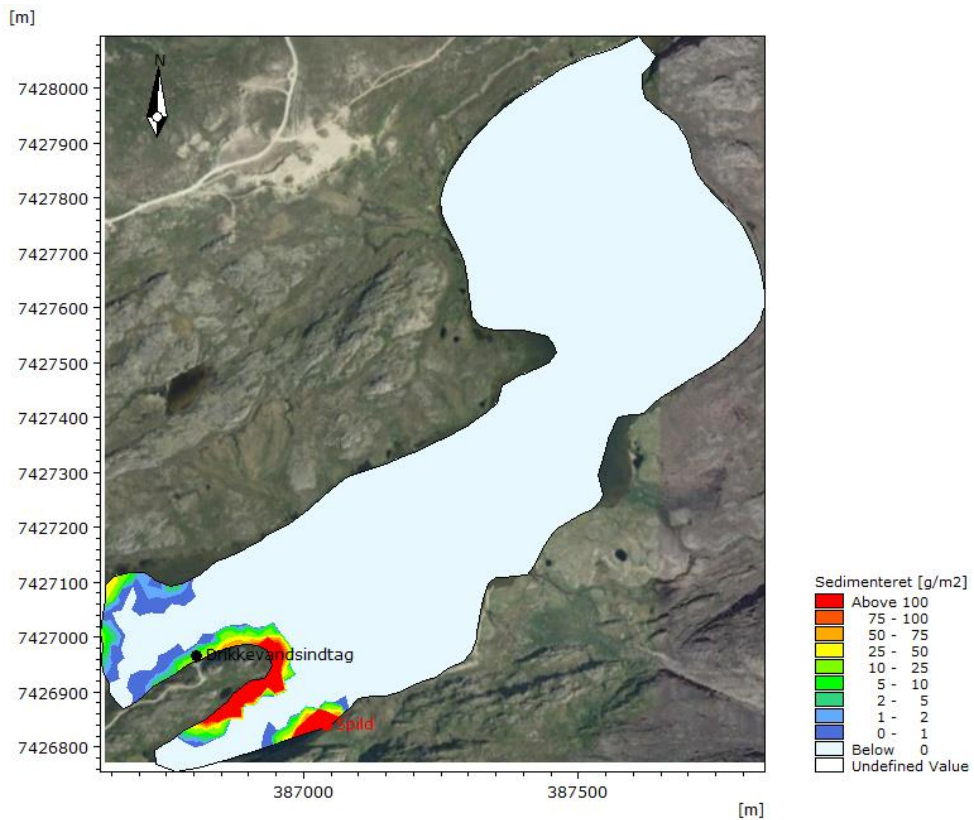


Figur 50: Spild 12400 i dieselolie, hydrodynamisk scenarie 2 vind fra SSO. Aflejret dieselolie (øverst) samt transporttid før dieselolie aflejres (nederst). Baggrund fra Google Earth Image © 2020 Maxar Technologies, Asiaq, Terra Metrics

Spild af 12400 l dieselolie, hydrodynamisk scenarie 2 vind fra SO

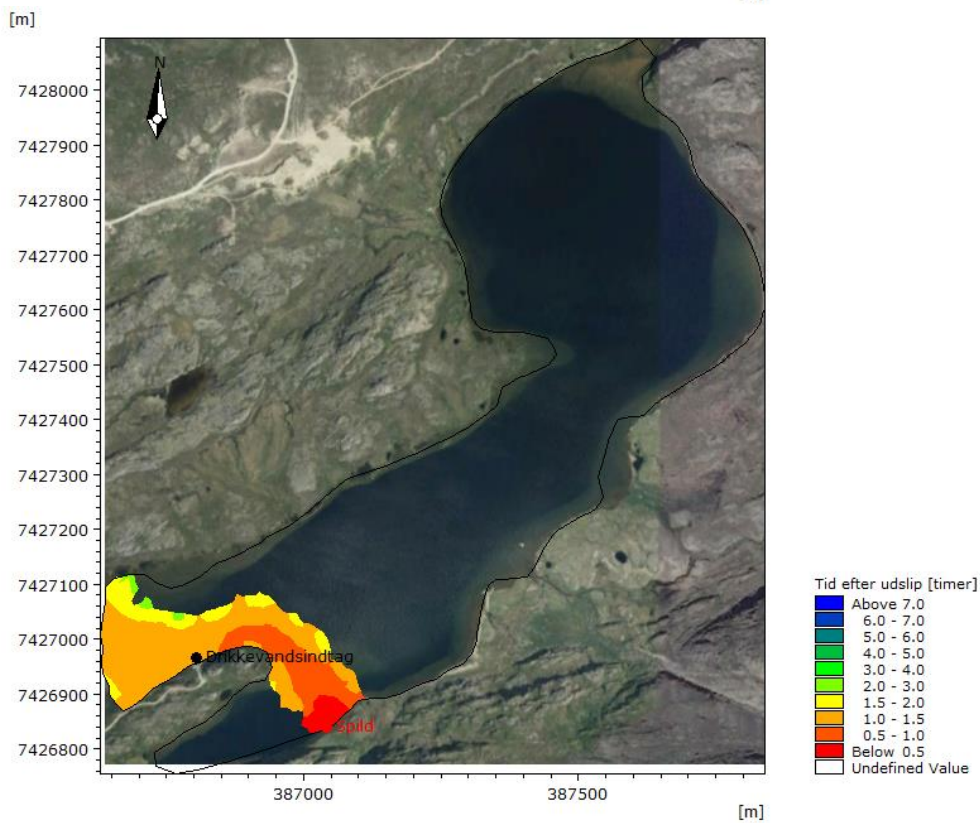
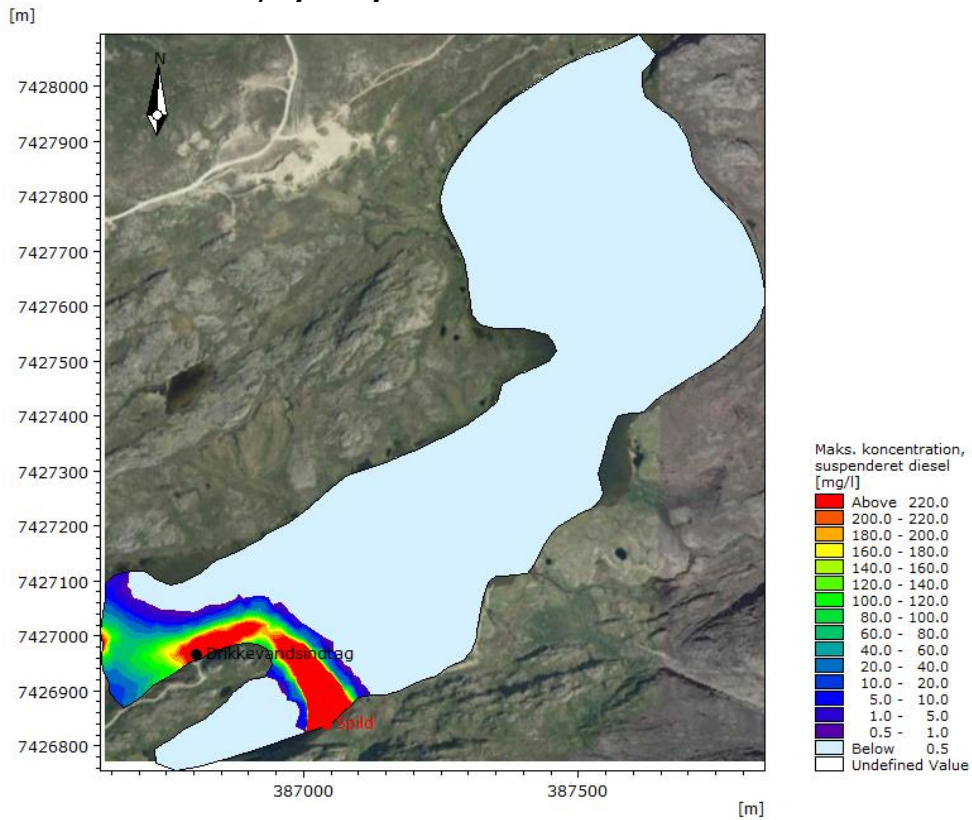


Figur 51: Spild 12400 l dieselolie, hydrodynamisk scenarie 2 vind fra SO. Maksimale koncentrationer og udbredelse (øverst) og transporttid for dieselolie i suspension (nederst). Baggrund fra Google Earth Image © 2020 Maxar Technologies, Asiaq, Terra Metrics

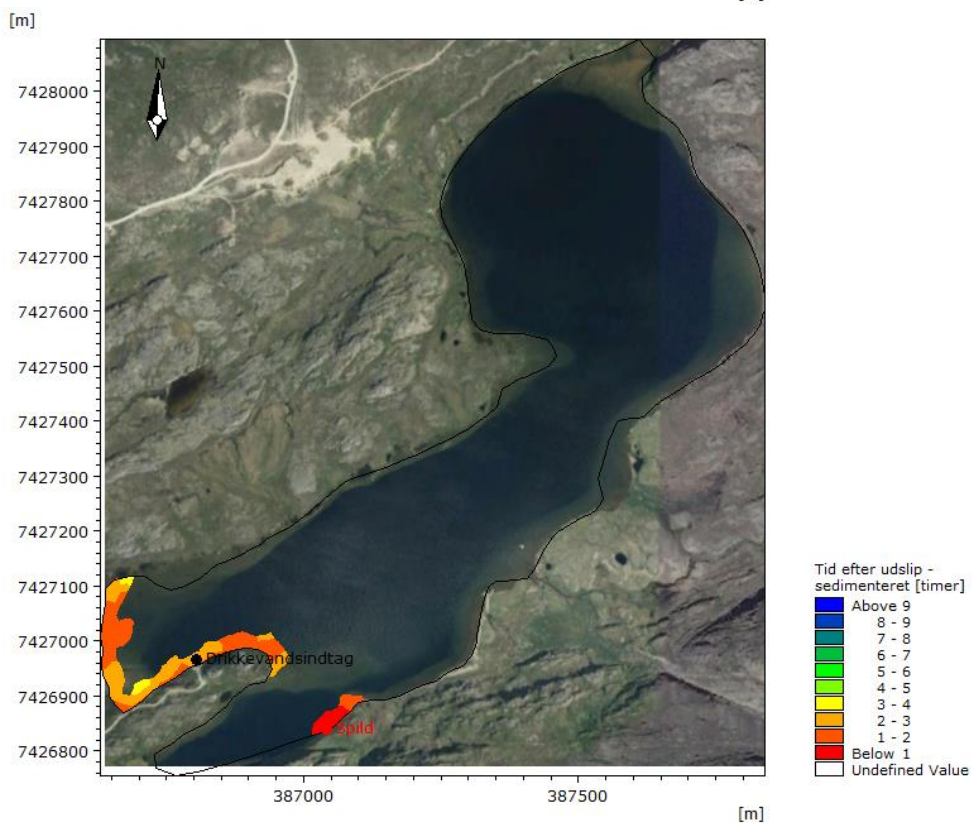
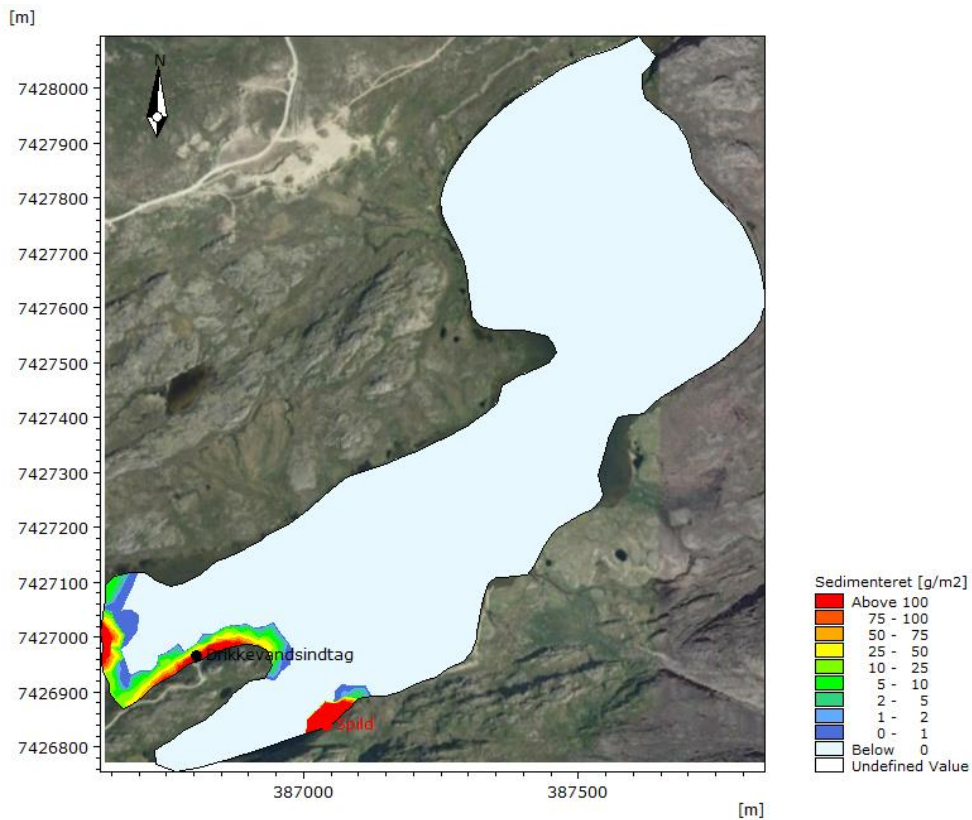


Figur 52: Spild 12400 l dieselolie, hydrodynamisk scenarie 2 vind fra SO. Aflejret dieselolie (øverst) samt transporttid før dieselolie aflejres (nederst). Baggrund fra Google Earth Image © 2020 Maxar Technologies, Asiaq, Terra Metrics

Spild af 12400 l dieselolie, hydrodynamisk scenarie 3 vind fra S

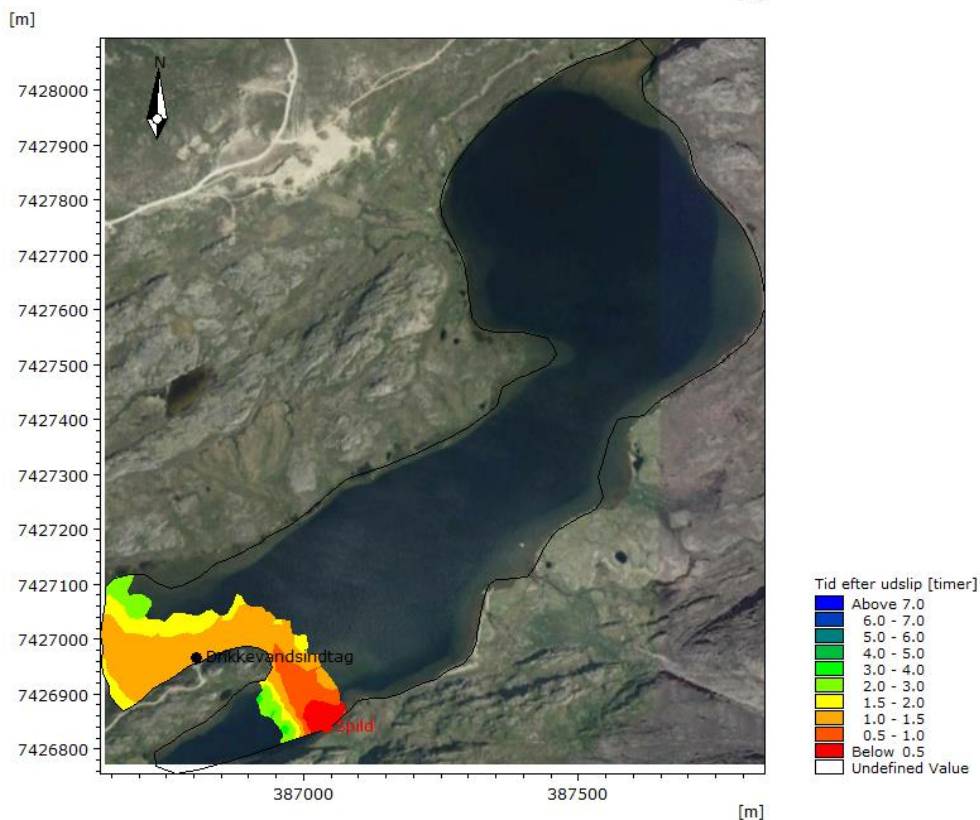
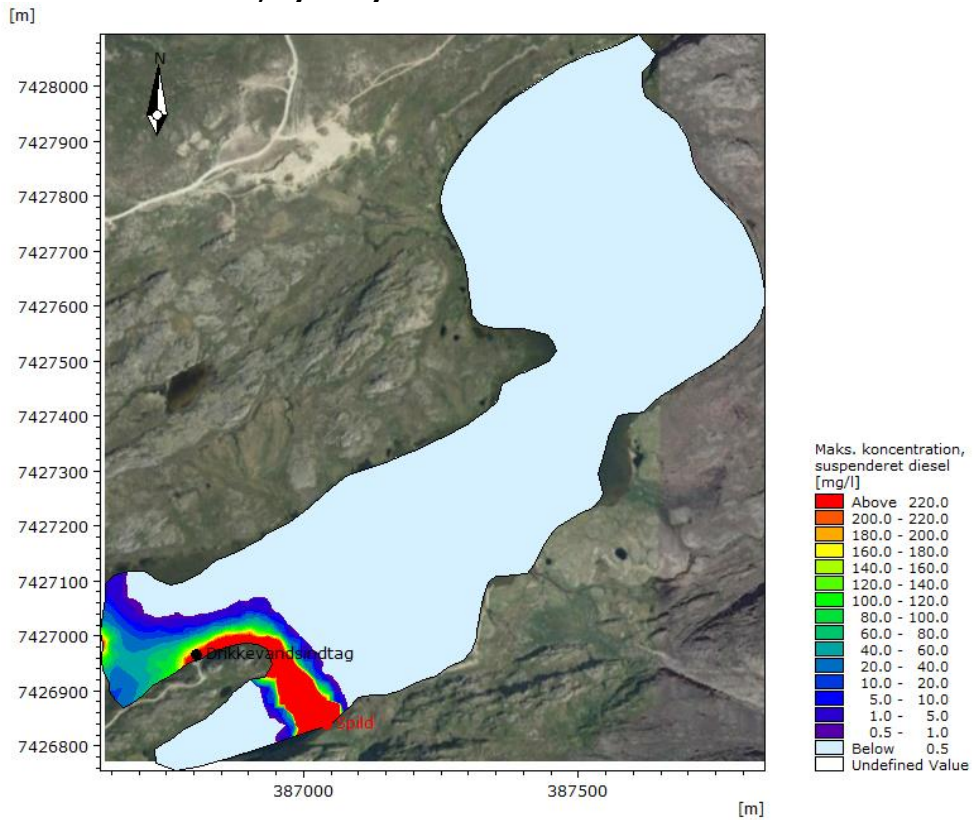


Figur 53: Spild 12400 l dieselolie, hydrodynamisk scenarie 3 vind fra S. Maksimale koncentrationer og udbredelse (øverst) og transporttid for dieselolie i suspension (nederst). Baggrund fra Google Earth Image © 2020 Maxar Technologies, Asiaq, Terra Metrics

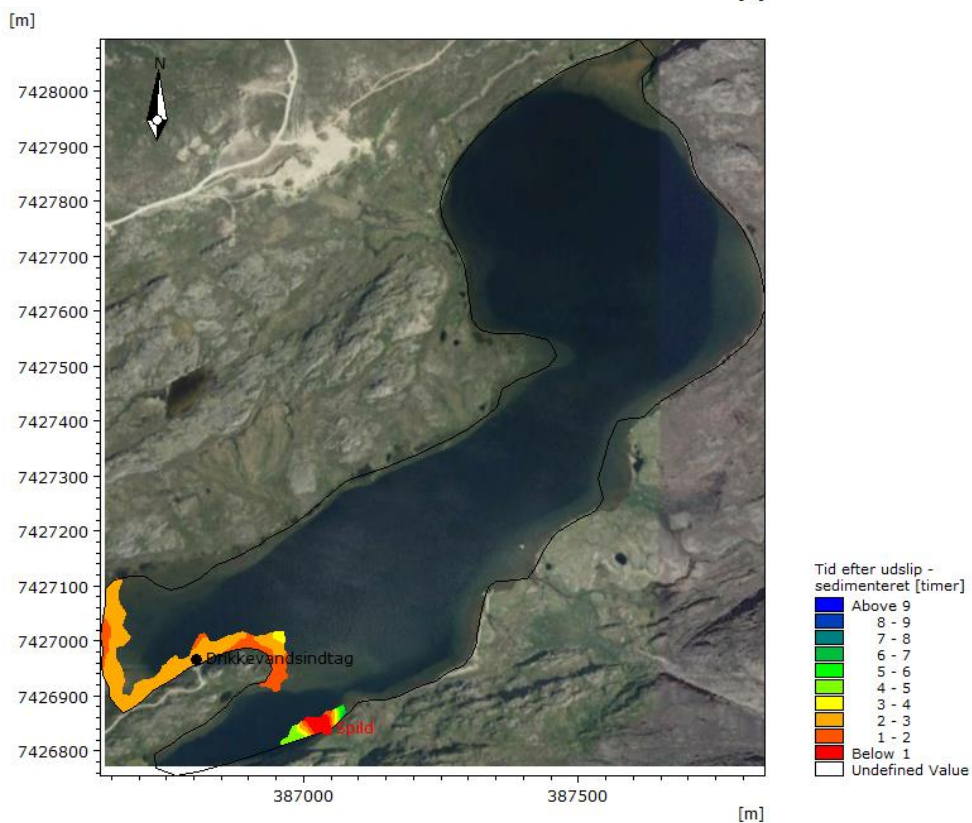
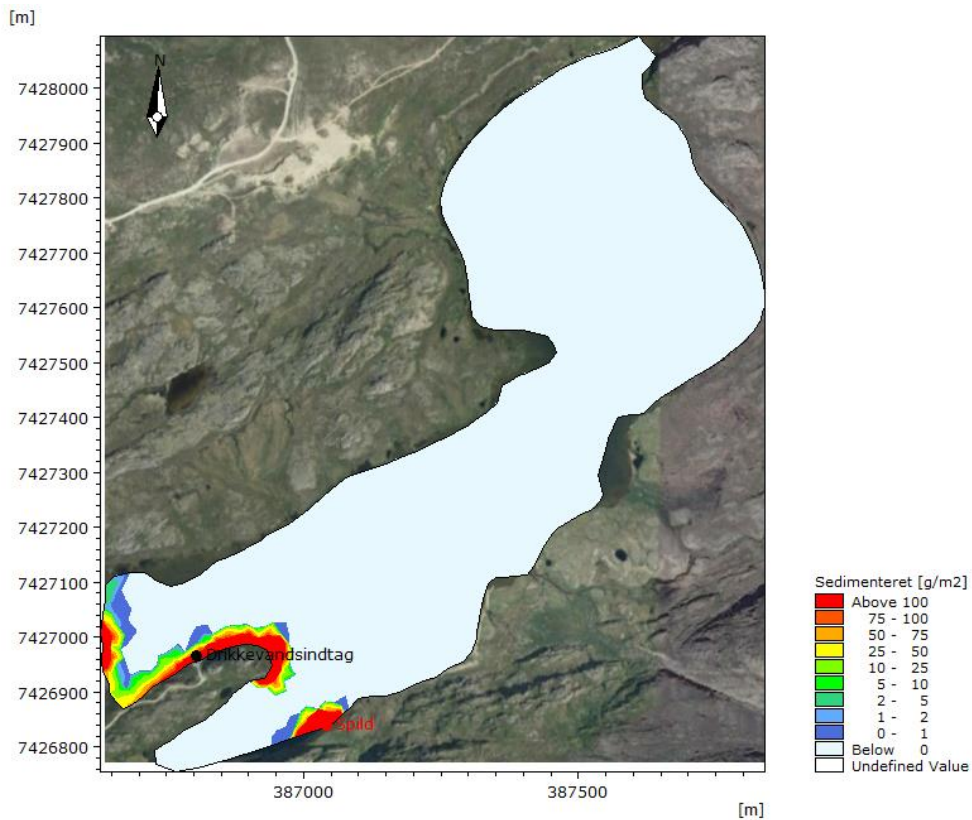


Figur 54: Spild 12400 l dieselolie, hydrodynamisk scenarie 3 vind fra S. Aflejret dieselolie (øverst) samt transporttid før dieselolie aflejres (nederst). Baggrund fra Google Earth Image © 2020 Maxar Technologies, Asiaq, Terra Metrics

Spild af 12400 l dieselolie, hydrodynamisk scenarie 3 vind fra SSO

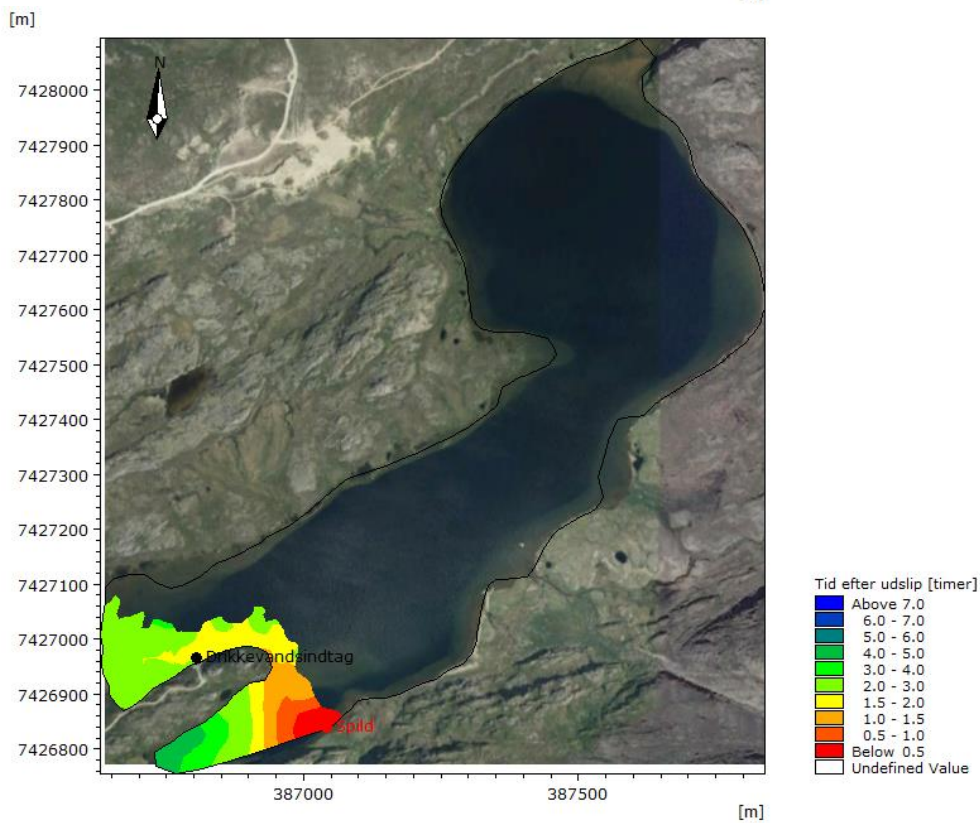
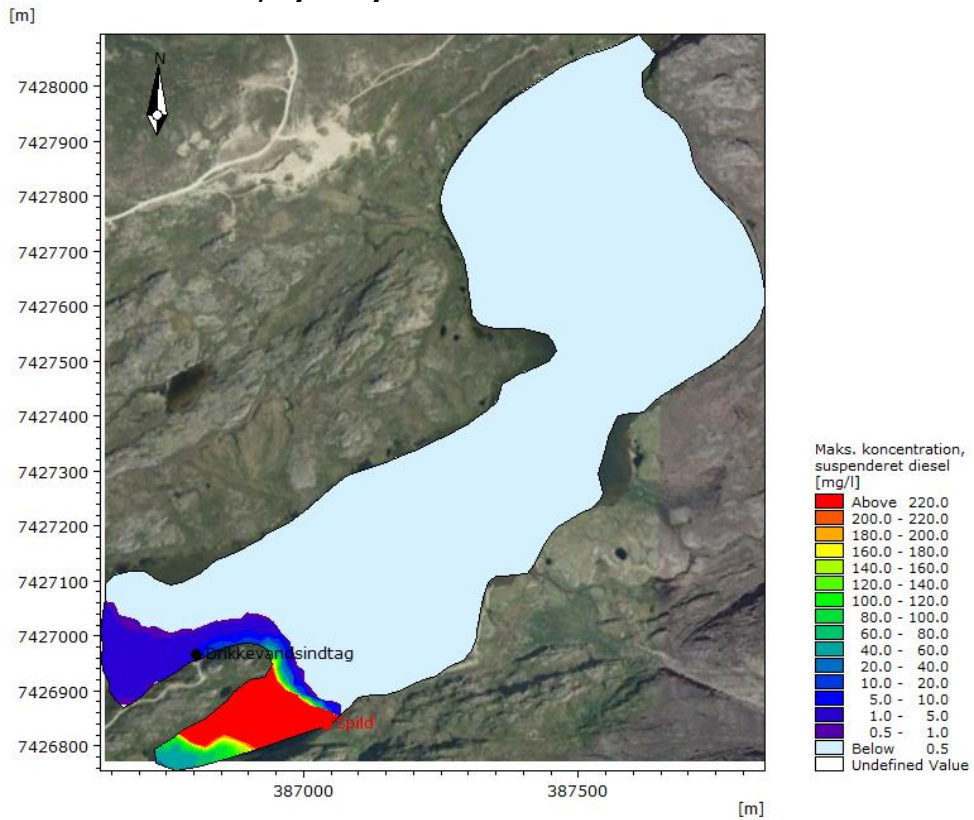


Figur 55: Spild 12400 l dieselolie, hydrodynamisk scenarie 3 vind fra SSO. Maksimale koncentrationer og udbredelse (øverst) og transporttid for dieselolie i suspension (nederst). Baggrund fra Google Earth Image © 2020 Maxar Technologies, Asiaq, Terra Metrics

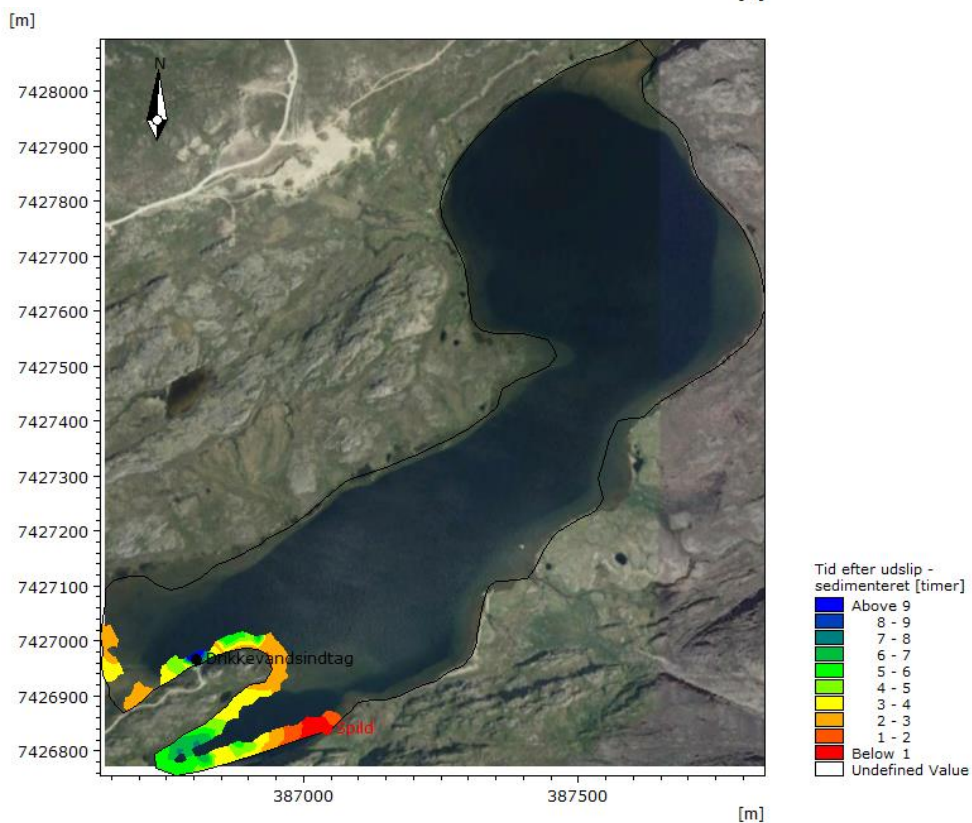
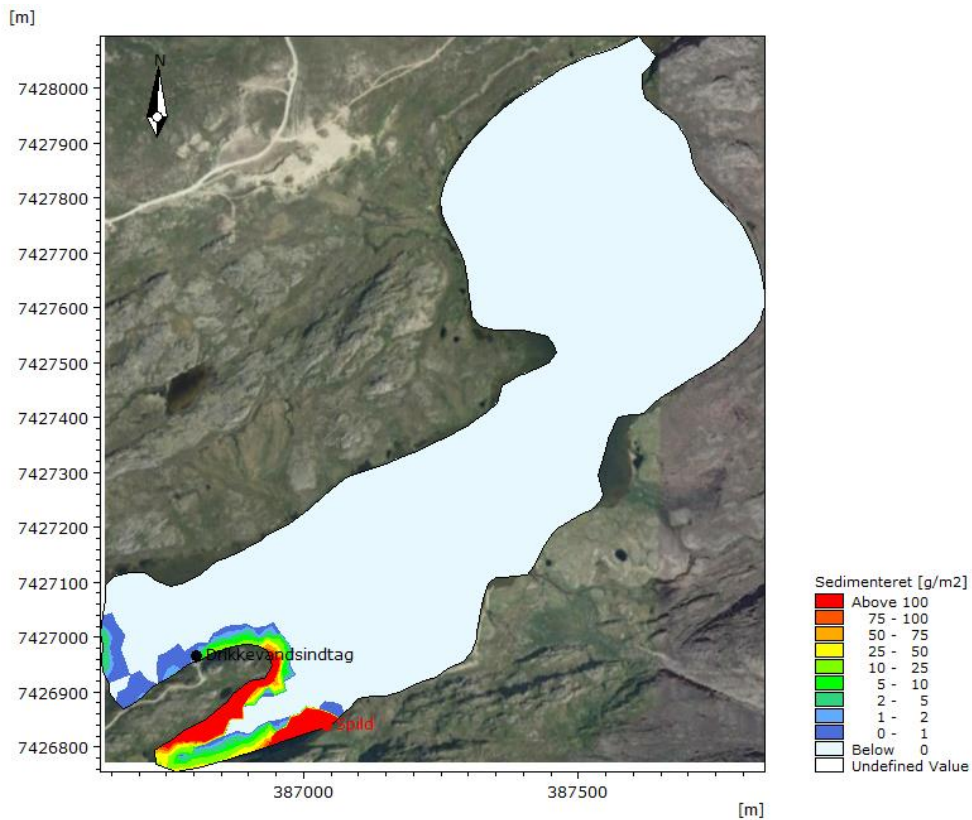


Figur 56: Spild 12400 l dieselolie, hydrodynamisk scenarie 3 vind fra SSO. Aflejret dieselolie (øverst) samt transporttid før dieselolie aflejres (nederst). Baggrund fra Google Earth Image © 2020 Maxar Technologies, Asiaq, Terra Metrics

Spild af 12400 l dieselolie, hydrodynamisk scenarie 3 vind fra SO



Figur 57: Spild 12400 l dieselolie, hydrodynamisk scenarie 3 vind fra SO. Maksimale koncentrationer og udbredelse (øverst) og transporttid for dieselolie i suspension (nederst). Baggrund fra Google Earth Image © 2020 Maxar Technologies, Asiaq, Terra Metrics



Figur 58: Spild 12400 l dieselolie, hydrodynamisk scenarie 3 vind fra SO. Aflejret dieselolie (øverst) samt transporttid før dieselolie aflejres (nederst). Baggrund fra Google Earth Image © 2020 Maxar Technologies, Asiaq, Terra Metrics

APPENDIKS B TIL BILAG 4

RESULTATER FRA OLIESPILDSMODELBEREGNINGER – ALTERNATIV PLACERING AF DRIKKEVANDSINDTAGET

I dette bilag vises resultater for scenarierne med den alternative placering af drikkevandsindtaget i form af arealplots af:

- J Maksimal udbredelse af olien i perioden 0-24 timer efter udslip
- J Transporttid for suspenderet olie (olie i vandsøjlen)
- J Sedimenteret olie
- J Transport for sedimenteret olie (olie aflejret på bunden)

Det skal pointeres, at de opnåede resultater skal betragtes som værende kvalitative fremfor kvantitative – forstået på den måde, at de overordnede tendenser vurderes at være repræsentative for hvad der vil ske, som følge af et udslip af olie. De faktiske koncentrationer og tidsangivelser kan afvige fra det modellerede, dels fordi modelberegningerne er kørt for stationære hydrodynamiske scenarier, der vurderes at være konservativ-realistiske og de faktiske vejrforhold vil have en afgørende betydning for oliens transport og spredning og dels fordi den anvendte model ikke er kalibreret og valideret ift. strømforholdene og det spildte oliens faktiske sammensætning og egenskaber. Resultaterne kan således anvendes til at vurdere om der er risiko for at et oliespild vil nå området omkring drikkevandsindtaget og give en indikation af om det tager kort eller længere tid før drikkevandsindtaget evt. nås.

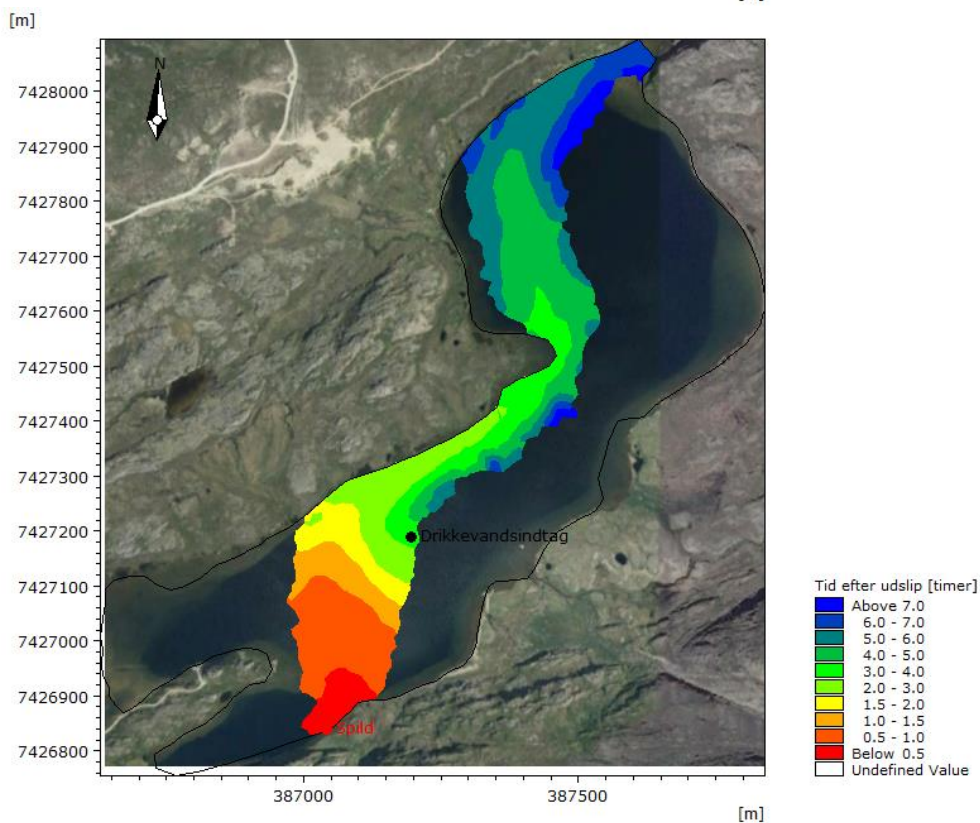
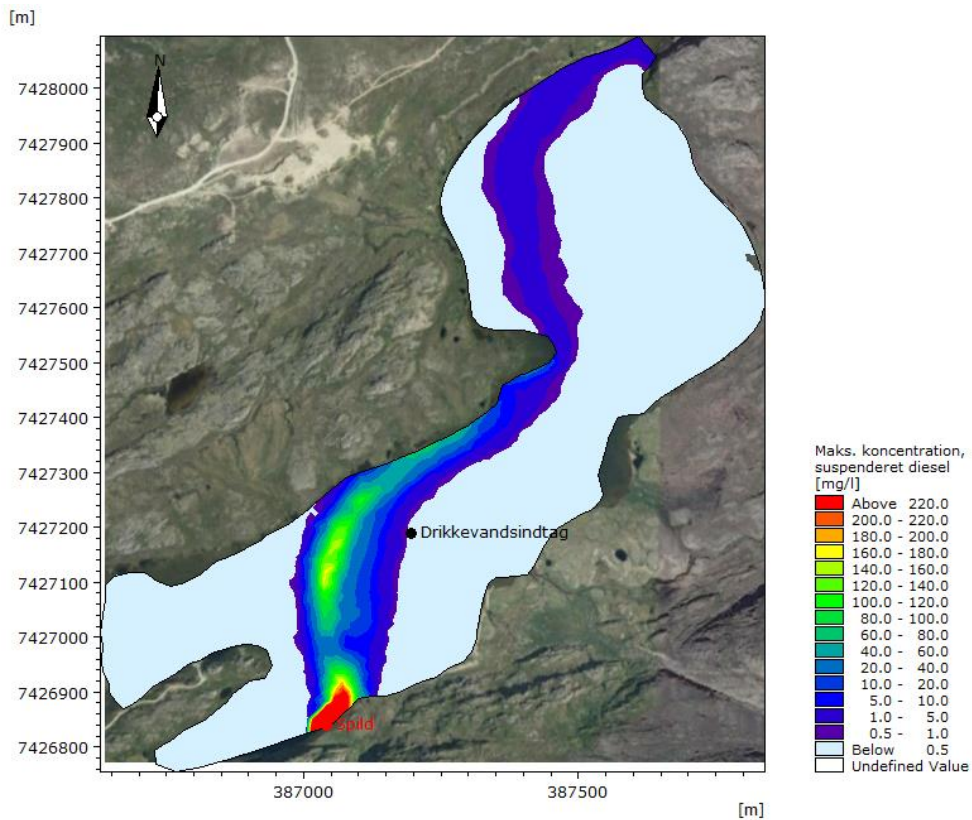
For nogle scenarier vil den dybdemidlede koncentration af olien være så lav, at figurerne med maksimale koncentrationer og udbredelse viser, at der ikke vil forekomme olie i området omkring drikkevandsindtaget, mens figurerne der viser transporttid og aflejningsområder vil vise en påvirkning i området. Dette skyldes den anvendte skala.

Baseret på dels indledende simuleringer kørt med en marginal mere udsat position for udslippet og dels løbende resultatbehandling er der kombinationer af spild- og hydrodynamiske scenarier, hvor der ikke er gennemført modellering for. Det vurderes, at modelberegningerne er gennemført for tilstrækkelige kombinationer af spild – og hydrodynamiske scenarier til, at der kan gives en vurdering af om der vil være en forventet gevinst ift. at sikre indvinding af rent drikkevand.

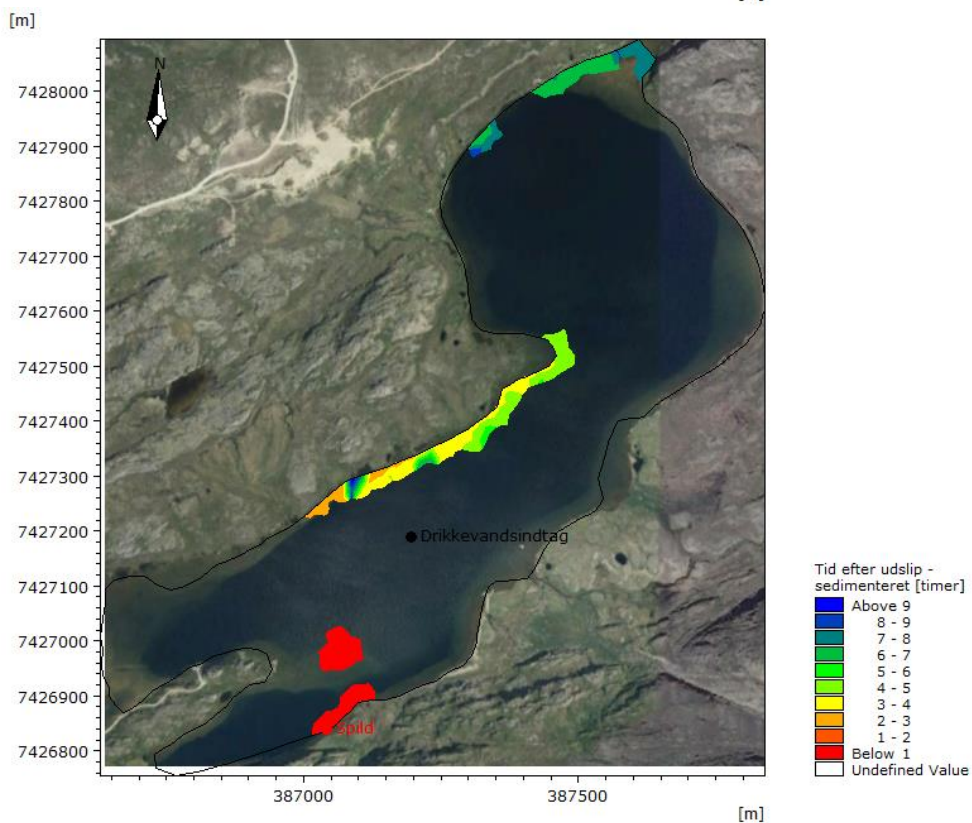
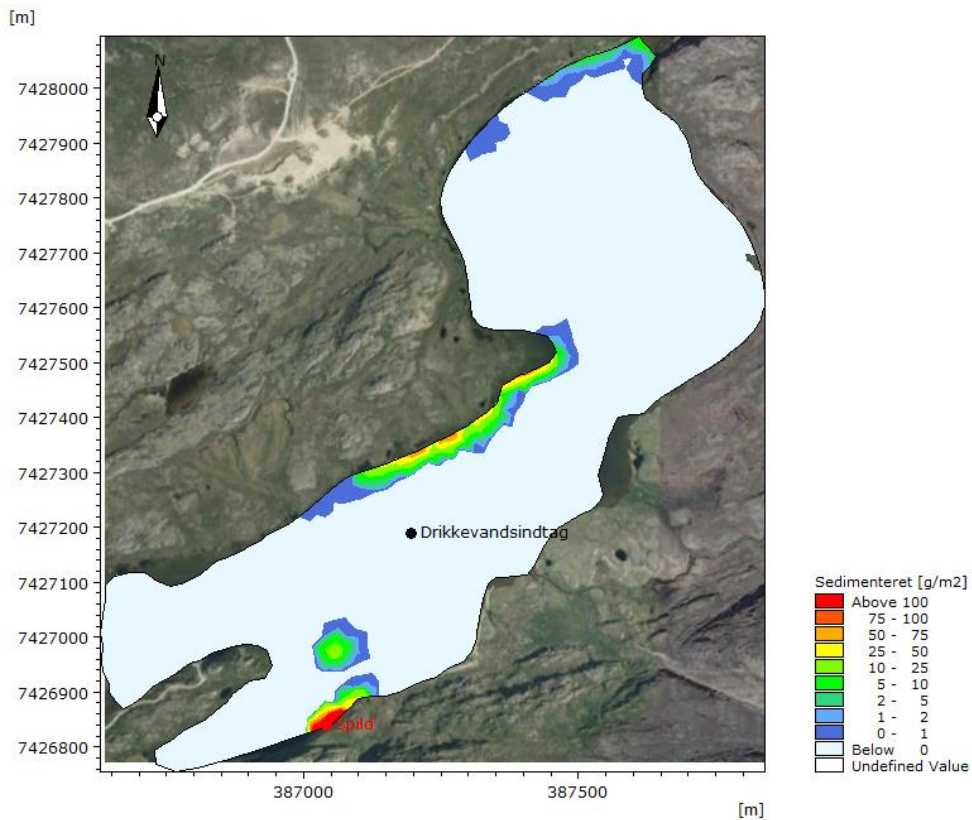
Appendikset indeholder resultater for følgende:

- J Spild af 750 l dieselolie, scenarie 1 vind fra S, SSV, SV og VSV, s. 61 - 66
- J Spild af 750 l dieselolie, scenarie 2 vind fra S, SSV, SV og VSV, s. 67 - 72
- J Spild af 20 l hydraulikolie, scenarie 1 vind fra SSV, s. 73 - 74
- J Spild af 12400 l dieselolie, scenarie 1 vind fra SSV, s. 75 - 76
- J Spild af 12400 l dieselolie, scenarie 2 vind fra SSV, s. 77 - 78

Spild af 750 l dieselolie, hydrodynamisk scenarie 1 vind fra S

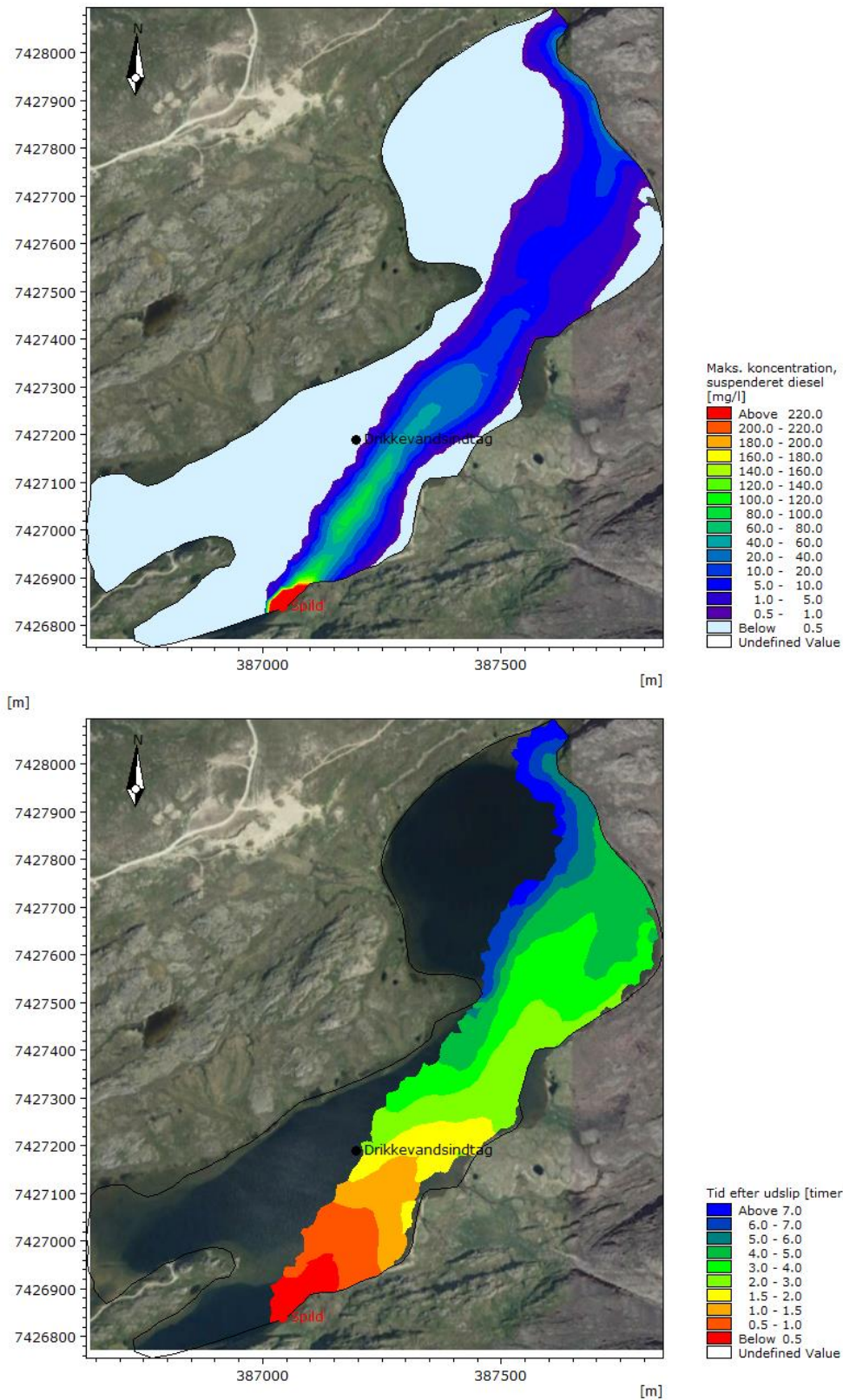


Figur 59: Spild 750 l dieselolie, hydrodynamisk scenarie 1 vind fra S. Maksimale koncentrationer og udbredelse (øverst) og transporttid for dieselolie i suspension (nederst). Baggrund fra Google Earth Image © 2020 Maxar Technologies, Asiaq, Terra Metrics

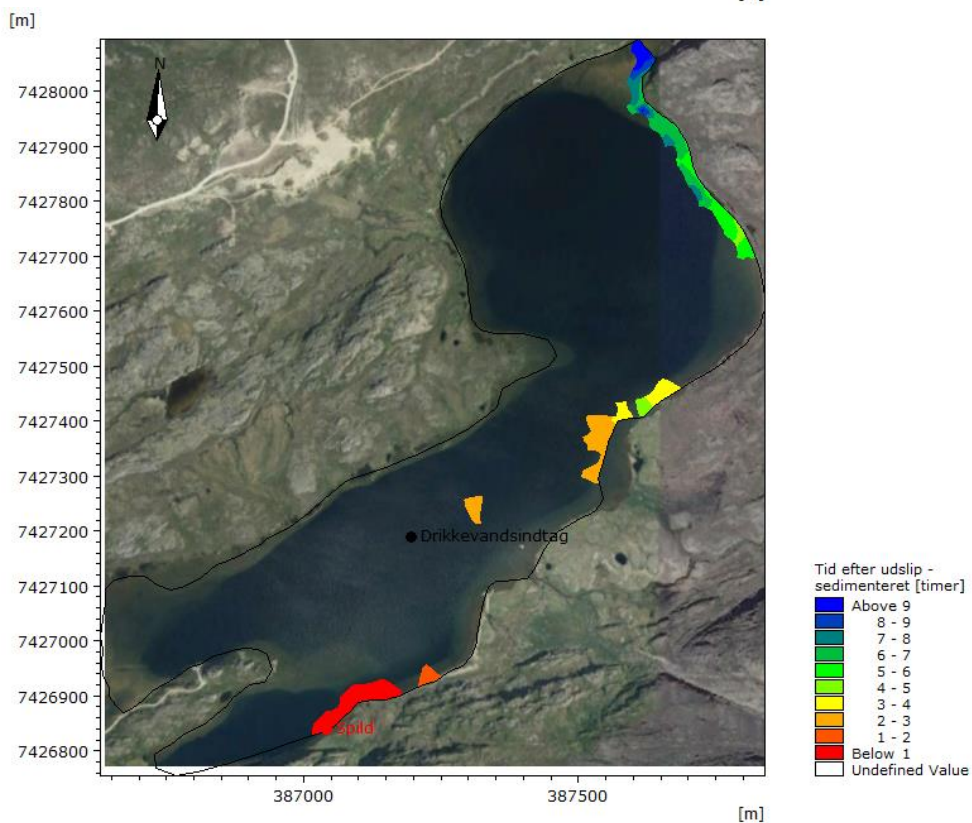
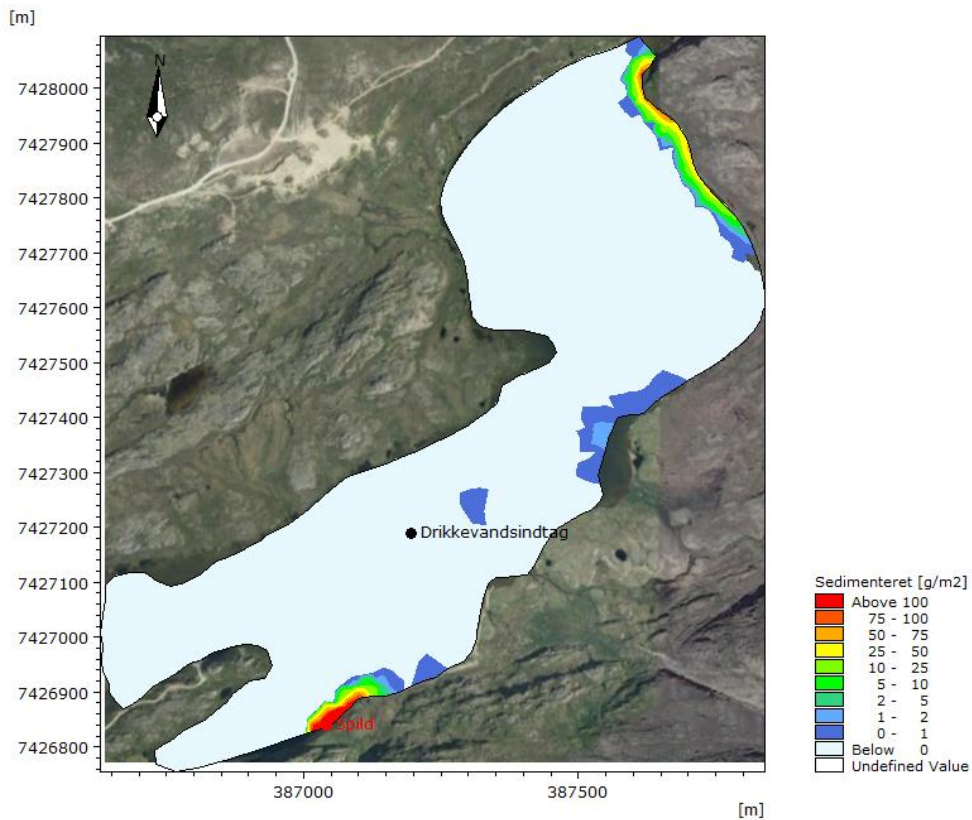


Figur 60: Spild 750 l dieselolie, hydrodynamisk scenarie 1 vind fra S. Aflejret dieselolie (øverst) samt transporttid før dieselolie aflejres (nederst). Baggrund fra Google Earth Image © 2020 Maxar Technologies, Asiaq, Terra Metrics

Spild af 750 l dieselolie, hydrodynamisk scenarie 1 vind fra SSV

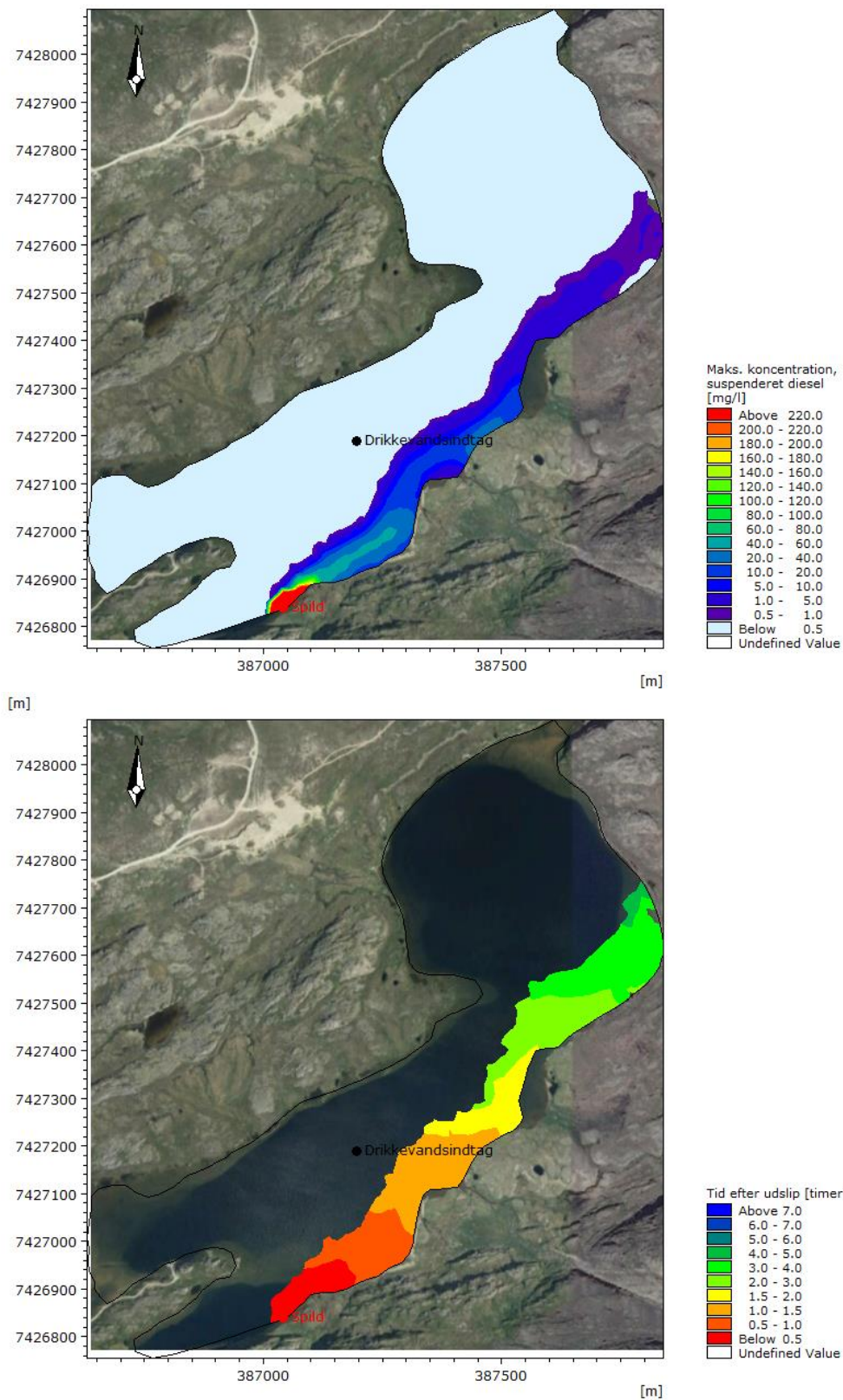


Figur 61: Spild 750 l dieselolie, hydrodynamisk scenarie 1 vind fra SSV. Maksimale koncentrationer og udbredelse (øverst) og transporttid for dieselolie i suspension (nederst). Baggrund fra Google Earth Image © 2020 Maxar Technologies, Asiaq, Terra Metrics

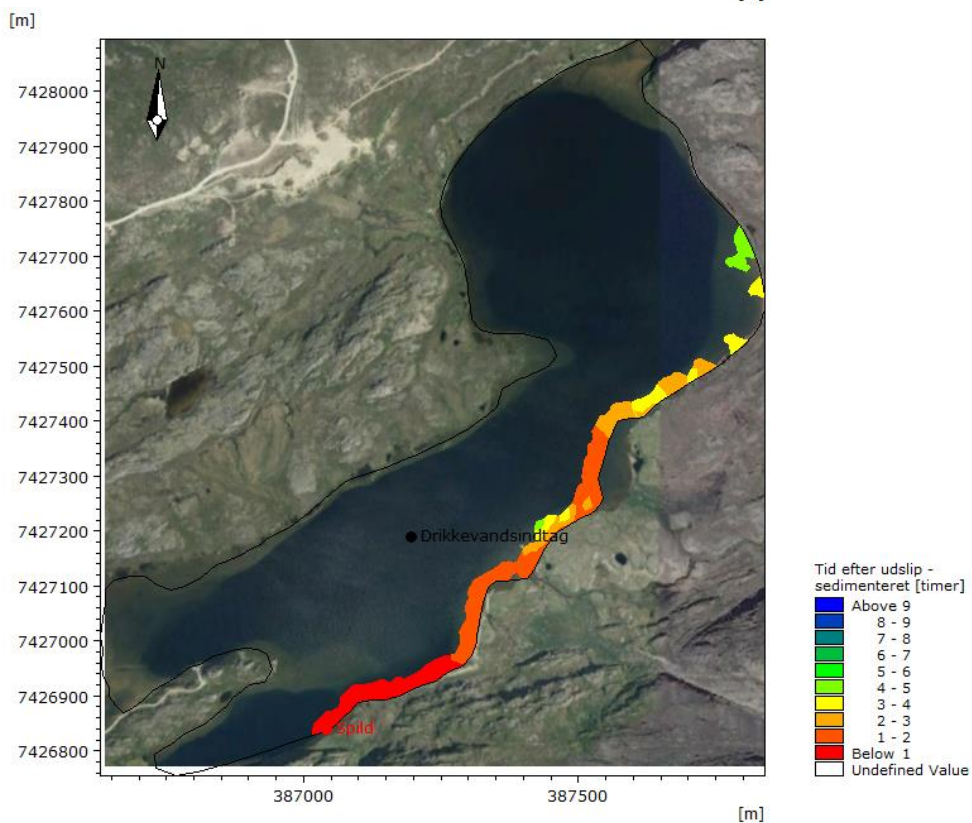
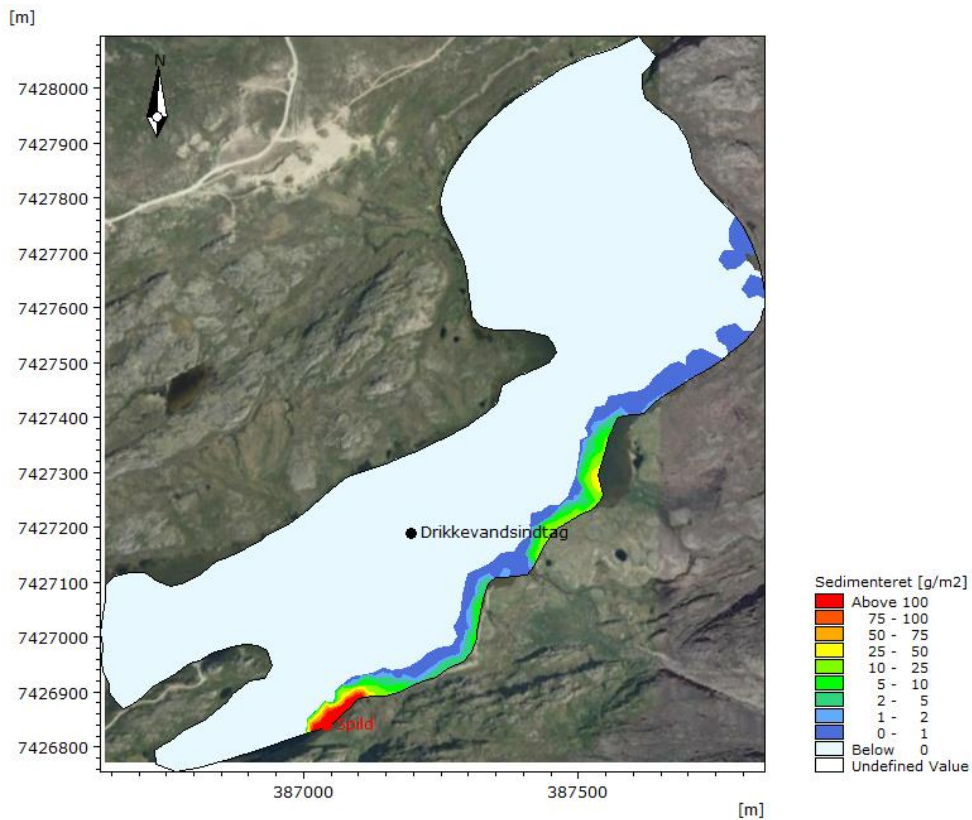


Figur 62: Spild 750 l dieselolie, hydrodynamisk scenarie 1 vind fra SSV. Aflejret dieselolie (*øverst*) samt transporttid før dieselolie aflejres (*nederst*). Baggrund fra Google Earth Image © 2020 Maxar Technologies, Asiaq, Terra Metrics

Spild af 750 l dieselolie, hydrodynamisk scenarie 1 vind fra SV

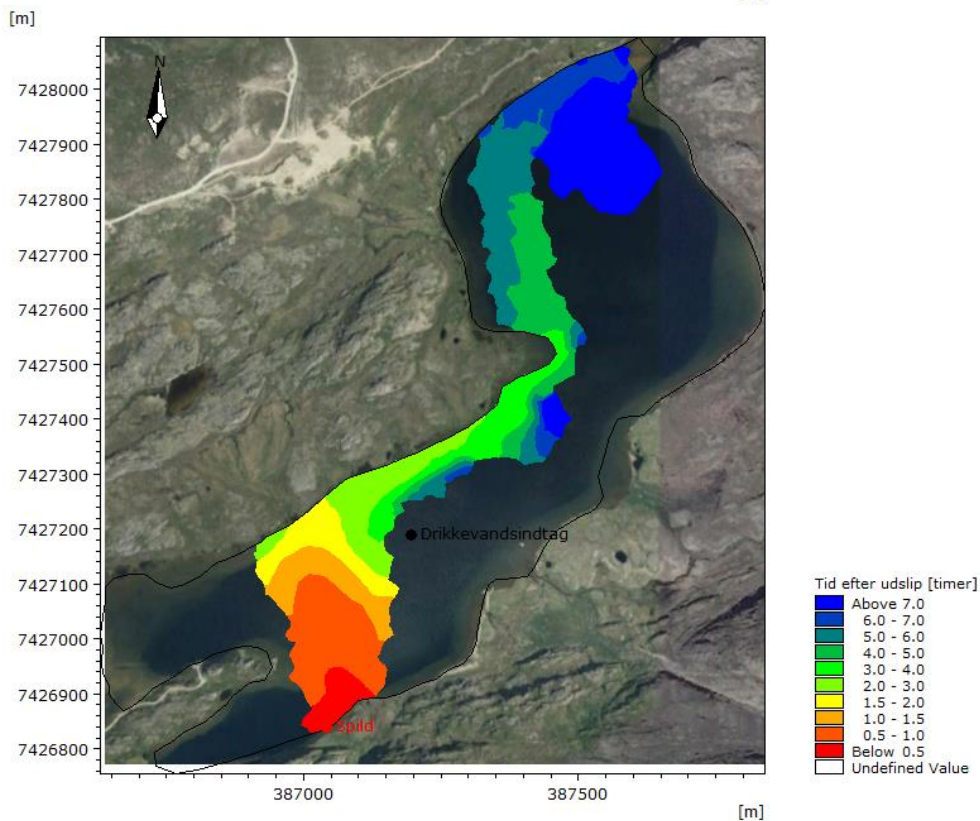
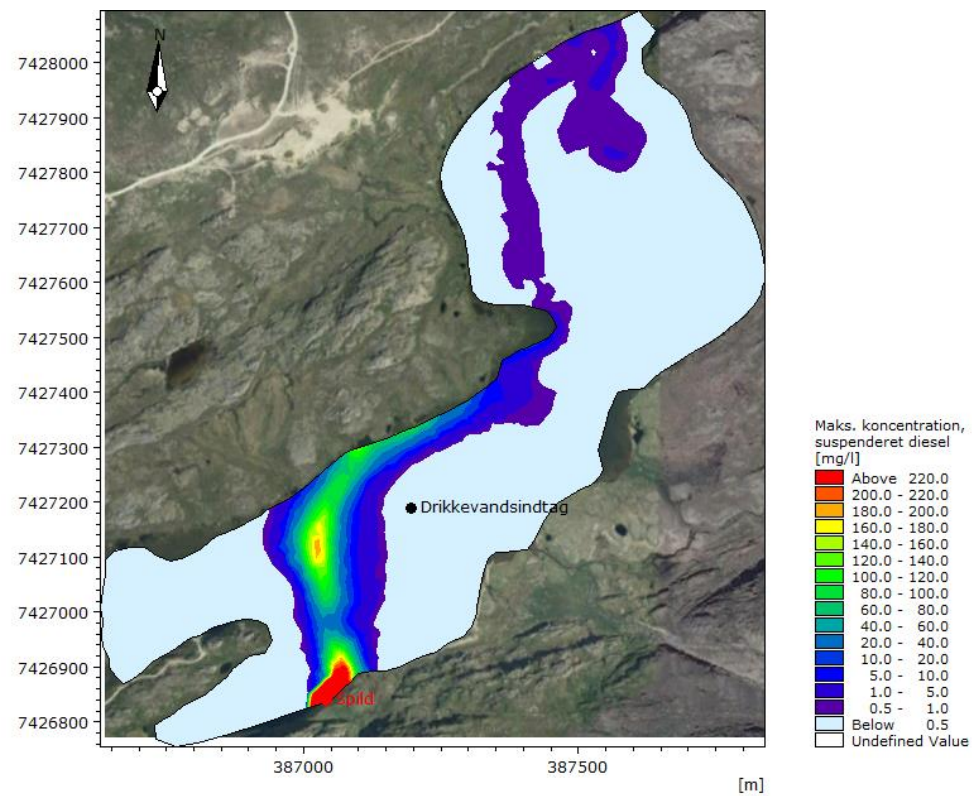


Figur 63: Spild 750 l dieselolie, hydrodynamisk scenarie 1 vind fra SV. Maksimale koncentrationer og udbredelse (øverst) og transporttid for dieselolie i suspension (nederst). Baggrund fra Google Earth Image © 2020 Maxar Technologies, Asiaq, Terra Metrics

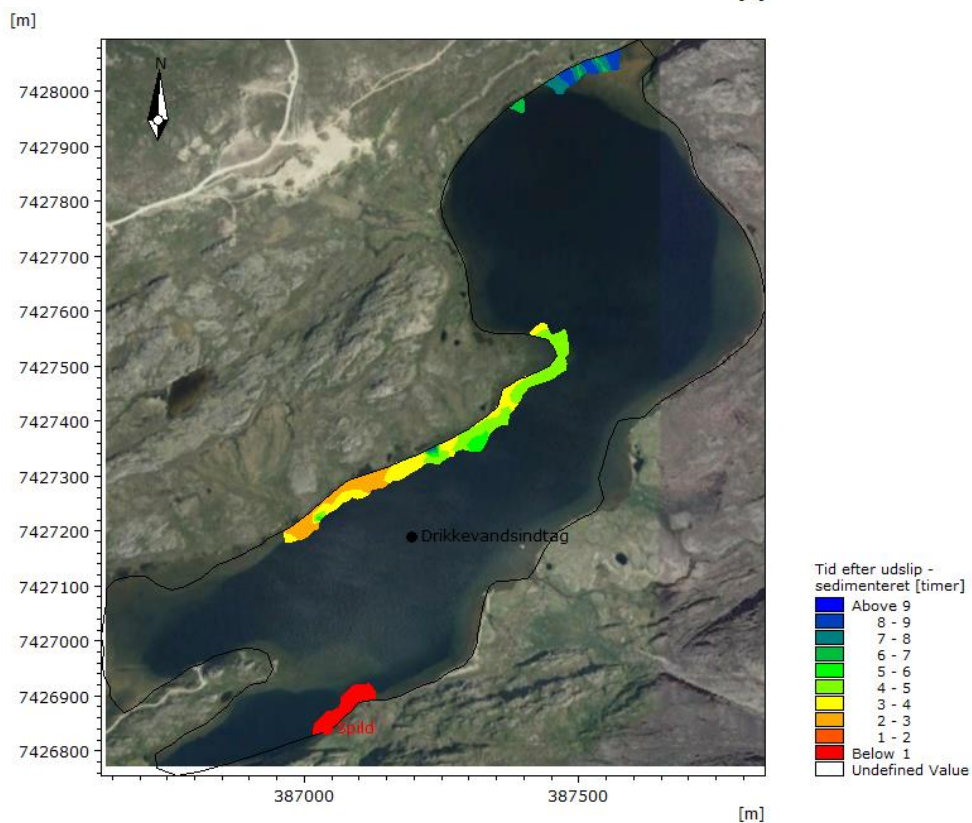
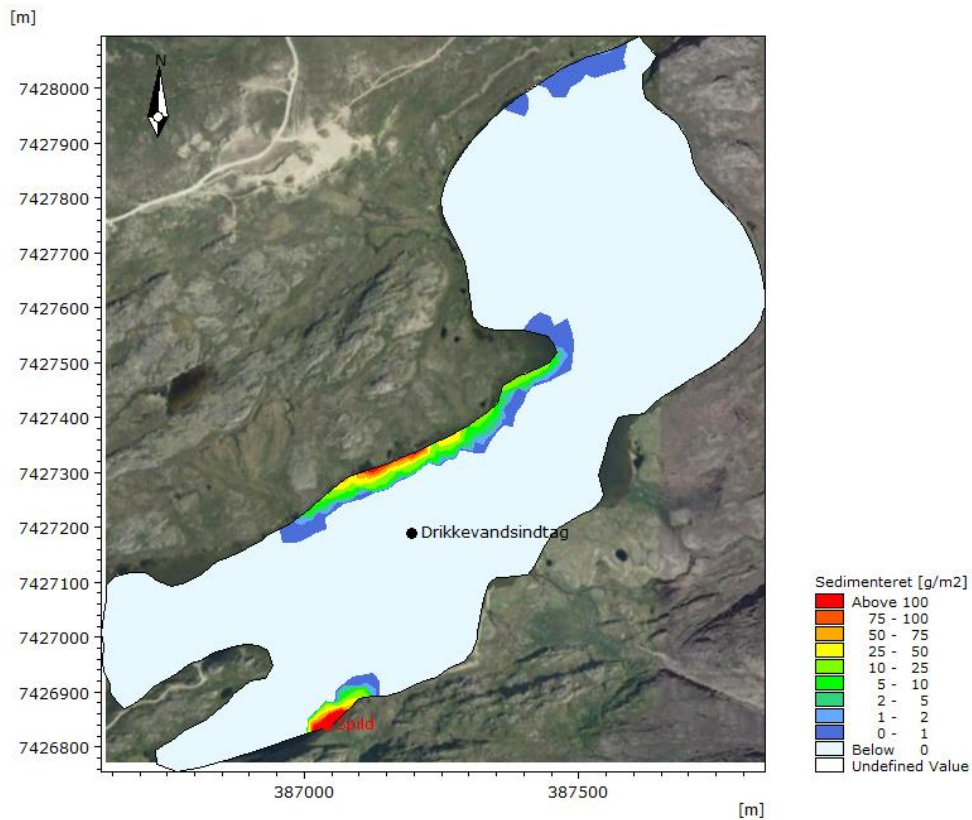


Figur 64: Spild 750 l dieselolie, hydrodynamisk scenarie 1 vind fra SV. Aflejret dieselolie (øverst) samt transporttid før dieselolie aflejres (nederst). Baggrund fra Google Earth Image © 2020 Maxar Technologies, Asiaq, Terra Metrics

Spild af 750 l dieselolie, hydrodynamisk scenarie 2 vind fra S

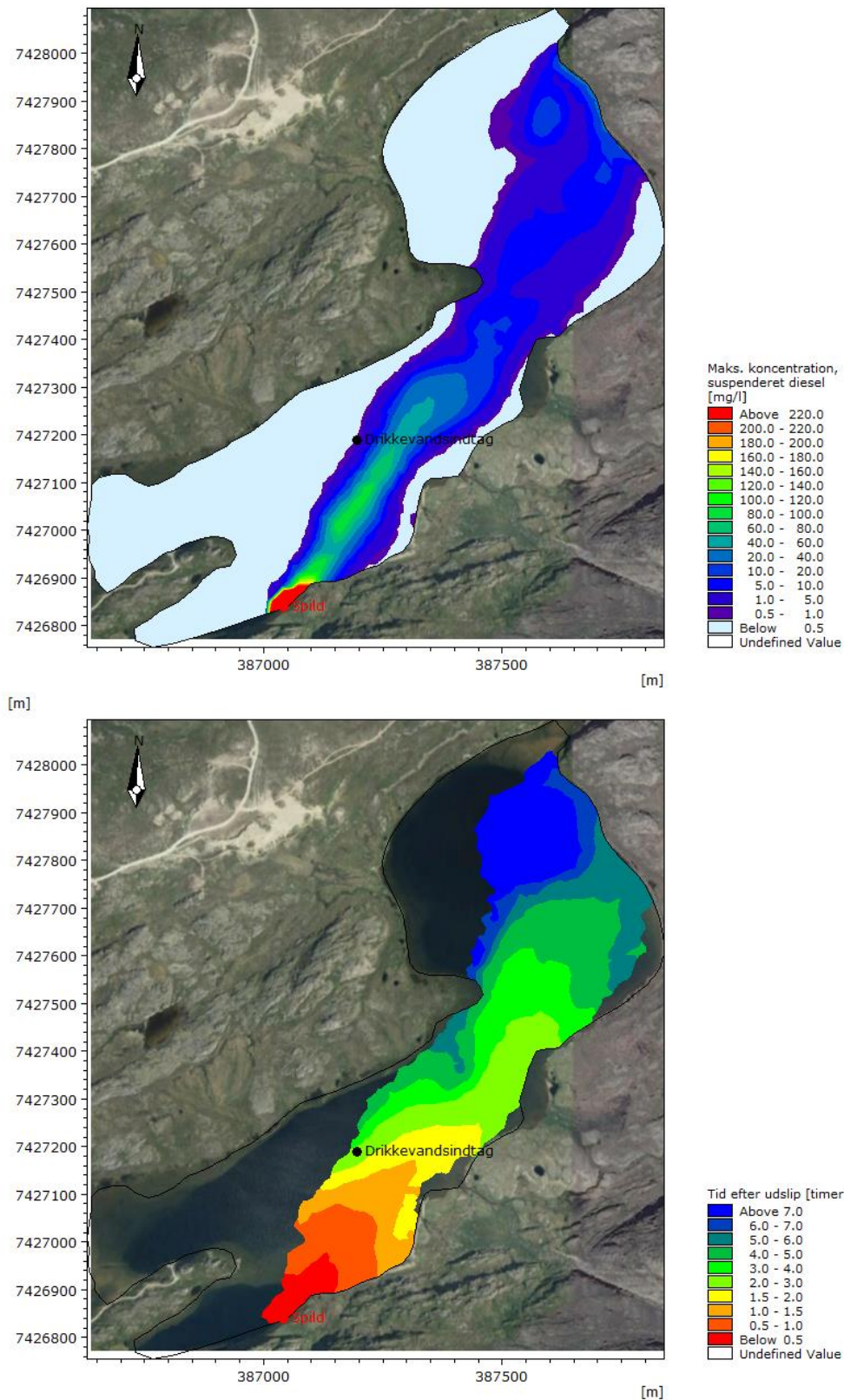


Figur 65: Spild 750 l dieselolie, hydrodynamisk scenarie 2 vind fra S. Maksimale koncentrationer og udbredelse (øverst) og transporttid for dieselolie i suspension (nederst). Baggrund fra Google Earth Image © 2020 Maxar Technologies, Asiaq, Terra Metrics

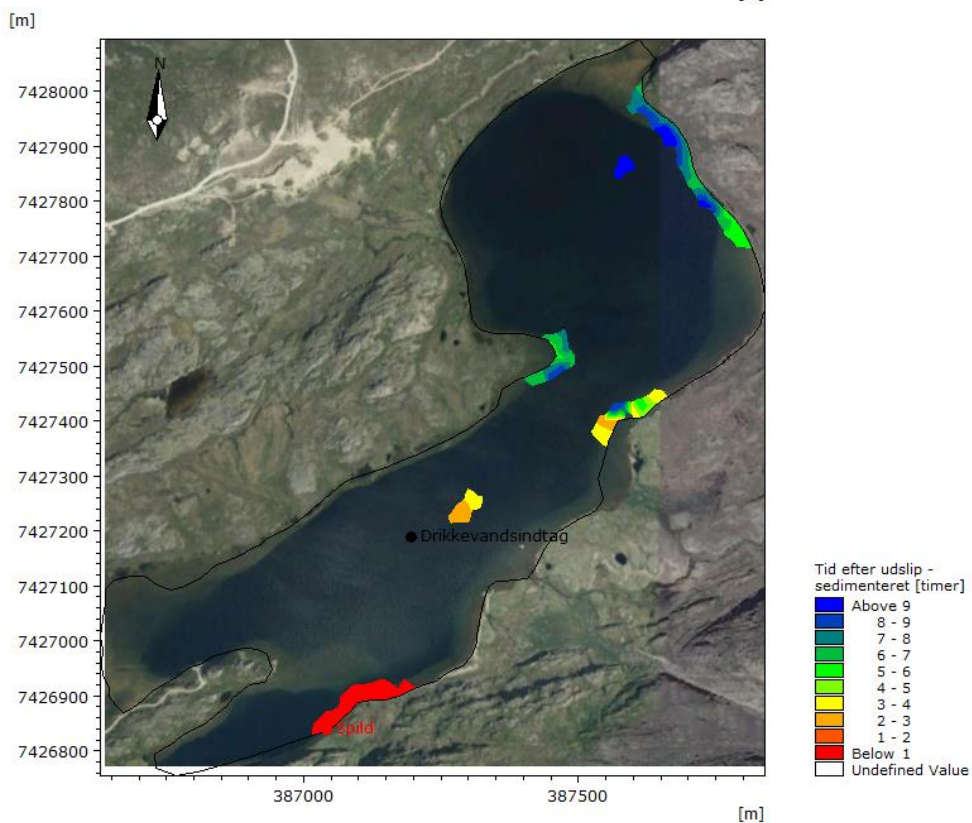
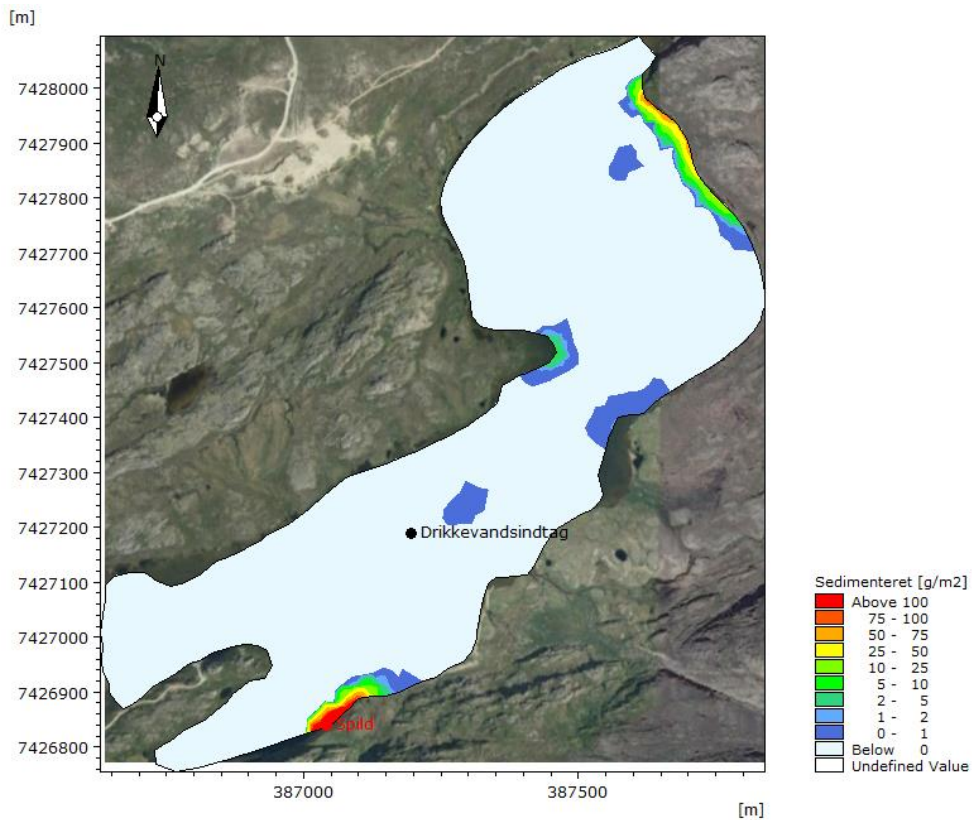


Figur 66: Spild 750 l dieselolie, hydrodynamisk scenarie 2 vind fra S. Aflejret dieselolie (øverst) samt transporttid før dieselolie aflejres (nederst). Baggrund fra Google Earth Image © 2020 Maxar Technologies, Asiaq, Terra Metrics

Spild af 750 l dieselolie, hydrodynamisk scenarie 2 vind fra SSV

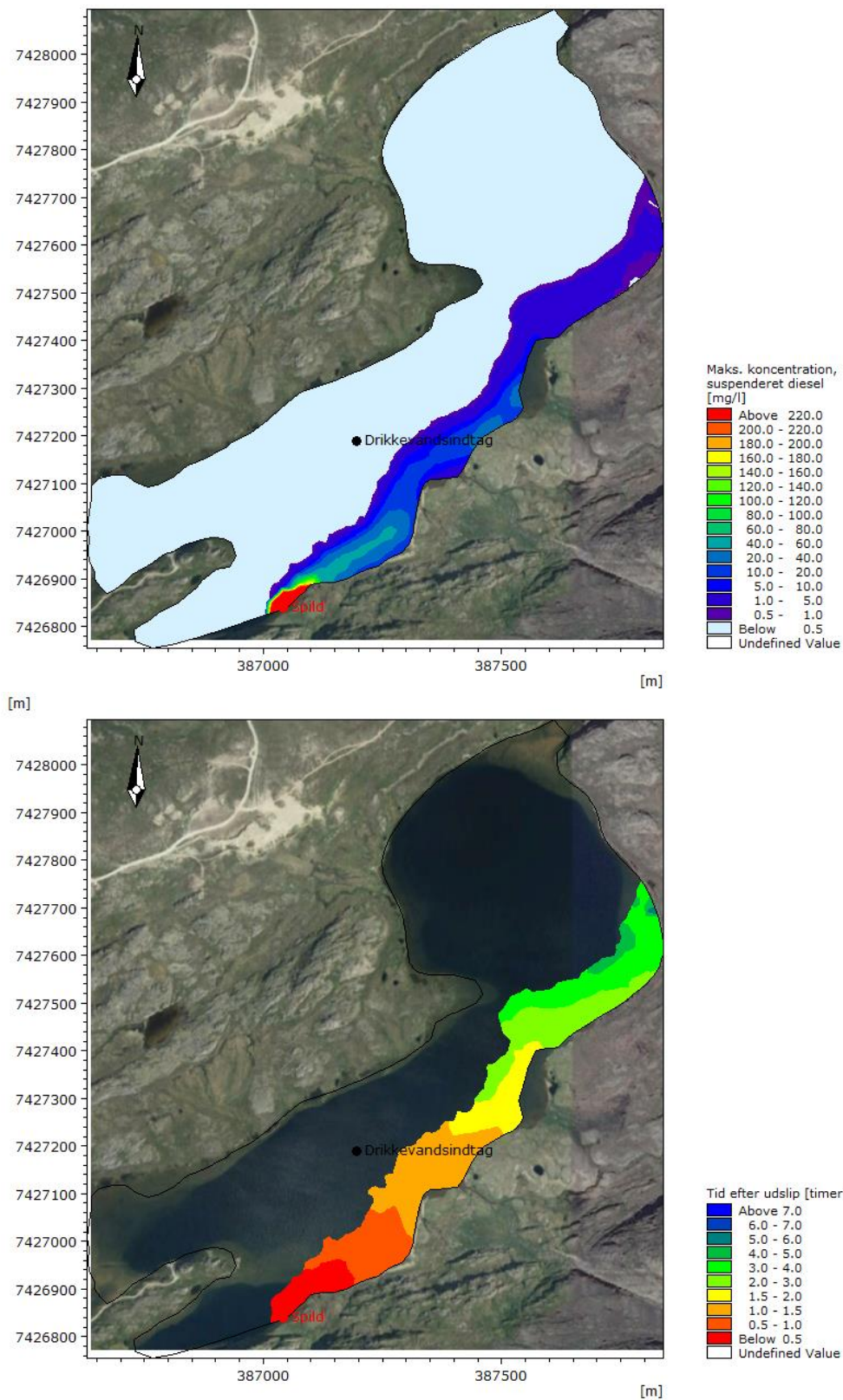


Figur 67: Spild 750 l dieselolie, hydrodynamisk scenarie 2 vind fra SSV. Maksimale koncentrationer og udbredelse (øverst) og transporttid for dieselolie i suspension (nederst). Baggrund fra Google Earth Image © 2020 Maxar Technologies, Asiaq, Terra Metrics

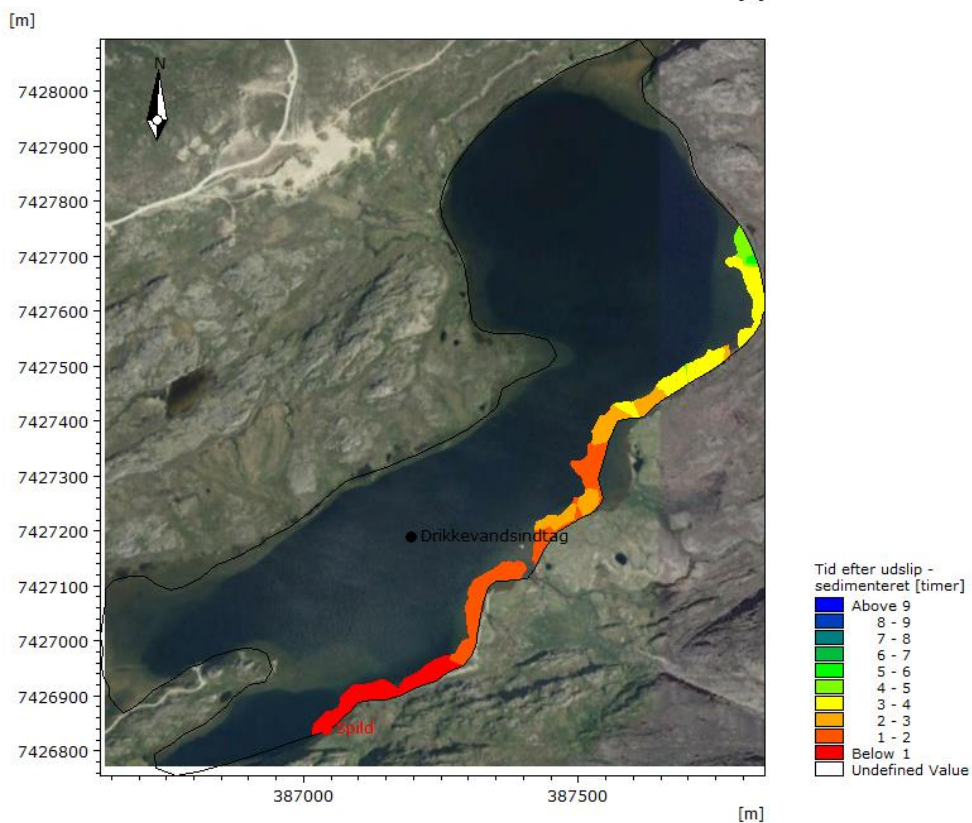
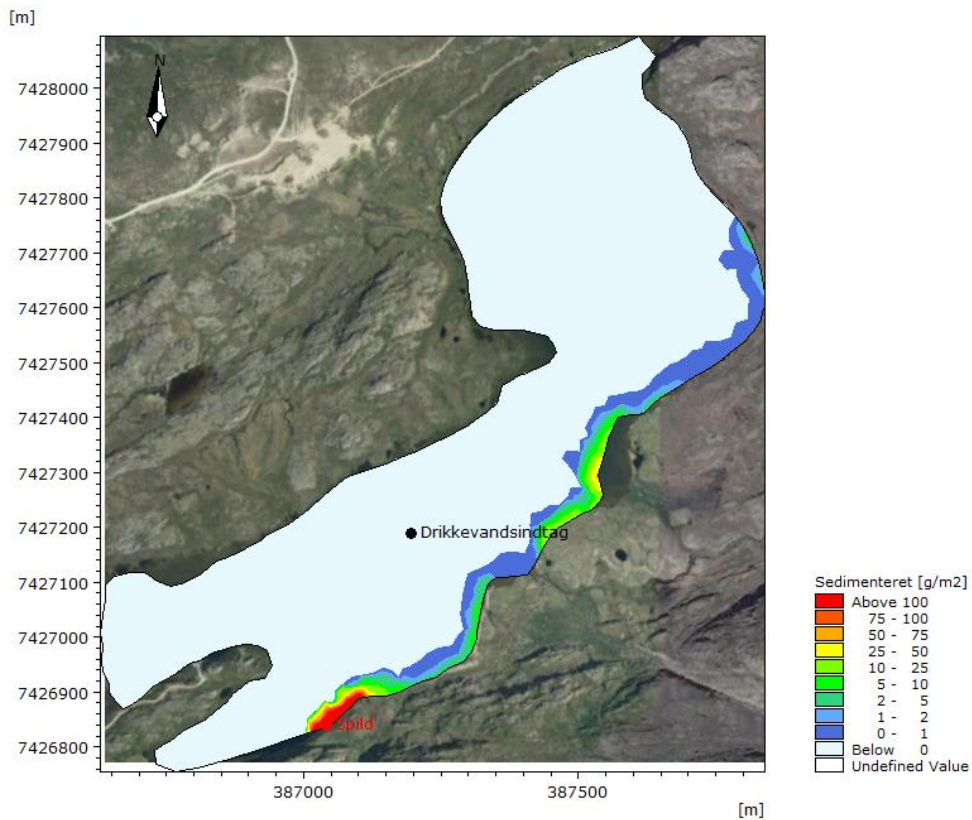


Figur 68: Spild 750 l dieselolie, hydrodynamisk scenarie 2 vind fra SV. Aflejret dieselolie (*øverst*) samt transporttid før dieselolie aflejres (*nedst*). Baggrund fra Google Earth Image © 2020 Maxar Technologies, Asiaq, Terra Metrics

Spild af 750 l dieselolie, hydrodynamisk scenarie 2 vind fra SV

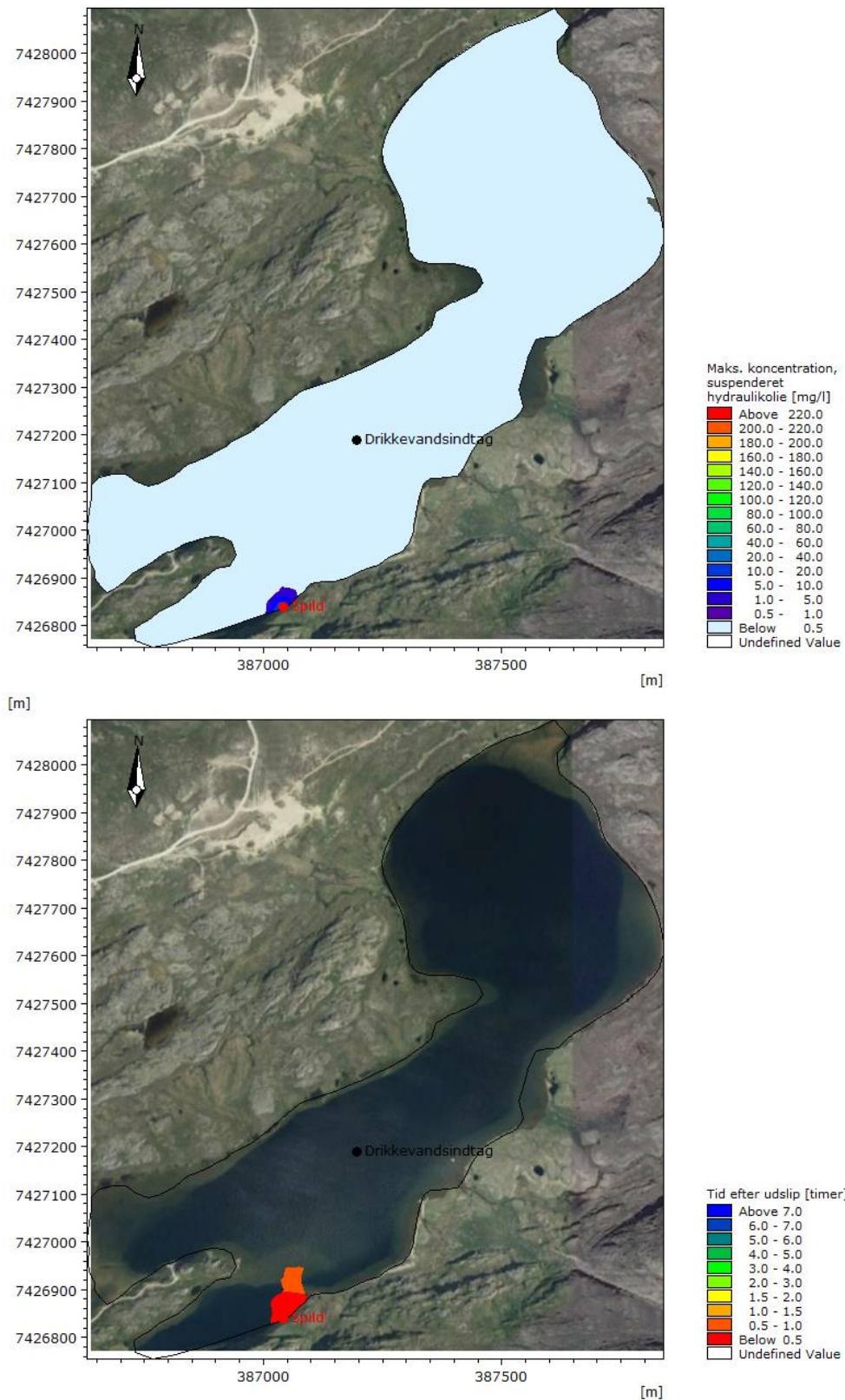


Figur 69: Spild 750 l dieselolie, hydrodynamisk scenarie 2 vind fra SV. Maksimale koncentrationer og udbredelse (øverst) og transporttid for dieselolie i suspension (nederst). Baggrund fra Google Earth Image © 2020 Maxar Technologies, Asiaq, Terra Metrics

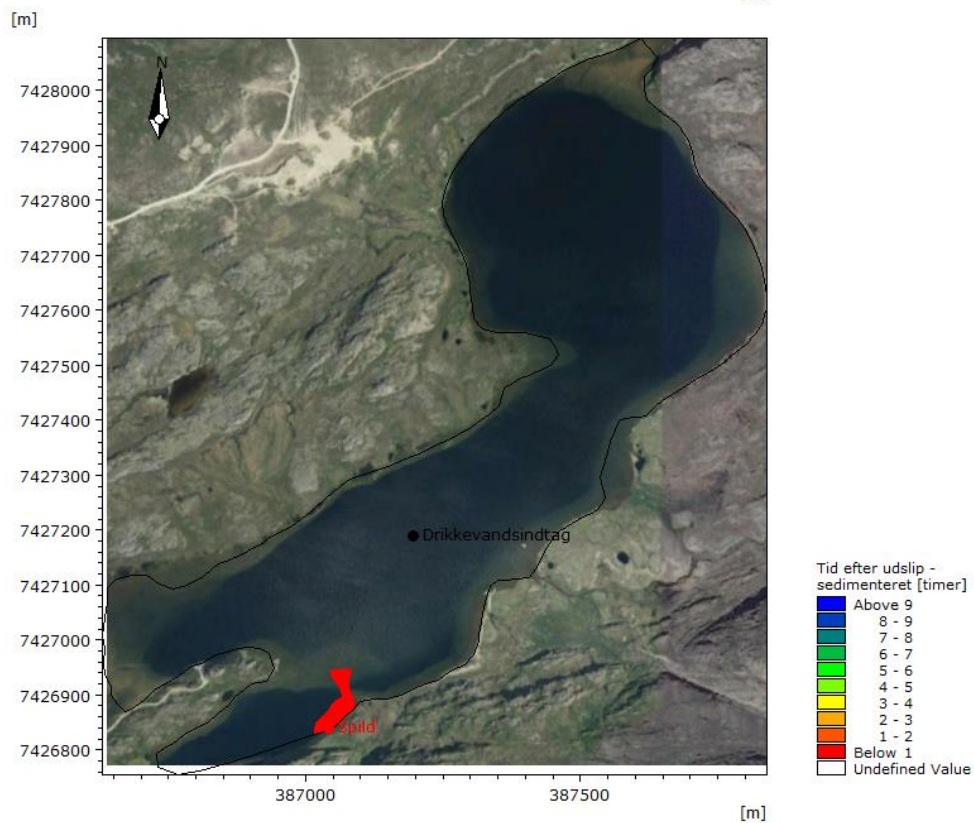
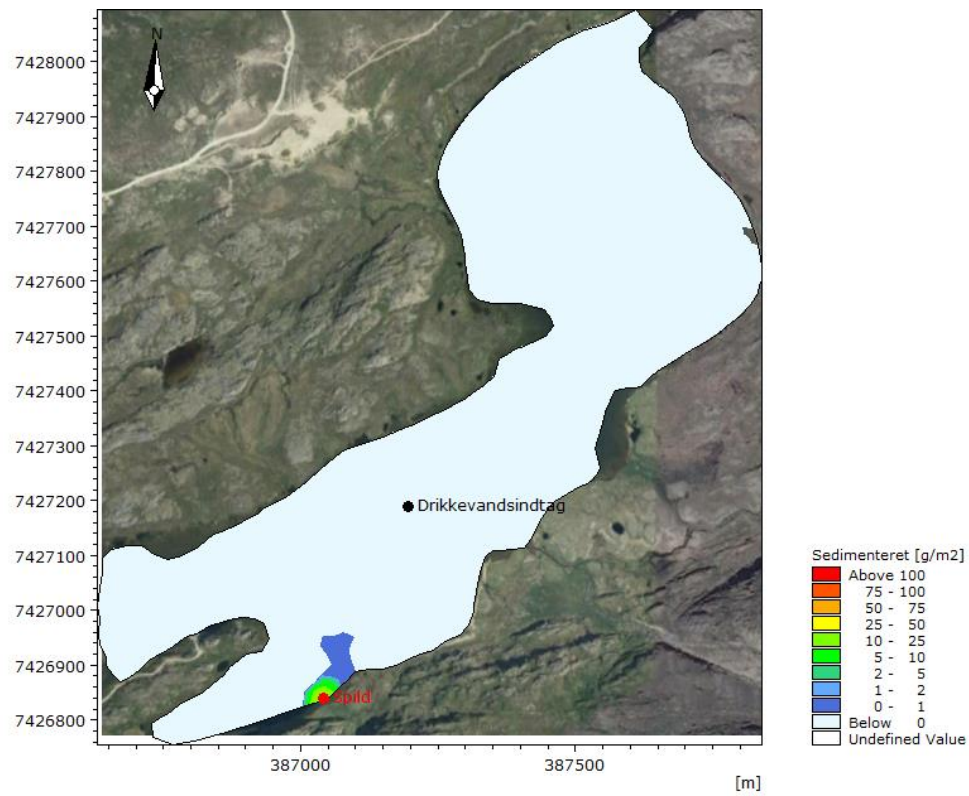


Figur 70: Spild 750 l dieselolie, hydrodynamisk scenarie 2 vind fra SV. Aflejret dieselolie (øverst) samt transporttid før dieselolie aflejres (nederst). Baggrund fra Google Earth Image © 2020 Maxar Technologies, Asiaq, Terra Metrics

Spild af 20 l hydraulikolie, hydrodynamisk scenarie 1 vind fra SSV

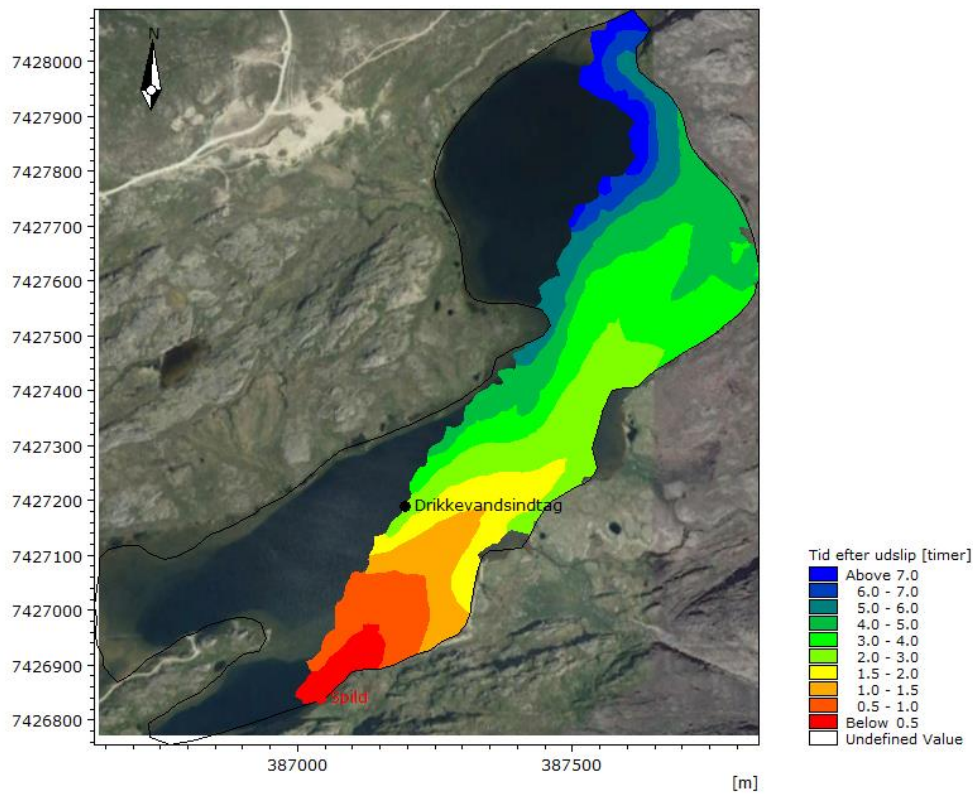
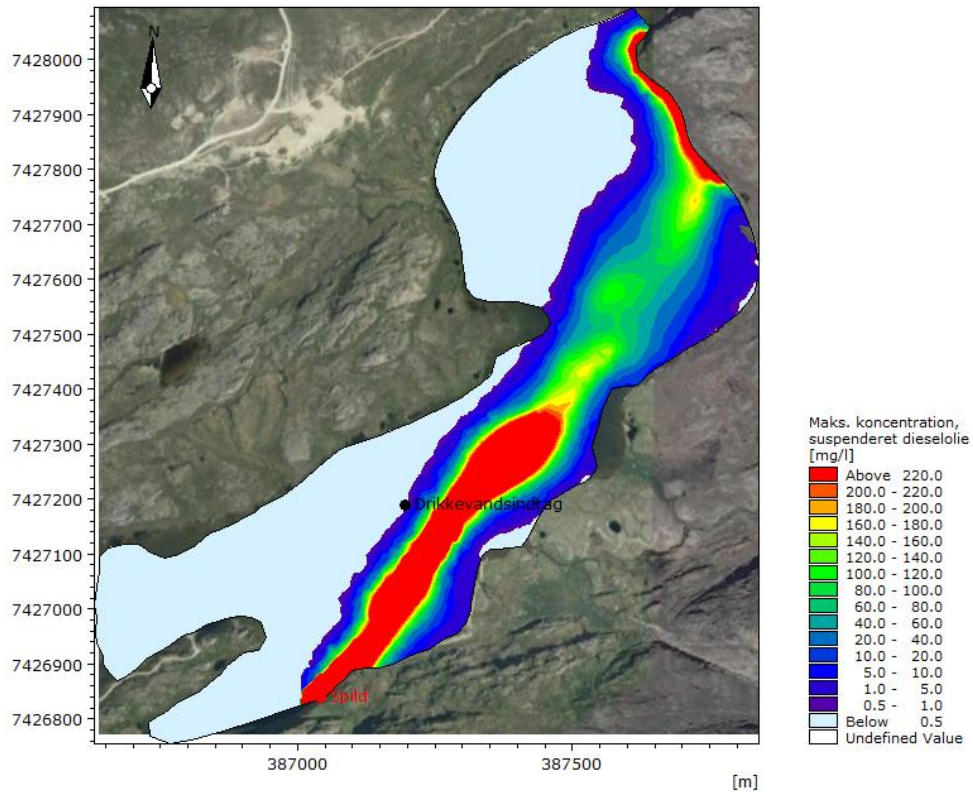


Figur 71: Spild 20 l hydraulikolie, hydrodynamisk scenarie 1 vind fra SSV. Maksimale koncentrationer og udbredelse (øverst) og transporttid for dieselolie i suspension (nederst). Baggrund fra Google Earth Image © 2020 Maxar Technologies, Asiaq, Terra Metrics

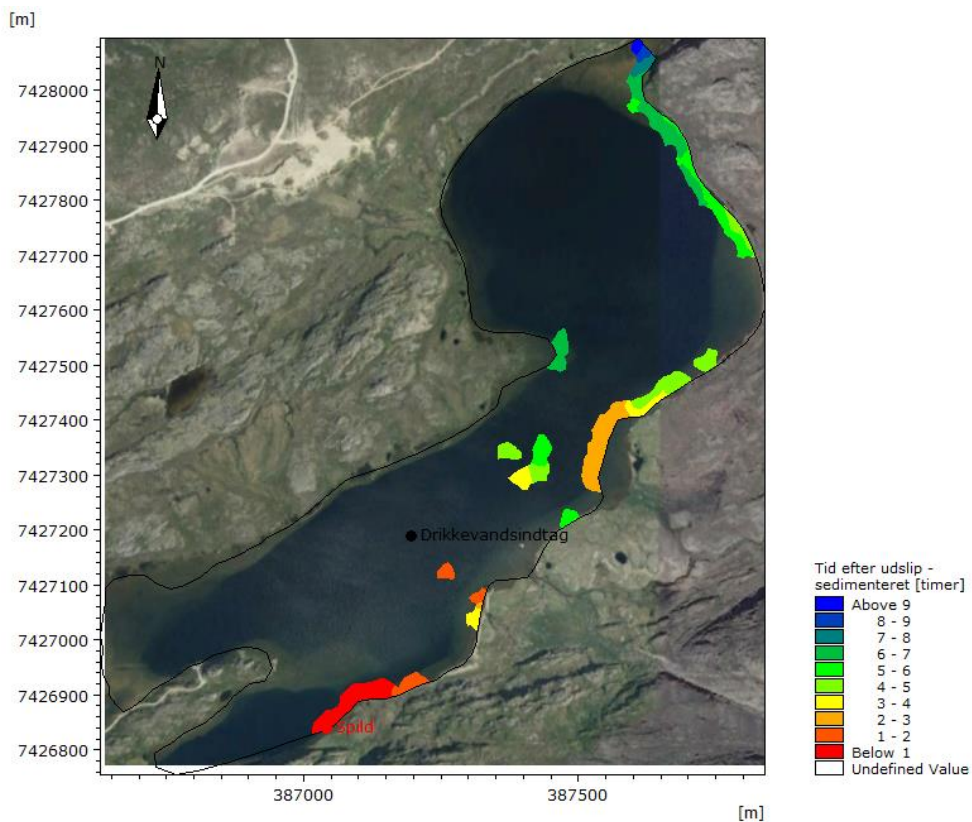
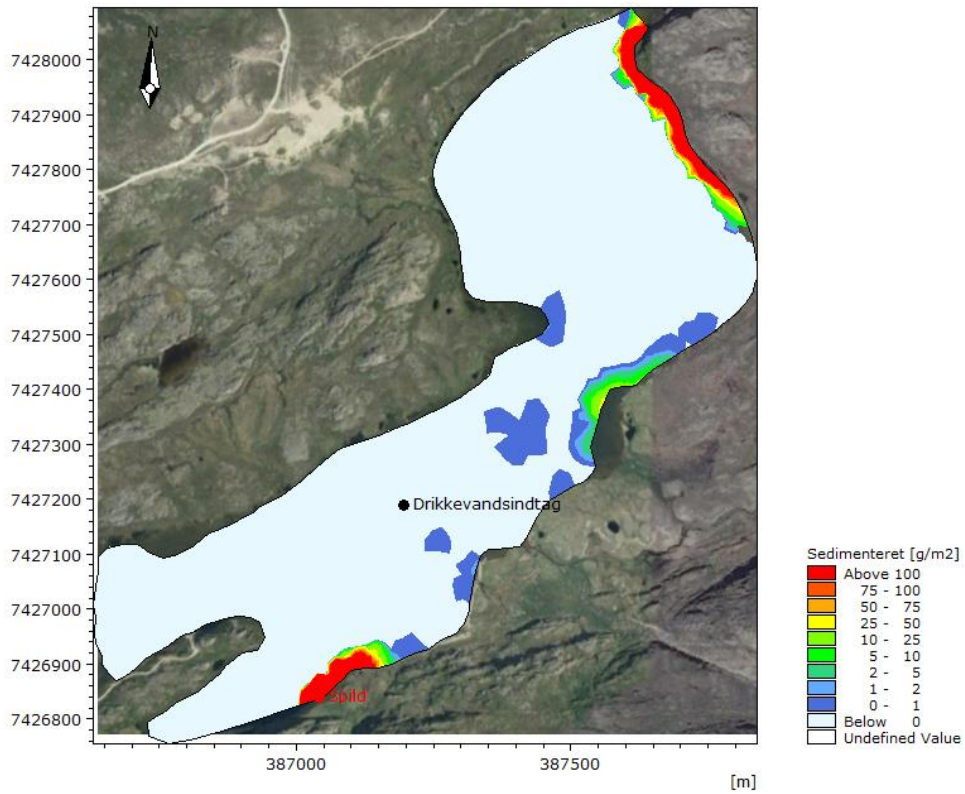


Figur 72: Spild 20 I hydraulikolie, hydrodynamisk scenarie 1 vind fra SSV. Aflejret dieselolie (øverst) samt transporttid før dieselolie aflejres (nederst). Baggrund fra Google Earth Image © 2020 Maxar Technologies, Asiaq, Terra Metrics

Spild af 12400 l dieselolie, hydrodynamisk scenarie 1 vind fra SSV

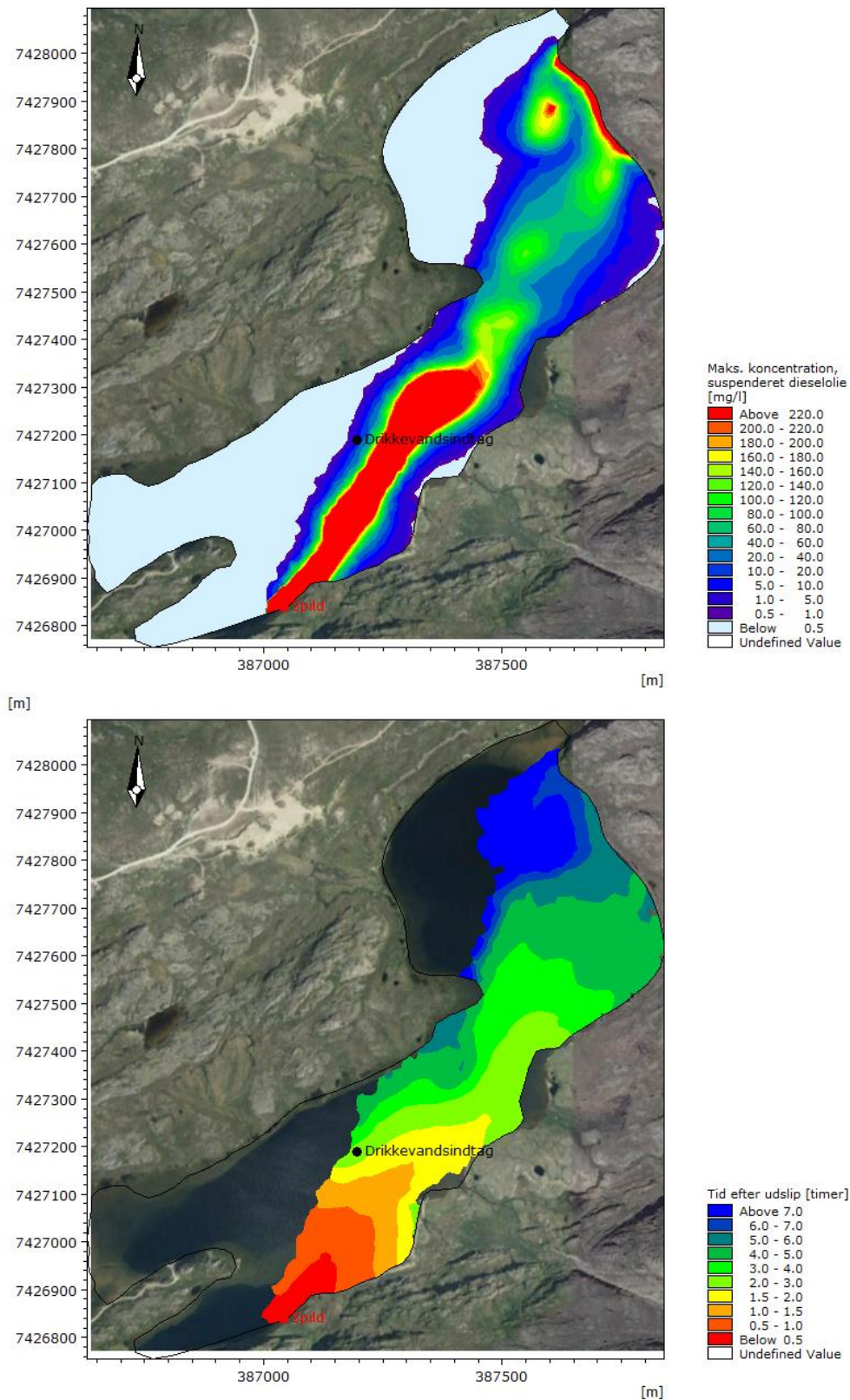


Figur 73: Spild 12400 l dieselolie, hydrodynamisk scenarie 1 vind fra SSV. Maksimale koncentrationer og udbredelse (øverst) og transporttid for dieselolie i suspension (nederst). Baggrund fra Google Earth Image © 2020 Maxar Technologies, Asiaq, Terra Metrics

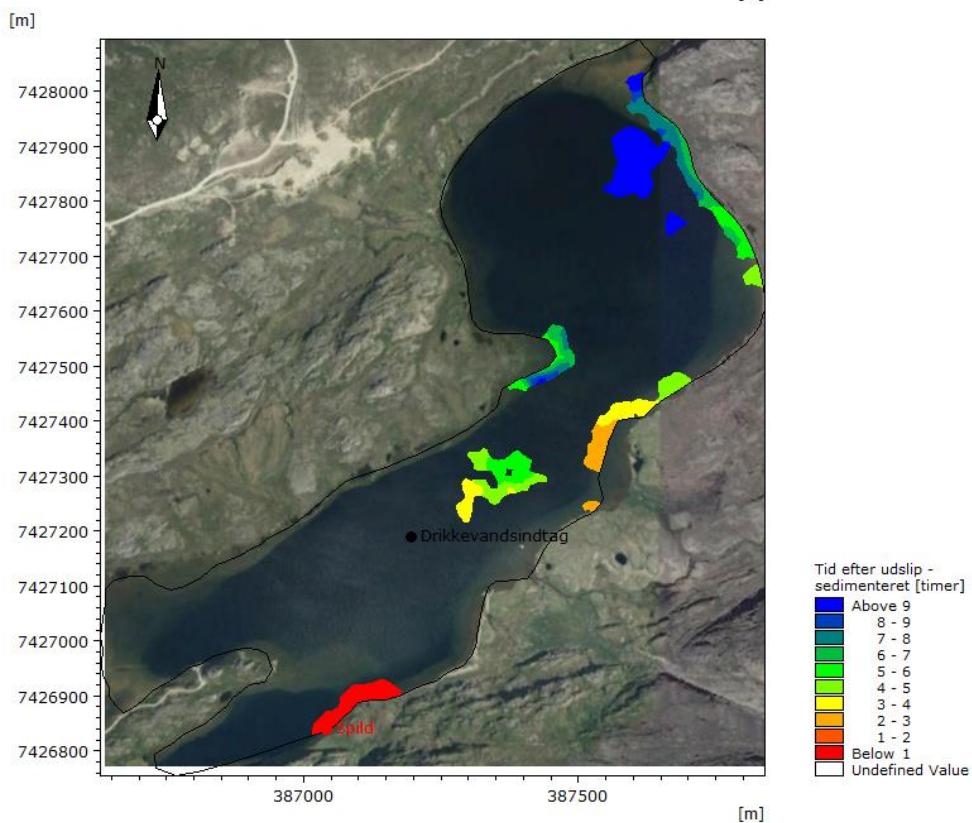
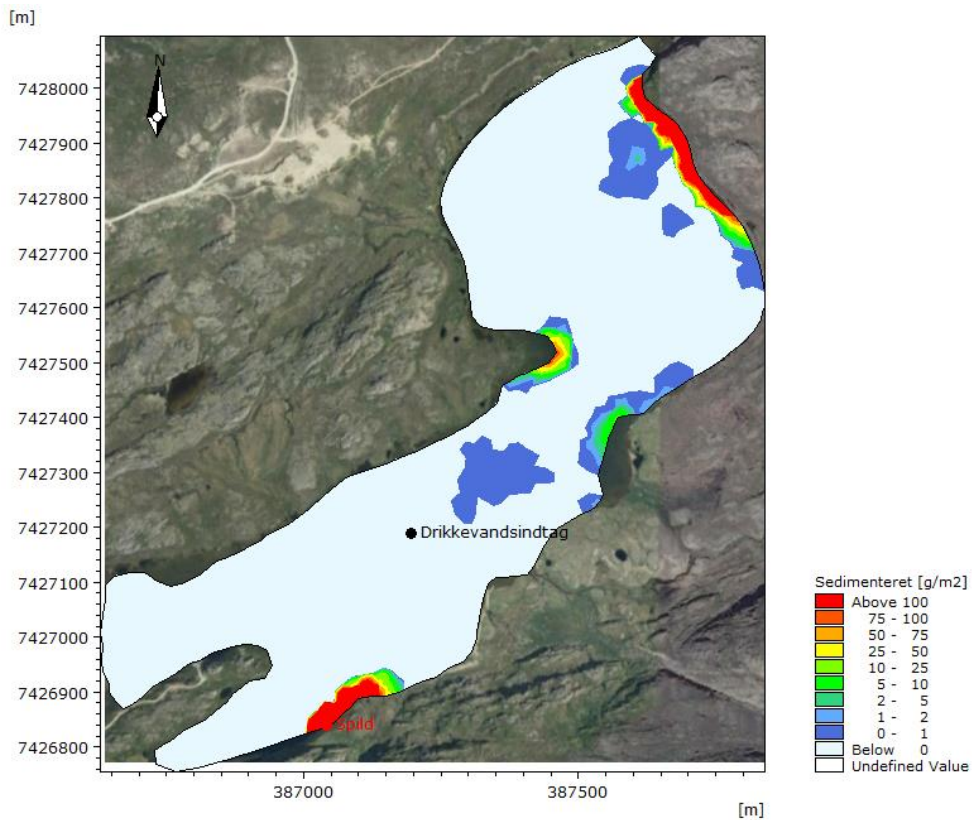


Figur 74: Spild 12400 l dieselolie, hydrodynamisk scenarie 1 vind fra SSV. Aflejret dieselolie (øverst) samt transporttid før dieselolie aflejres (nederst). Baggrund fra Google Earth Image © 2020 Maxar Technologies, Asiaq, Terra Metrics

Spild af 12400 l dieselolie, hydrodynamisk scenarie 2 vind fra SSV



Figur 75: Spild 12400 l dieselolie, hydrodynamisk scenarie 2 vind fra SSV. Maksimale koncentrationer og udbredelse (øverst) og transporttid for dieselolie i suspension (nederst). Baggrund fra Google Earth Image © 2020 Maxar Technologies, Asiaq, Terra Metrics



Figur 76: Spild 12400 l dieselolie, hydrodynamisk scenarie 2 vind fra SSV. Aflejret dieselolie (øverst) samt transporttid før dieselolie aflejres (nederst). Baggrund fra Google Earth Image © 2020 Maxar Technologies.